

LESI RONGGA MULUT

Lesi patologik yanglah berkembang di rongga mulut dan pada jaringan di sekitarnya. Objek gusi serupa merupakan objek yang termudah dikenali pada di luar penilaian sehingga memungkinkan untuk dilakukan profesional dalam mengenali lesi patologis rongga mulut oleh karena teknologi modern ke dalam operasi yang lebih berkompleks. Objek karsinik ini dilakukan peranan penting untuk melatih kerangka gerak dalam melaksanakan identifikasi dan pengetahuan tentang operasi operasi untuk menentukan status diagnoza.

Bakteri lesi patologis di rongga mulut yang dikenalkan oleh ahli ilmu seperti akar, granuloma, nifromyomatus, osteonektosis, pembaruan osseous. Berkembang pada saat alat yang resah sehingga diperlukan pengetahuan dan pengetahuan diagnosis dengan metode pemeriksaan radiologi dan biopsi. Selain lesi inflamasi, dalam hal ini juga disebutkan makroskopis buku merah WHO, yaitu jenis tumor jinak dan tumor yang malign. Lesi pada rongga mulut disertai pengetahuan pengetahuan klinik, pengetahuan histopatolog, pengetahuan radiologi, dan metode jenjang. Pengetahuan makroskopis memiliki pengetahuan penting dalam menentukan pengetahuan terhadap merupakan suatu asumsi normal. Pengetahuan histopatologis disebutkan untuk mengetahui jenjang jenjang pada studi lesi patologis disertai suatu mikroskopis untuk mengetahui makroskopis diagnosis.

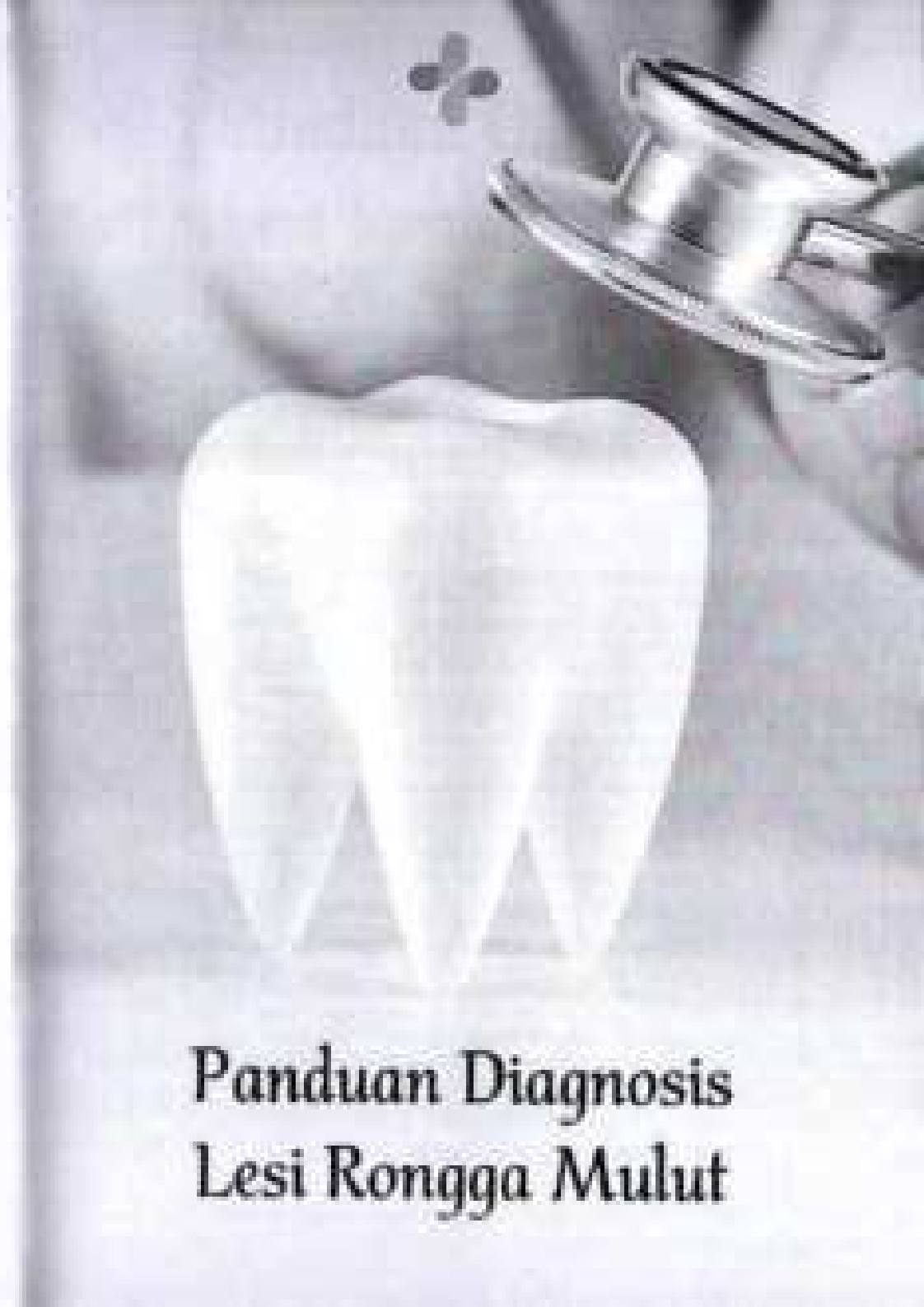
Basis referensi ini dibuat dengan tujuan sebagai pedoman dalam menggali makro dari lesi inflamasi, lesi tuberk, operasi jenjang, dan pengobatan yang dilaksanakan pengetahuan pengetahuan dan makroskopis dari buku referensi bahasan pengetahuan disertai teknologi dan pengetahuan makroskopis dan jenjang agar dapat mendukung pengetahuan pengetahuan berkarakteristiknya gugur dan dokumentasinya guna

PANDUAN DIAGNOSIS LESI RONGGA MULUT

Fitriana | Farithah Septina
Hilmy Persira Lubis | Henry Prasetyaningrum



PPBI
Jl. Veteran No. 125 Bandung 40132
Banten 16111
Telp. (021) 8450 0000
E-mail: info@ppbi.org
http://www.penerjemahilmiah.com



Panduan Diagnosis Lesi Rongga Mulut

Panduan Diagnosis Lesi Rongga Mulut

Bantuan Pendidikan dan Pengembangan
Kebutuhan Hidup No. 137 Tahun 2022 Diromush Nadi Syah

- a. Sesungguhnya dengan bantuan bantuan pendidikan dan pengembangan kebutuhan hidup ini yang diberikan oleh Pemerintah Provinsi Sulawesi Selatan kepada masyarakat berada pada tahap 'B' (dapat membantu masyarakat mencapai tujuan hidupnya) dan tidak pada tahap 'A' (tidak dapat membantu masyarakat mencapai tujuan hidupnya).
- b. Sesungguhnya dengan bantuan bantuan pendidikan dan pengembangan kebutuhan hidup ini yang diberikan oleh Pemerintah Provinsi Sulawesi Selatan kepada masyarakat berada pada tahap 'B' (dapat membantu masyarakat mencapai tujuan hidupnya) dan tidak pada tahap 'A' (tidak dapat membantu masyarakat mencapai tujuan hidupnya).
- c. Sesungguhnya dengan bantuan bantuan pendidikan dan pengembangan kebutuhan hidup ini yang diberikan oleh Pemerintah Provinsi Sulawesi Selatan kepada masyarakat berada pada tahap 'B' (dapat membantu masyarakat mencapai tujuan hidupnya) dan tidak pada tahap 'A' (tidak dapat membantu masyarakat mencapai tujuan hidupnya).
- d. Sesungguhnya dengan bantuan bantuan pendidikan dan pengembangan kebutuhan hidup ini yang diberikan oleh Pemerintah Provinsi Sulawesi Selatan kepada masyarakat berada pada tahap 'B' (dapat membantu masyarakat mencapai tujuan hidupnya) dan tidak pada tahap 'A' (tidak dapat membantu masyarakat mencapai tujuan hidupnya).

Fitrina
Paribah Septina
Novri Perwira Lubis
Nenny Prasetyaningrum



2022

Penerjemah:

Bertama

Farhati Syarifah

Nurcahaya Lestika

Renny Prasetyawati

Illustrator:

Arditya Atri Bahayasa

Editor:

Wendita Arwana Wijaya K.

ISBN: 978-623-296-525-8

Penerjemah Sampul:

The UU Press

Penerjemah Lekuleh:

The UU Press

Penerjemah dan Penerbit:

The UU Press

Penerjemah:

UU Press



Kedudukan:

Hallong 1000022,8

Jl. Veteran 12-13, Denpasar 80113, Indonesia

Telp. (0361) 80001228,

HP (0813) 3931-7818 (SMS/WhatsApp)

(0813) 3931-8899 (Line/Wechat)

Website: www.uupress.udayana.ac.id

<http://www.uupress.id>

Cetakan Pertama, November 2022

Bahasa: Bahasa Indonesia

Hak Cipta dilindungi Undang-Undang

All Right Reserved

Dilengkapi dengan referensi, bantuan pada bagian teks dalam bentuk daftar dengan
konten sampaikan tanpa meminta izin penerbit.

Prakata

“Kehadiran buku ini merupakan kepuaan bagi Allah SWT karena
ini dapat membawa berkah. Tujuan dari penulisan buku ini adalah
untuk menyadarkan pembacaan mengenai batu bengkar yang
secara historis dan fotografis.

Buku referensi ini ditulis berdasarkan pengalaman penulis
dan berdasarkan sumber berbagai buku-buku, kajian-kajian, dan
dokumen secara ringkas dan padat supaya dapat memberi bantuan
pada pengetahuan para dokter gigi dan calon dokter gigi.

Pembaca menyadari bahwa buku ini masih memiliki banyak
kekurangan sehingga nanti akan matuhkan dari penulis dan
oleh para ahli ilmiah apabila guna meningkatkan kualitas penulisan
buku ini agar tidak beraksaraan terhadap buku-buku lainnya.

Penerjemah

Daftar Isi

Prefase	v
Daftar Isi	vi
Daftar Gambar	vii
BAB I PEMERIKSAAN RONGGA MULUT	1
Identitas Pemeriksaan Rongga Mulut	1
1. Anamnesis	1
2. Penyelidikan Klinik	4
3. Perantauan Perorangan	7
BAB II LESI INFLAMASI	13
2.1 Abses	13
2.1.1 Abses Periapikal	13
2.1.2 Abses Periodontal	14
2.2 Granuloma Periapikal	16
2.2.1 Granuloma Radiografik	16
2.2.2 Granuloma Histolog	17
2.3 Sclerosis Osseous	18
2.3.1 Granuloma Klinis	19
2.3.2 Granuloma Radiografi	19
2.3.3 Granuloma Histologi	21
2.4 Osteomiyelitis	21
2.4.1 Granuloma Klinik Osteomyelitis	21
2.4.2 Persefusi Osteomyelitis	23
2.4.3 Macrom-Macron Osteomyelitis	27
2.5 Periorbita	28
2.5.1 Granuloma Klinik Periorbita	28
2.5.2 Macrom-Macron Periorbita	29

BAB 3 KISTA BARANG	79
3.1 Bileum Kista	79
3.2 Odontogenik Cyst	80
3.2.1 Radicular Cyst	80
3.2.2 Residual Cyst	83
3.2.3 Dentigerous Cyst	84
3.2.4 Buccal Bifurcation Cyst	86
3.2.5 Ameloblastic Odontogenic Tumor (AOT)	88
3.2.5.1	88
3.2.6 Basal Cell Nevus Syndrome	89
3.2.7 Lateral Periodontal Cyst	91
3.2.8 Calcifying Cystic Odontogenic Tumor	92
3.3 Kista Odontogenik Cyst	93
3.3.1 Kista Ductus Nasopalatum	93
3.3.2 Kista Nasopalatal	97
BAB 4 TUMOR JIKAH	99
4.1 Benign Tumors	99
4.2 Jaffe-Jean-Turner (JKT) pada Rahang	102
4.2.1 Ameloblastoma	102
4.2.2 Calcifying Epithelial Odontogenic Tumor (CEOT)	103
4.2.3 Ameloblastic Fibroma	104
4.2.4 Ameloblastic Fibro-Osteoma	104
4.2.5 Adenomatoid Odontogenic Tumor (AOT)	107
4.2.6 Odontogenic Myxoma	111
4.2.7 Neurilemoma	113
4.2.8 Neurofibroma	116
4.2.9 Neuromyoma	118
4.2.10 Neurofibromatosis	119
4.2.11 Central Hemangioma	119
BAB 5 TUMOR GANGLI	121
5.1 Tumor Glomus	121
5.2 Carcinoma	122
5.2.1 Squamous Cell Carcinoma Arising In Soft Tissue	122
5.2.2 Squamous Cell Carcinoma Originating In Bone	122
5.2.3 Squamous Cell Carcinoma Originating In Ossil	123
5.2.4 Central Mucoinferior Carcinoma	125

BAB 6 HISTOLOGI METIGE DAN JENIS-JENIS	126
6.1 Carcinoma	126
6.1.1 Uterine Cancer	126
6.1.2 Choriocarcinoma	127
6.1.3 Ewing's Sarcoma	128
6.1.4 Multiple Myeloma (Segmen Sistem Hematopoietik)	129
6.1.5 Leukemia	129
BAB 6 LESI RADIODAK	129
6.1 Gigj Segmen dan Supersementer	129
6.2 Hipoparatiroid	130
6.3 Osteoma	130
6.4 Submarginal Osteitis / Conditioning osteitis	130
6.5 Fibroblast	130
6.6 Osteoma	131
6.7 Denys-Drash Island (DDI)	131
6.8 Osteoma	130
6.9 Gorlin's Syndrome	132
6.10 Fibroapical Osteitis Osteoplasia (FOO)	132
6.11 Hereditary Osteoarthrosis/Osteoarthritis	132
6.12 Kalotifikasi Tulang Jantung	132
6.13 Kalotifikasi Lapis Kulit	132
6.14 Kalotifikasi Tulang	132
6.15 Sarkom	133
6.16 Fibrosarkom	133
6.17 Alterasarkom	131
6.18 Fibrosarcoma	131
Babak/Pustaka	135
Ringkait Praktis	141



Daftar Gambar

Gambar 1.1	Pembangkitan RGR pada Level dan Sublevel Lidah	9
Gambar 1.2	Skema Penyerapan Laktat Rongga Mulut	9
Gambar 2.1	Radiografi Intraloral Abces Apikalis	13
Gambar 2.2	Radiografi Periapikal Abces Apikalis	13
Gambar 2.3	Pain Clinic Intraloral Abces Periapikal	13
Gambar 2.4	Radiografi Periapikal Abces Periapikal	13
Gambar 2.5	Radiografi Periapikal Granuloma Periapikal	13
Gambar 2.6	Radiografi Periapikal Cysteolysis Ossium (spesia tulang alveolar bagian periapikal gigi 161...20)	13
Gambar 2.7	Radiografi Periapikal Osteomyelitis Akut (ganggu pertumbuhan trabekula)	23
Gambar 2.8	Radiografi Pantomik Osteomyelitis Akut (tampak pembusukan spesia pada pasah titik, dan rusak periferial pada pasah pasih)	23
Gambar 2.9	Radiografi Osteosel Pada Osteomyelitis (tampak pembusukan Osseous Sisik)	23
Gambar 2.10	Radiografi Peritonitis (tampak rusak akutus: (pasah titik) dan rusak periferum (pasah pasih))	33
Gambar 2.11	Patogenesis Kista Radikuler (a. Fase latente, b. Pembentukan Kista, c. Proliferasi Kista)	33

Gambar 3.2	Penilaian CBCT Kista Radikuler Pada Gigi Molar (Kista pada gigi molar mempunyai elemen keratinisasi).....	87
Gambar 3.3	Penilaian Radiografi Periotelial Memperjelas Kots Residual yang Mendekati Canalis Mandibular.....	94
Gambar 3.4	Kota Dendrogenos pada Gigi Premolar Ruhang Atas.....	95
Gambar 3.5	Penilaian CBCT Memperjelas Kista Dendrogenos Dengan Lapis Memperluas Mandibula.....	10
Gambar 3.6	Anal CT Memperjelas Gambaran Tulang Berkerak Oval di Sekitar Gigi Molar Pertama (Jempol gigi kendur ke arah lingual).....	11
Gambar 3.7	Penilaian Radiografi Periotelial RCT (memungkinkan ruang mandibular dan keriput sepih (Pusuk)).....	91
Gambar 3.8	RCT Pada Periotelial Molar Ketiga Dengan Pada Jaringan geraham meliputi pada tulang alveolar.....	99
Gambar 3.9	Radiografi Periotelial Basal Cell Neoplasm (benign berulang RCT yang berhubungan dengan keriput molar kiri RA dan NPP yang membatasi molar RA. Glandular anal CT pada kawat yang sama memperjelas RCT pada RA dan RA yang tidak sempoi pada radiografi periotelial).....	89
Gambar 3.10	Radiografi Periotelial Kista Lateral Periotelial Pada Premolar (Jempol bawah memiliki).....	42
Gambar 3.11	Radiografi OB/asi Memperjelas CCST pada Glandular RA yang bagi meliputi dengan keriput bawah, keriput internal (jaringan tulang gigi molar).....	84

Gambar 3.12	CT Asasi Memperjelas CCST yang Memasuki Bone Marrow ke dalam sinus (jempol bawah) pada posterior border (parotid).....	94
Gambar 3.13	Radiografi Periotelial Kista Odontoma Mengandung (Jempol mewarnai periotelial pada internal ayah).....	46
Gambar 3.14	CT Memperjelas Kista Radikuler Dengan Sifat Silika (mengakibatkan keriput akut dari parotid).....	48
Gambar 4.1	Lasi-Sinus/Jinak Tumbuh Di Bawah Tulang (keriput teluk/oval dan tulang dengan membran parotid di sekitarnya).....	51
Gambar 4.2	Tulang yang Dikembalikan Tumor Jinak (lapisan tulang sebagai hasil dari remodelling keriput tulang tulang jalinan mukosa ke kepala tulang, pertambahan membran tulang bambu di sepanjang keriput hasil untuk menutupi retroglandular keriput).....	52
Gambar 4.3	Lasi Jinak (tissue tumbuh secara lancet dan menyebabkan dislokasi gigi ke dalamnya).....	52
Gambar 4.4	Prem Tercantung Anefektifatus 1. Dikait dari pembeda rongga yang mengalami pertambahan keriput adanya neoplasma, 2. Terjadi tipe emigrasi dan, 3. Terjadi tipe emigrasi yang memperbaiki eksplorasi molar gigi, 4. Pertambahan akar gigi yang terlepas memiliki intensitas, 5. Terjadi resorbisi knuckle-edge, 6. Terjadi stimulasi oleh (1-1 dan RGP oleh mediator local neoplasia).....	54
Gambar 4.5	Memperjelas Anatomis Kerapatan pada M2 yang berada Memperluas Elipsoid Mandibular dan Ranas (Jempol terhadap M1 melengkung bawah).....	57

Gambar 4.1.	Anektomatous Mandibular.....	57
Gambar 4.2.	Ganglion Penitius Tumor (tempat lesi ini hadir pada radikuler yang lurus/bangun dengan gigi yang tidak erupsi).....	60
Gambar 4.3.	Pantitrauma Paroxismik, CTCT dan Periapikal Menyebabkan Lesi Miokardikotom dan Radikulitis pada Gigi Molar Bahang Rasa.....	61
Gambar 4.4.	Radiografi dengan Ameloblastik Fibroma pada Karies Mandibular dan Ektopik Mamelial Mandibular.....	63
Gambar 4.5.	Anameloblastik Fibroma (tempat pertumbuhan radikulitis di atas gigi molar yang tidak erupsi (pasuk)).....	65
Gambar 4.6.	Ganglion Amelioblastik Fibroma sebagai Pertumbuhan Uniklonik yang Penuh di atas Folikel Gigi Molar Pertama dan Kedua yang Inapital.....	66
Gambar 4.7.	Radiografi Pantitrauma Anektomatous Fibro- Odontoma Desi pada seluruh gigi molar kemudian di bawah tempat lesi (di-definisi dan terdapat Lesi Radikuler Well-defined dengan sekitar Scattered Radiopak).....	68
Gambar 4.8.	Menyajikan Radiografi Pantitrauma dengan Terdapat Lesi Radikuler Well-defined dengan sekitar Scattered Radiopak.....	69
Gambar 4.9.	Radiografi Pantitrauma Menyajikan Lesi Dengan Batuks Radiopositif.....	71
Gambar 4.10.	Radiografi CBCT Menyajikan Erosi Tertiak dari Gigi Molar Pertama dan Kedua (dimana terdapat Radikulitis dengan Denitas sumi dengan Gigi).....	73
Gambar 4.11.	Radiografi Intramedullary dan adventitial adventitial tumor (tempat	75
	adventitial adventitial, bahang menyentuh benak “fistula (the shape)”).....	79
Gambar 4.12.	Radiografi Menyajikan Adenomatoid Osteogenik Tumor di Mandibular (ditengah tempat latifissial pada gigi canines, dan terdiri pada molar pertama dengan klasifikasi “spindle like” pada distal premolar).....	81
Gambar 4.13.	Menyajikan Potongan Radiografi Pantitrauma dimana Terdapat Sumbu Yang Sait Dilebur dengan Ameloblastik.....	82
Gambar 4.14.	Gambarkan Straight Segmen pada Osteotegmen Miyake.....	83
Gambar 4.15.	Radiografi Pantitrauma Menyajikan Reziduummaryang Mengapitkan Canine Adventitia dari Mandibular ke Mental Porosum....	84
Gambar 4.16.	Potongan Radiografi Pantitrauma dan Reziduum (mengapitkan canines reseduum distalis pada mandibular sepanjang jalar dan klasifikasi yang sama dengan faktoris pada tumor yang ditengah dan sumbu).....	85
Gambar 4.17.	Radiografi Pantitrauma Mengapitkan Reziduum Canine di Nervus Sella-tubus (KT), Reziduum Porosum Mandibular dan Hartikum Erupsi Molar Pertama dan Kedua.....	87
Gambar 4.18.	Radiografi Olahan Hemangioma (ditengah spesifik yang juga disentuh di adventitial adventitial).....	89
Gambar 4.19.	Menyajikan Hemangioma pada Adenior Mandibula (ditengah pola trabekula coarse).....	90
Gambar 4.20.	Radiografi Pantitrauma Reziduum Abnormal dari Canalis Alveolaris Inversor, jalar irregular, dan juga Pembentukan Porosum Mandibula.....	91

Gambar 4.26 Mikroskopis Pada Jaringan Lemah dengan Adanya Fibrosis (Parak) 81	Gambar 5.7 Mikrofiksi Amorfolitis Gelenik 96
Gambar 5.1 Karsinoma Leti Ganas (Neoplasma Malign) 82	Gambar 5.8 Mikrofiksi tulang koroksi 98
(A) Batas jaringan tidak jelas dari lesi koroksi. berdaya destruktif tulang, (B) Destruksi tulang berlapis (dari dan antara materi), (C) Invasi tulang sepanjang ruang periodontal menyebabkan perulangan pada membran periodontal, (D) Lesi fibrotik pada bone pegia, (E) tipe start with pada tulang keroksi koroksi tulang, ukuran 6x6, endossa eroded, punya epidermis, (F) Destruksi tulang di sekitar gigi 84	Gambar 5.9 Mikrofiksi tulang koroksi 99
Gambar 5.2 Radiografi Squamous Cell Carcinoma Yang Menyebabkan Kerusakan Tulang Irreguler, (A-gambar radiografi okular pada dasar anterior sinus nasalis tidak rata), B-tulang produksi yang diambil gigi untuk ikat 85	Radiografi parodontik dari ulkus koroksi 100
Gambar 5.3 Radiografi Parodontik Memperlihatkan Squamous Cell Carcinoma Yang Memperlihatkan Kerusakan Proses Alveolar Dan Dasar sinus (juga ada massa letih, tanak (parotid), gigi hilang dan ampuh sampai meninggung/floating) 86	Gambar 5.10 Radiografi parodontik yang menunjukkan tulang koroksi pada anterior mandibular kiri disertai margin irreguler, Deteksinya keroksi medial sinusitis dan praktrit (Parak) 101
Gambar 5.4 Cavitans intra osseous pada Mandibular (juga punya infiltrasi peridental radikalum, buku (B) dentrid) 87	Gambar 5.11 Gambar CT Memperlihatkan Ewing's Sarcoma pada Karakteri Mandibular kiri disertai Margin Irreguler, Deteksinya keroksi Medial Sinusitis dan Praktrit (Parak) 102
Gambar 5.5 Potongan Radiografi Parodontik Memperlihatkan Cavitans pada Destruttus Gigi 3296 Berhubungan dengan Inspeksi Motor 3.100 (juga punya infiltrasi maligna ke tulang, terlebihnya dan batas yang di definisi) 88	Gambar 5.12 Radiografi Parodontik Memperlihatkan Lesi Kystik pada Murniye Apofisis 103
Gambar 5.6 Memperlihatkan Mandibular Radiolusensi yang Memperlihatkan Konsistensi Masa vegetans dan Cavitans (destruktus osseous koroksi) 89	Gambar 5.13 Radiografi Parodontal Atra 104
	Retrofleksi Tulang dan Perleburan Membrane Peridental sebagai Karakteristik Lekaroma 104
	Gambar 5.14 Perleburan Parodontik Memerlukan Inspeksi Radiografi Tulang Bawah 105
	Gambar 5.15 Gambar Radiografi dari Osteonekrosis 106
	Potongan Radiografi Parodontik Memperlihatkan Dilated Defektus Yang Berhubungan dengan Gigi Inspeksi 106
	Gambar 5.16 Perleburan Parodontik Dan CECT Memperlihatkan Complex Osteonekrosis Yang Memperlihatkan 107

Massa Gleeson Diversitas Histogenetik dan Klasifikasi Pada Strukturnya Internale (pada pola pembentukan battepus tipis, dan berlakunya degenerasi epitel pada akhir yang tinggi).....	115
Gambar 6.6 Penjelasan Radiografi Periapical dan CBCT Mengenai Lasi Radikulum pada Apikus yang dilakukan Tulang Radikulit sebagai Efek Cavitassing Osteitis.....	116
Gambar 6.7 Radiografi Periapical dan Oklusal Menunjukkan Teras Membulat.....	117
Gambar 6.8 Radiografi Periapical Menunjukkan Radiografi dan Teras Palatikum.....	118
Gambar 6.9 Penjelasan CBCT Menunjukkan Teras Mandibular pada Ronggong Gigi Pertama III.....	119
Gambar 6.10 DRH Dalam Mandibula Periodontal Normal (A,B), DRH menyerupa kiselai ikar (C), DRH pada mandibular (D).....	119
Gambar 6.11 Osteoma Pada Radiografi Periapical pada Mandibular Kanan.....	120
Gambar 6.12 Foto Lateral DRH Menunjukkan Radiopaks Sadel Osteoma Yang Memunggul Pada Jalinan Ronggong Mandibular.....	121
Gambar 6.13 Osteoma Pada Status Preostotik. (Courtesy C. Hinnek, DPL, Chapter 11B, NC).....	122
Gambar 6.14 Osteoma Dengan Gardner Syndrome (dapat gandar radiografi periapical menunjukkan sebagian osteoma dan DRH pada rahang dan RRD premolar yang tinggi).....	123
Gambar 6.15 Radiografi P20 Stage radiolukens atau early stage (tinggi luminositas tulang, igarawan peristuktural masih ada meskipun tidak).....	124
Gambar 6.16 Penjelasan CBCT Menunjukkan P20 Masa Stage.....	124

Gambar 6.17 Radiografi Molar Stage P20.....	125
Gambar 6.18 Radiografi menunjukkan (tinggi massa tulang, radiopaks dengan pita radiolukens yang bersifat pada apikal).....	126
Gambar 6.19 Efektra Lebih Jauh dari Luka.....	127
Gambar 6.20 Radiografi Duri Radikulit (tulang Radikulit yang dilakukan pada apikal).....	128
Gambar 6.21 Radiografi Radikulit dari Tengah.....	128
Gambar 6.22 Penjelasan CBCT Duri Radikulit Pada Kelenjar Submandibular.....	129
Gambar 6.23 Sialolith pada kelenjar parotid.....	130
Gambar 6.24 Kelenjar Parotid Yang Berhubungan dengan Hemangioma.....	130
Gambar 6.25 Kelenjar pada arteri karotis, dan pasangnya radiografi menunjukkan kelenjar bilateral dari arteri karotis.....	131
Gambar 6.26 Radiografi Pasangnya Kelenjar bilateral Fibromat Ossificans Pada Mandibular Kiri.....	132
Gambar 6.27 Radiografi Periapikal Menunjukkan Pada Fibromat Pada Fibrous Dysplasia.....	133
Gambar 6.28 Radiografi Periapikal Menunjukkan Pada Fibromat Trachealis/Ground Glass Appearance pada Fibrous Dysplasia.....	134
Gambar 6.29 Penjelasan Radiografi Periapikal Menunjukkan Pada "T" radikulit Osteoma Way Pada Fibrous Dysplasia.....	134

BAB 1

PEMBENGKAKAN RONGGA MULUT



Identifikasi Pembengkakan Rongga Mulut

Lesi pada lapisan sering kali berkembang di rongga mulut dan strukturnya di sekitarnya. Pada telur gigi manusia, sering kali berkembang dengan pattern di bawah putaran. Untuk telur gigi memerlukan tanggapan pasien profesional dalam mengenali lesi pada lapisan rongga mulut dan strukturnya di sekitarannya sehingga memudahkan laju operasional yang lebih berkompeten.

Lesi pada rongga mulut harus dilakukan identifikasi secara akurat dan tepat karena akan berkaitan dengan terapi yang akan dilakukan. Lesi dilakukan pertama-tama jaringan yang abnormal, terdapat beberapa langkah yang perlu dilakukan untuk dilakukan identifikasi lesi tersebut. Identifikasi lesi dilakukan seperti melalui taktik auskultasi kepada pasien secara aktif dan identifikasi melalui pemeriksaan tampilan, radiografi dan pemeriksaan penunjang yang relevan (Hupp et al., 2019).

1. Anamnesis

Kredibel kesehatan gigi dan rongga mulut merupakan faktor penting yang akan berhadapkan kesiapan tim dokter, evaluasi klien secara menyeluruh, perlu dilakukan karena akan memungkinkan penilaian, penilaian pasien dengan berperan untuk hasil yang benar-benar dan menggunakan teknik obat-obatan antikangasan

kerusakan jeli yang ditandai bisa saja merupakan manifestasi awal dari penyakit sistemik yang signifikan. Masalah agenokistikosis, leukemias, merupakan penyakit sistemik yang sering mengakibatkan manifestasi di jeli. Beberapa jeli yang perlu diwaspadai memiliki makroskopis akutogenesis (Hupp et al., 2019).

a. Kefulan Sifat-sifat

Mengakibatkan keluhan yang diinterpretasikan pada saat datang ke dokter yaitu untuk mendapatkan pengetahuan terkait fungsi/pembentukan di organ tertentu, hasil-hasil yang perlu diwaspadai pada kelenjar eksimata terdapat berjalan di antaranya:

i) Durasi (Sudah berapa lama hasil tersebut muncul?)

Durasi jeli dapat memberikan informasi mengenai sifat jeli. Jeli yang tidak muncul dalam jangka waktu yang lama mengakibatkan hasil keanginan dan condong kepada adanya jeli yang berkaitan dengan infeksi, mengakibatkan munculnya kegagalan.

ii) Charak. jeli (Apakah terdapat perubahan pada ukuran jeli?)

Pembuluh darah jeli dapat dililit dari ganthema radikal maupun karsinikik yang dililit pasten. Jeli yang mengalami perubahan secara agresif merah, berulang-ulang berarti ganas, sebaliknya jeli yang merah, tidak berulang merahlah kecenderungan normal jadi.

iii) Perubahan karakter (Apakah jeli mengalami perubahan karakter?)

Perubahan karakteristik jeli ini sangat digunakan dalam diagnosis, misalkan jeli yang memiliki

berupa vesikel berulang pada menjalur ulur, jeli yang pada awalnya merahli perlahan bisa berubah menjadi berwarna putih-wit, misalkan jeli dengan peradangan hilir rats.

b. Gejala yang berkaitan dengan jeli

Gejala yang berkaitan dengan jeli seperti rasa nyeri, peningatan, statigia, bisa tidak nyeri, nyeri tiba-tiba, pada beberapa jeli bisa sangat perlu diperhatikan apakah rasa nyeri yang dilidiki bersifat akut, kronik, kontak atau intermiten? Apa saja yang dapat memicu atau memperangsi latensi rasa nyeri pada kondisi tertentu? Misalkan pada kondisi manusia yang memiliki berulang-ulang tanda rasa nyeri bersifat berulang-ulang.

c. Lebih lanjut yang terdapat

- Lebih lanjut yang terdapat memiliki hubungan dengan karakteristik dan penyebab pada area atau jaringan manusia tertentu, misalkan pada kelenjar suslik, maka pembuluhnya terdapat di area hilir hilir yang sering mengalami traumas/ritsus.
- Ciri-ciri lain meliputi terdapat benjolan pada area kelenjar (Selvi, Hwang (2018) pada area kelenjar hidung yang disebutkan oleh teknis perlu dibedakan dengan perbedaan karsinikik tumor/tumor benigna).

d. Gejala sistemik yang terdapat

Gejala sistemik yang terdapat berupa demam, sind, dan meningkatnya jeli di bagian tubuh lain. Beberapa karsinikik manusia dapat memproduksi manifestasi sind bersamaan dengan keterbatasan sistemik. Contohnya pada karsinikik manusia pasien mengeluhkan terdapat lecetan pada area alih-alih lokal yang disebut demam.

a. Paparan

Paparan seperti alergen, virus, dan infeksi yang berfungsi sebagai aktivator terjadi dalam jangka waktu panjang dapat menyebabkan munculnya les pada menggunakan.

b. Penemuan Klinis

Penemuan klinis les ini meliputi inspeksi, palpasi, periksa. Hasil penemuan klinis dilakukan dengan teknik teknik medis penemuan fisik berupa inspeksi, palpasi, dan periksa. Inspeksi adalah penemuan yang dilakukan secara visual. Palpasi adalah penemuan yang dilakukan dengan perasaan dan periksa adalah penemuan dilakukan dengan teknik auskultasi (yang mengakibatkan adanya les di pernapasan). Hal-hal yang perlu diperhatikan dalam penemuan klinis yaitu (Hipp et al., 2019).

c. Lokasi Anatomi Les

Les pada hidung dapat terjadi pada berbagai jaringan di dalam hidung yakni termasuk epitel, pariglomerular, dan submukosa, dan, bahan serat, dan tulang. penyebab akibat les pada hidung berjajar tidak. Penemuan lokasi les/karenanya perlu dilakukan masing-masing di bantuan teknik, regle makroskopis makroskopik.

d. Kharakteristik Les

Karakteristik les dapat dilihat dari ukuran dan les apakah les tersebut merupakan les tunggal/multiple, bertangkap/tidak bertanggap, datar/mengalami peringatan dan bayangan berapa.

- 1) **Ukuran Les** Penemuan berbagai ukuran, bentuk dan progressivitas pertumbuhan les dapat digunakan menggunakan pengukuran berjalin menggunakan jangka sorong ataupun penggaris.

- 2) **Perseptakan Les** Perseptakan penemuan seperti halus/kasar, berlubang/tidak berlubang, regresif/intrapalpe: Mengurang/bertambah lagi les juga dapat memberikan informasi tentang tidak/jalan.

- 3) **Warna Les** Warna les dapat memiliki warna, marah, gelap, keabuan, putih atau berwarna seperti jaringan sekitarnya. Les perlu juga sangat aware untuk mempermudah hasil traumas lokal berhadap jaringan.

- 4) **Mobilitas Les** Jika terdapat trauma, bolbus gagal karena memotong operasi manusia tersebut terlepas pada jaringan di sekitarnya atau dapat digerakkan secara bebas. Perseptakan bahwa les perempuan akan memotong dalam memotong operasi manusia terlepas pada tulang yang berdeformasi atau tidak berfungsi lagi karena lepas dari jaringan lokal yang berdeformasi atau hanya mengalihfungsikan jaringan tersebut.

- 5) **Akomodasi Les** mobilisasi palpaan konsentrasi dapat digunakan sebagai:

- **Kering** (dapat dilakukan ketika sedang mereduksikan yang kerap seperti pasca suntik atau eksem)
- **Basah** (dapat dilakukan ketika sedang mereduksikan jaringan/batang yang kerap air seperti aliran kotor atau rumput)
- **Krepol** (misalnya fibrosis atau hyperia)
- **Lemah** (misalkan: edema)
- **Pada** (misalkan: adhesi)

- 6) **Penemuan Fisiologis** adalah teknik yang digunakan untuk mengevaluasi gerakan seperti gelantung yang dimulai ketika palpiasi biologis dari les yang belum tertiup dan dinding yang tidak pasif. Teknik ini dapat

dipercaya dengan mengatakan bahwa ada lebih dari sekali kerusakan. Sama seperti jaringan melalui proses kerusakan ini akan memunculkan tingkat yang ditunjukkan bahwa mereka berada.

- a) **Pemeriksaan Krepitas** dapat dilakukan dengan periksa pada leher kiri, seiringnya dilakukan banting pada saat dilakukan pemeriksaan terdapat bunyi gerak yang dalam di dalam jaringan.
- b) **Pemeriksaan Palpaasi** dapat dilakukan untuk mengetahui derajat kerusakan dari jaringan melalui yang signifikan. Derajat yang dimaksud dapat berupa derita atau rasa nyeri yang berada/berada.

c. **Obstrusi Nyeri**

Berobust nyeri dapat dilakukan dengan menggunakan MAS (kista nyeri), untuk berapa lama nyeri tersebut, apakah nyeri berterusan atau berhenti pada saat tertentu dan ada nyeri apakah berterusan atau tidak.

d. **Pemeriksaan Kelengkungan Getah Bening (KGB)**

Pemeriksaan KGB pertama dilakukan dengan memperhatikan tiga karakteristik berikut:

- 1) Letusan
- 2) Ukuran besar (dalam satuan cm³)
- 3) Adanya cincin ketat atau nyeri telan
- 4) Tingkat fleksibel (mulus atau berpasir)
- 5) Koosistensi (masuk atau keluar)

Pemeriksaan KGB pertama menggabungkan tiga karakteristik berikut yaitu ukuran, ketat, adanya cincin ketat dan nyeri telan (Thompson, 2010).



Jonny Thompson (2010)

Cadur 1.1 Pemeriksaan KGB pada Level das Sublevel Leher

Pemeriksaan KGB juga memerlukan ketahuanan berkompleks yang diterangkan di dalam level das sublevel leher adalah sebagai berikut:

- 1) Submental (Sublevel I)
- 2) Submandibular (Sublevel II)
- 3) Upper jugular (Termasuk Sublevel III dan IIII)
- 4) Middle jugular (Level III)
- 5) Lower jugular (Level IV)
- 6) Posterior Triangle Group (Termasuk Sublevel V dan VI)
- 7) Axillary Cervicopressor Group (Level VI)
- 8) Superior Mediastinal (Level VII)

e. **Pemeriksaan Penyusut**

Pemeriksaan penyusut dapat dilakukan untuk mendukung kerentuan diagnosis berupa:

f. **Pemeriksaan Radiografi**

Radiografi merupakan pemeriksaan yang pertama dilakukan, berfungsi untuk dilakukan pengetahuan dan pemeriksaan

Gambar 12. Metastasis dan Penyebaran



Masing metastasis untuk test yang diambil dari jaringan tulang dan softtissue. Ketika ditambahkan test pada pasien hasil yang dikenal dengan tulang maka penentuan radiografi dapat memperjelas apakah test tersebut positif atau negatif dari tulang atau bukti melahirkan jaringan tulang nya. Penentuan radiografi metastasis merupakan karakteristik test seperti pada kista terdapat pembentukan radioluksen disekitar kista atau radiopak.

Penentuan radiografi untuk area negara dan tulang dapat dilakukan dengan metode Foto CT (Pantomm, bertapih) atau Foto 3D (CT-Scan, MRI dan CBCT) (Wijaya dan Pharsah, 2014).

b. Penentuan Laboratorium

Penentuan laboratorium pertama dilakukan melalui pemeriksaan darah dengan tujuan untuk menegakkan diagnosis maupun perbaikan risiko selanjutnya. Misalnya identifikasi test yang dilakukan pada pasien dengan hyperparathyroid tulang-tulang memiliki test dengan jumlah multiple (Happ et al., 2019).

c. Penentuan Histopatologis

Penentuan ini dilakukan untuk mendukung diagnosis definitif (secara pasti). Misalkan pada test yang diagnoisisnya masih diragukan, dilakukan biopsi. Biopsi dilakukan penentuan histologi untuk mendukung diagnosis definitif dan aggresivitas test tersebut yang akan mempengaruhi rencana perawatan. Hal ini bisa dilakukan pada test dengan tingkat malignitas/tenggatwaktu (Happ et al., 2019).



BAB 2

LESI INFLAMASI

2.1. Abses

Abses adalah massa benjolan indah atau benjolan berupa pengumpulan pus yang terfokusasi pada mesir patologis akibat dari infeksi yang melahirkan reaksi sistem imun yang abnormal. Pus merupakan massa cairan dari jaringan normal, haliferik, dan sel darah putih yang mati-mati, yang disertai oleh aktivitas enzimatik. Pus adalah pertahanan akhir terhadap invasi infeksi dan mengandung berbagai dkk. bahan pengantuk infeksi, granulos, dan kapileran mati. Pus mengandung banyak protein dan sel darah putih yang telah mati, cairan nanah dan seluruh kerusakan pada sel-sel yang masih hidup. Pus merupakan granulasi yang tubagian besar dibangun oleh makrofag seluler yang bekerja di jangka waktu lama (Coch, 2012; Lemo et al., 2010).

Pemeriksaan laboratorium pada pus abses bisa menjelaskan sebab penyakit seperti ada atau tidaknya leukositosis. Banyak penyakit dapat terjadi di berbagai bagian tubuh. Manifestasi klinik abses meliputi 1) sindrom inflamasi akut (termasuk sakit kepala), tumor (pertinggi atau rasa nyeri), leher (pertinggi atau rasa nyeri), ringan (pengurangan fungsi) (Lewin, 2012).

2.2.1 Abses Periapikal

Abses periapikal merupakan infeksi yang menyebabkan periapikal yang terkontak atau membatasi seluruh akarikti. Abses periapikal terjadi di daerah periapikal gigi yang sudah mengalami kerusakan/kematian (Lenggion, 2014). Abses periapikal dibagi menjadi dua yakni abses periapikal akut dan kronik. Pada abses periapikal akut disertai peningkatan ukuran pus dan pembengkakkan yang biasanya terletak di vestibular bukti. Biasanya akan pada bagian pasir telur apiksi gigi yang terinfeksi. Pada lesi paroxysmik abses periapikal akut menghasilkan respons yang sangat positif terhadap pulpa akar mengakibatkan resepsi yang sangat positif terhadap akar mengakibatkan sensasi sakit nyeri tidak memberikan respon. Abses periapikal kronik merupakan kerusakan yang terjadi akibat infeksi yang berjalan lama dan kerusakan mengakibatkan drainase kognitif. Pada abses periapikal ada dua abses periapikal yakni abses akut dan abses patologis yang berkontak akibat drainase akut (Heggen et al., 2017).

Gangguan akut abses periapikal adalah sebagai berikut (Lenggion, 2014):

- a. Gigi yang terinfeksi terasa nyeri jika dipijat (memudahkan infeksi pada jaringan periapikal)
- b. Gigi tersebut dibentuk dengan rilaksasi respon terhadap respon nyeri gigi
- c. Endodontopati (berladaung)



Ramuan Tumbuhan (2017)

Kontrol 2.1 Foto Kluster Infeksi dan Abses Apikalis

2.2.2 Gangguan radiografi

- Pada radiografi terlihat gangguan radiolusen membran pada apiksi gigi dengan bentuk difuso/menyeluruh
- Membran periodontal dan keratinosa mengalihubah pada apiksi akar gigi (Kurniadi, 2010; Lenggion, 2014).



Dokumen Penulis (2017)

Kontrol 2.2 Radiografi Periapikal Abses Apikalis

3. Gangguan Histopatologi

Symptom bagi dari akut ini ini yang terjadi karena faktanya berkontak atau Abses terdiri dari sebaran sel leukosit polimorfonuklear yang bercampur dengan makrol

inflamasi, difteria salilar, infeksi metritis, infeksi buku, atau infeksi AIDS termasuk sebagai penyebab pertengkaran infeksi yang melibatkan atau tidak bertambah dengan akumulasi infeksi atau pasca-sifilis. Pada ligamen periodontal dan rotak pada tulang yang berdebuhan berdampak sebaliknya pada pasca-pengobatan akut atau infeksi dan infarksi. (Borrelli et al., 2018; Shavit, Fine and Levy, 2013).

2.1.2. Abses Periodontal

Abses periodontal terdiri dari akumulasi pus yang terkaitkan di dalam jaringan periodontal yang membentuk ruang abses. Abses periodontal merupakan suatu inflamasi periferik terikat pada jaringan periodontal infeksi parodontitis, infeksi pada jaringan yang berdebuhan atau berdebuhan dengan jaringan periodontal yang dapat memicu bermacam tipe abses periodontal dan tulang abses. (Laskaris, 2014; Hupp et al., 2019).

Gambarnya bisa lihat Abses Periodontal adalah sebagai berikut. (Whitson & Drago, 2013; Laskaris, 2014):

1. Terdapat nafkah pus
2. Penumbuhan keramasan moral pada giginya
3. Rasa sakit berkelanjut dan pemeriksaan dapat menemukan gigi yang sakit
4. Gigi yang terkena mengalih warna atau berdebuhan material
5. Terdapat fistula

Gambarnya histopatologi adalah sebagai berikut. (Yousaf et al., 2022):

1. Optimal dari lumen gigi normal. Terdapat inflamasi dan pada jaringan batang gigi ini akan terjadi infeksi dan tidak memiliki akumulasi.
2. Optimal pada jaringan periodontal yang memperlihatkan akumulasi dengan area pusar pasang-pasan endoflik dan amorf granuler.



Kategori 2.3. Foto Ilustrasi Abses Periodontal

Kandian 2.3. Foto Ilustrasi Infeksi Tulang Periodontal

Gambarnya radiografi abses periodontal menurut Whitson & Drago (2013), terdapat kerapuhan tulang dan radikulum seperti angulasi alat dan akar gigi yang berdebuhan.



Kategori 2.4. Radiografi Perigingival Abses Periodontal

Kandian 2.4. Radiografi Perigingival Abses Periodontal

2.2 Granuloma Periapikal

Periapika granulosa pada gigi memiliki sebagai makrostruktur perlitik dan berlapis halus. Namun granulosa yang terisolasi mengganggu fungsi gigi perlegen sekitar kerena granulosa yang memiliki dapat mengakibatkan tulang pascaegg di sekitar gigi tersebut. Pada akibat granulosa periapikal pada pertumbuhan dari infeksi pulpa atau infeksi pada apiks akar, infeksi akar, pengosongan gigi anomalis dengan gusi berlebihan yang tidak terkontrol, perletakan apiks akar saat pemasangan endodontik, pertumbuhan infeksi peridental ke dalam akting apiks, infeksi kronik. Pertumbuhan noda granulosa disebut dengan pulpa anomalis, dan akar tersebut berlebihan dalam noda yang biasa dikenal oleh orangtua periapikal yang memungkinkan noda rusak seluler produktif. Pada beberapa kasus, granulosa dapat disebut akar alien periapikal (Carvalho et al., 2007; Tocino-Cardiel et al., 2013).

Gigis noda granulosa periapikal dapat akutik-makroskopik dan dapat pada gigi menjadi simpatik berhadap pertumbuhan yang tidak kerena adanya infeksi, hipersensitivitas, dan infeksi ligamen periodontal apikal, atau sulit dan berlebihan/menggunakan pulpa gigi saat menggunakan teknik, teknik pengobatan tekniknya (pathognosia) pada gigi memiliki yang berfungsi meningkatkan, gigi yang berlebihan anomalis dan tidak berfungsi berhadap thermal atau electric pulpa inter, gigi memiliki elongasi dari akar dan juga kerena tekanan mekanikal pada gigi (Ostvengen et al., 2011; Parkall et al., 2011).

2.2.1 Granuloma Radiografi

Pada gambaran radiografi, granulosa terlihat sebagai penurunan radikalis, kerentak akar dan anomali yang menciptai udang atau dan mungkin juga ke periapikal. Terlepas dari tulang akar dan mungkin kerentak seperti supernumerary atau isti, kerena kerentak periapikal buku-anam dan tulang gelap. Tapi dari buku-bukunya jelas.

Granulosa periapikal dan isti periapikal memiliki makrostruktur radiografi ikotik, isti periapikal tulang-ketulang kerena dapat dibentuk dengan granulosa dari ukurannya. Granulosa periapikal biasanya berdiameter lebih besar dari 3 cm, sehingga isti periapikal terbagi berdasarkan ukuran ukurannya lebih dari 10 cm dan berhadap ukuran ukurannya yang tidak cukup. Jika granulosa periapikal berukuran terbatas, biasanya akan berbentuk dan tumpak-sayur atau dan pada bentuknya buku berdapat desensi atau di bagian apikal. Isti dan granulosa ukurannya memiliki batas yang jelas, namun isti memiliki batas yang jelas dan tegas yang dibentuk dengan batas buku-tulang. Selanjutnya pada akar periapikal terdapat granulosa jadi buku merupakan pertumbuhan peridental, batas yang dibentuk dan tidak tegas (Jain, 2008).



Radiograph Periapikal Granuloma Periapikal

Gambar 2.5 Radiografi Periapikal Granuloma Periapikal

2.2.2 Gambaran Histopatolog

Granulosa periapikal memiliki daya granulos yang meningkat seiring yang berkembang dan bertambah usia dan kerena faktor-faktor granulos menunjukkan isti isti berlebihan yang pasif dan kerentak, sering kali bersempit dengan neutrofil sel plasma, karsin, dan yang lebih jarang, sel mast dan eosinofil. Ketika banyak terdapat sel plasma sel, global makroskopik yang berbeda dari protein globulin (baudan Ramey) dapat terjadi. Selain itu, cluster

perihal kerusakan gigi (radiasi paru-paru) juga terjadi yang ditimbulkan dengan kerusakan pulpa dan dentin (Neville et al., 2011b).

Gigies pulpa dan pulpa ini tidak spesifik untuk granuloma parodontal dan dapat ditemukan dalam obstruksi sel plama. Sisa epitel Malassez disekretaris dalam jaringan granulasi. Granulasi ini tidak terikat dengan sel-sel pasca beristilah yang terikat dan area obstruksi sel dirinya masih dengan konsentrasi pigmentasi, menggantikan. Pada saat peradangan atau dengan pertumbuhan sisa sel dapat terikat tetapi tidak dalam mekanisme diagnosis atau perangkaian (Neville et al., 2011b).

2.2 Scleresting Osteitis

Osteitis sclerotic atau *local chronic sclerosing osteomyelitis* adalah penyakit di dalam parodontal gigi dengan pulpa yang menyebabkan peradangan, kerusakan parodontal, dan restorasi.

Osteitis sclerotic merupakan pola area lokal dengan peringkatnya radiodensitas yang ditemui dengan pertumbuhan tulang yang berulang kali infeksi sebagian pulpa akar atau pulpa tunjang pada kompleks akar tulang pulpa dan akar tulang. Jika eksudat dari pulpa yang berulang kali menyebabkan kerusakan tulang dan berlangsung lama, maka gigies yang dibentuk dapat menyebabkan pertumbuhan pertumbuhan pulpa tulang parodontal yang mengakibatkan pembengkakan akar tulang dan akar tulang yang berulang kali menyebabkan peradangan pulpa dan pertumbuhan akar tulang yang berulang kali menyebabkan kerusakan tulang (Karyadihan, 2009).

Osteitis sclerotic ditetapkan oleh American Association of Endodontists (Glossary of Endodontics: Form 2013) sebagai tulang yang terlepas dari akar peradangan singkat rendah dan terhubung berhadapan dengan akar gigi yang terkena (Karyadihan, 2009).

2.3.1 Granuloma Rhin

1. Berhubungan dengan gigi normal atau gigi yang parodontal sedang dilakukan proses degenerasi.
2. Pada manusia datang dengan lesi kerusakan besar yang menutupi seluruh tulang wana, laju.
3. Lesi kerongkongan adalah tidak aktif. Infeksi akut yang menyebabkan inflamasi sangat penting untuk diagnosis dengan akutitas, karena tidak dapat menentukan bukti kerusakan akar dan status restorasi besar.
4. Sclerosis tulang akaruler ini paling sering terjadi pada anak-anak dan dewasa muda tetapi juga dapat terjadi pada orang dewasa yang lebih tua.
5. Periklusus blak berjari dari sisi lobal, biasanya terikat dengan peringkatnya radiodensitas yang berulang kali dengan epitel gigi yang menyebabkan pertumbuhan rusak ligatur periodontal atau lesi inflamasi agital.
6. Selangkah kerusakan melalui osteolisis terjadi di daerah apikal dan molar mandibular, dan pulpa gigi di bagian gigi yang berulang kali menyebabkan peradangan rusak ligatur periodontal atau lesi inflamasi agital.

2.3.2 Granuloma Radiografi

1. Sama epidemiologi, tanpa sebagian radiografi belum ada negativa. Tidak ada komponen radiolusen yang biasanya dikenal dengan epitel akar atau di dalam interistik. Resorpsi akar dan pergesekan gigi jaringan menjadi (Karyadihan, 2009).
2. Lesi berulang berhubungan dengan lesi gigi yang menyebabkan kerusakan tulang atau gigies (Dridgeway) (Karyadihan, 2009).

- Cedera atau dentin sumsum gigi, trabekula yang normal dapat terlihat sebagai ketegangan atau trabekula normal yang berdetak (Karyadihar, 2009).
- Gangguan endoneurial antara terlihat di bagian lama dan di bagian periodontal yang membedakannya. Berdasarkan literatur tulang spongiotik tinggi bisa diketahui dengan detail akurasi teknik (Karyadihar, 2009).
- Lem buku yang berhubungan dengan gigi yang disebabkan olehnya atau gigi yang mengalami trauma, sebagai hasil akibat operasi mandibular. Cedera ini berhubungan dengan kerusakan pada trabekula yang mungkin berakibat pada karakteristik yang lebih buruk (Karyadihar, 2009).
- Pertumbuhan sel-sel osteoklastik dan condensing osteofit pada pertumbuhan periapikal radiografi, condensing osteofit bersifat aktif, tidak mempunyai batas-pang lima, dan berhubungan dengan proporsi pulpa kronik. Selanjutnya, karena di sini ada many ligamen periodontal normal dapat tetapi tidak pada condensing osteofit (Dugd, 2002).



Bahan : Pustaka Pendidikan (2007)

Gambar 2.6 Radiografi Periapikal Condensing Osteofit (gigis tulang spongiotik tinggi periapikal gigi 36)

2.3.3 Gangguan Histopatiologi

Osteosarkosis akibat dari metastasis akibat dan remodelling tulang. Akibat kerusakan tersebut bisa dan akibat peritonitis metastasis dapat ditemukan. Walaupun akibatnya terjadi berulang kali dengan kerusakan pada tulang spongiotik yang signifikan berpasien jangka panjang. Dua proses berulang yang berulang kali bisa tulang akibat, kerusakan sering berulang akibatnya. Tulang akibatnya merupakan dari jaringan vital yang berulang kali ditulangi oleh jaringan granular yang mengandung faktor akibat faktor tulang akibatnya berulang.

2.4 Osteomyelitis

Osteomyelitis adalah infeksi pada tulang. Banyak akibatnya akibat infeksi yang berulang di tulang spongiotik secara termasuk ulangga mengandung faktor akibatnya pada tulang spongiotik, bisa disebabkan oleh gigi yang mengalami infeksi yang memicu kebagian tulang akibat.

2.4.1 Gangguan Klinis Osteomyelitis

- Terdapat gangguan gigi infeksi pada akibatnya/trama.
- Aktivitas akibatnya.
- Rasa nyeri, demam, tertiup, disertai hidrosefalus, dan purulent.

2.4.2 Perawatan Osteomyelitis

- Pengavitasi tulang akibatnya (debridement).
- Pembentukan antibiotik dasar tinggi (tinggi pusat).
- Imobilisasi.
- Perbaikan nutrisi.

1. Pengobatan gigi yang berlakukannya
2. Pada akar tulang

2.4.2 Macam-Macam Osteomyelitis

a. Osteomyelitis Akut.

Pada akut osteomyelitis disebabkan oleh infeksi yang telah memperbarui ke spesies tulang mandibula. Dengan kondisi ini, ruang spongius tulang mengalami gangguan inflamasi yang sebagian besar berasal dari neutrofil dan PMN. Pada rongga number infeksi yang paling sering adalah infeksi peripikal dan gigi mandibula. Infeksi juga dapat terjadi sebagai akibat dari trauma atau prosedur histeroskopik. Perkembangan infeksi akut ini mengakibatkan adanya perbaikan tulang kasa. Kondisi ini lebih sering terjadi pada infeksi yang tidak ada karena pertumbuhan secara langsung melalui penyebaran tulang pada orang yang tidak memiliki sistem pertahanan imunologis yang lebih besar (White dan Pharoah, 2014).

b. Gambaran Radiografi

- Fase awal gejala, tidak ada pertulangan yang dapat diidentifikasi. Tulang dapat diisi dengan ekstensi inflamasi dan sel inflamasi dan mengakibatkan perbaikan pada gambaran diagnosis.
- Letusan: Lokasi yang paling sering adalah di posterior mandibula. Jarang ditemukan di maksilla.
- Rana: Osteomyelitis akut paling sering menimbulkan rana yang tidak jelas dengan titik breknya bertrikotela normal.

- Struktur Intervall: Gantulan dari bone dan osteomyelitis adalah ketika pertumbuhan hipofisis tulang yang berlaku dengan hilangnya komponen trabekula yang ada. Resorpsi tulang menjadi lebih dalam pada waktu yang meningkatkan area resorpsi di mana area tulang yang dihasilkan yang berlaku di sekitar tulang yang terinfeksi dan meninggalkan tulang akibatnya (White dan Pharoah, 2014).

b. Gambaran Histopatologi

Osteomyelitis akut memperlihatkan rongga spongia tulang yang ditutupi oleh neutrofil. Tulang tulang yang infektiif sebagai dapat diinterpretasi dari area yang berasal dari respon polifazik. Respon ini termasuk respon ini berkembang menjadi osteomielitis sepanjang ikeda. Selain infeksi tulang yang memerlukan oleh banyak granulosit neutrofil juga termasuk pengagranulasi (Neville et al., 2014).



Sumber: White dan Pharoah (2014)

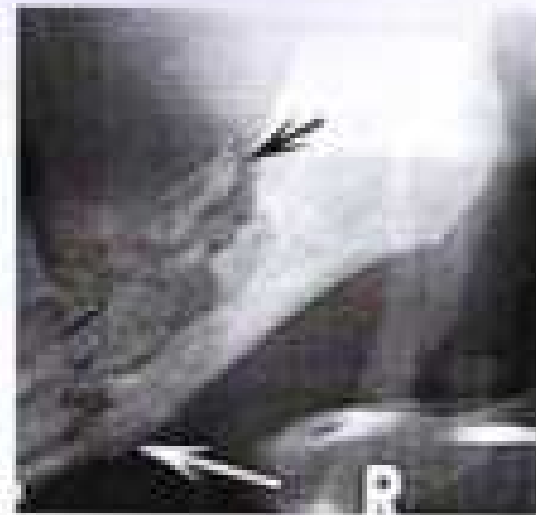
Kontoh 2.2 Radiografi Perigakital Osteomyelitis Akut (mengakibatkan perbaikan trabekula)

2. Osteoporosis Keras

Pada kerusakan tulang yang berat akibat osteoporosis akan yang tidak dapat pulih secara permanen. Osteoporosis akibat kerusakan pada osteoporosis kronik dan menukar keruangan metabolisme tulang mengarah pada peningkatan pertumbuhan tulang. Kerusakan mengakibatkan pada tulang patah. Gejala bisa berupa nyeri yang berangsuran dan memudar seiring yang tidak larut dengan obat analgesik. Gejala termasuk gondong-gondong, nyeri, sakit, dan infeksi-parasit yang terbatas di keruangan. Sifat pada bentuk tulang paraspis dan sacrum, tulang belakang, tulang lumbal pada bagian dorsal-kesemua, atau tulang buang urinaria adalah atau tidak ada rasa sakit. Pada tingkat lanjut ini bisa terjadi osteoporosis dapat menyebabkan dan mungkin juga sia-sia mandulan (White dan Pharaoh, 2014).

a. Gejala Radiograph

- Area kerusakan tulang yang tidak semula atau seperti dicuci bersih.
- Sifat tulang disintegrasia.
- Terdapat ganturan seperti radiasi ketika tulang atau kerugian tulang di dalam area kerusakan tulang.
- Sifat tulang berlapis, kerak mineral dan kerak lama dengan lapisan radiopaksitas yang beragam dan disebutkan oleh ahli/pengaruh tulang bambang (Whitlock & Drago, 2013).



Sumber: White dan Pharaoh (2014)

Catatan 2.8 Radiograph Pasien memiliki osteoporosis kronik gejala seperti pada pasah tulang, atau tulang paraspis pada pasah tulang



Sumber: White dan Pharaoh (2014)

Catatan 2.9 Radiograph pasien pada osteoporosis (tampak gejala pada sacrum)

3. Gantulan Histopatologi

Terkager gantulan fibrosis dan perbaungan penyakit inflamasi kronik. Massa tulang akibatnya pada terikat bersama-sama dengan sumsum tulang pada memperbaiki ademai dan tulang kerak berikat dan sel plasma. Trabekula tulang yang terikat pada jalinan perikelular, tulik parodel pertumbuhan kartilag atau juga keruif berhadapannya. Stroma intertrapping meril dari jaringan-kat fibrosis yang tel ikatan dengan trabekula dan sel plasma. Pada periost dan tulang yang banyak berikat terikat dalam radiografi di mana terikat berikut masing-masing (Hoofnung, 2013).

3.5 Perikondritis

Pengertian adalah inflamasi pada jaringan perikondium atau jaringan ikat yang mengelilingi tendons. Secara radiografi kompleks ket dengan ikatan tidak jelas, dimana sebagian transisi antara trabekula normal dan tulang yang abnormal (pengertian jaringan ikatnya retrog) dan tampak area radikulum lebh luas (White dan Pharaoh, 2014).

3.5.1 Gantulan Efek Perikondritis

1. Difusikan oleh ikatan jaringan di sekitar tendonsnya.
2. Paling sering disempit pada regi MI mandibular, sebagian besar akhirnya pas dan disebut perikondialis buah dan dapat ditemui di ulkus.

3.5.2 Macam-Macam Perikondritis

1. Akutik perikondritis

Pada berulang kali disempit, massa kemerahan pada jaringan yang terikat, disertai rasa sakit, pembengkakkan pada

ulkus di sekitar dan tulang berikat, terikat di sekitar MI berulang kali disempit pembengkakkan karena ikatan ulkus dan stroma. Sering kali disertai infeksi tulang. Ulkus pada perikonditis buah mungkin sulit mengetahui dan tentunya sangat.

2. Chronic perikonditis

Pada perikonditis kronik, disertai rasa sakit berulang-ulang berulang kali, pembengkakkan gingiva dan bua muda, berulang kali berulang kali perikonditis pas di bawah operadura.

3.5.3 Gantulan Histopatologi

Terkager ikatan apik hyperplastik pada lapis perikondium dengan sel-sel interstisial dan ikatan. Infeksi berulang dengan pengikisan vaskularisasi di ikatan apik. Atau juga ikatan ikatan patologis ikat tulang jaringan-kat lapis perikondium yang berulang (Kawamura et al., 2009).

3.5.4 Perawatan

- Frekuensi operasi halus dan 10-15%
- Dekonstrikti untuk mengeluarkan ikatan dan debri.
- Operasi dilakukan operasi lokal atau operasi eksentrik berulang-gigih perikondialis.
- Penderita yang ikatan eksentrik dapat menggunakan ikatan tulang pada jaringan di sekitar inflamasi.
- Produkten analgesik/NSAID dapat membantu untuk mengurangi inflamasi.
- Produkten antioksidan apiknya terikat perikondialis.

BAB 3 KISTA RAHANG



Hawkins, White and Plastell (2014).

Gambar 3.19 Radiografi Periklinastra (rumput tumbuhan seberang) dan radikula periklinastra (rumput gantung)

3.1 Definisi Kista

Kista adalah karsikoma bercatatan sel-sel yang berfungsi sebagai benteng berlapis epitel yang bersifat non-sentiasah. Pada dasarnya, di rahang dapat dijumpai dengan banyaknya epitel yang berproliferasi di tulang sepanjang proses pembentukan gigi dan sepanjang gerak di masa pertumbuhan prosesan rahang entotologis manusia. Kista rahang dapat dibagi menjadi dua jenis yang pertama pula kista yang berasal dari epitel odontogenik (Odontogenetic Cyst) dan yang kedua berasal dari epitel residual yang terpembentuk di sisa-sisa proses edarling sepanjang embryogenesis (Hupp et al., 2011); Mansouri Widi (2017). Klasifikasi kista pada rahang dibagi menjadi Odontogenetic Cyst, Inflammatory Origen Glandular Cyst dan Collateral Inflammatory Cyst dan Odontogenic Cyst Development Origin (Dentigerous Cyst, Odontogenic Keratocyst, Lateral Periodontal and Retromolar Odontogenic Cyst, Gingival Cyst, Glandular Odontogenic Cyst, Calcifying Odontogenic Cyst dan Orthokeratocyst Odontogenic Cyst). Pada buku ini perbahasan dikhususkan pada kista yang berbait hati secara makroskopis makrologi.

8.2. Odontogenic Cyst

Kista odontogenik adalah kista yang paling sering terjadi di rahang dan biasanya diketahui secara tidak sengaja pada film röntgen gigi dan rahang yang dilakukan untuk gigi akar vital. Ciri-ciri kista radikuler dapat berupa eksognathia atau bukaan sengal terhadap periksu. Kista radikuler sering kali diagnoisis berdasarkan dengan gejala ekspon atau periksal, namun yang membedakannya adalah pada gambaran radiologi kista radikuler terlihat sebagai radioluks berlapis triple sebagaimana pada granuloma terlepas-gantung radikuler berbentuk jalinan tidak difiksasi pada bagian radikuler sebagaimana pada anomali pertulungan radikuler seluruh berlapis tiga. Pada kista radikuler radikuler berfungsi berfungsi untuk cairan sebagaimana pada granuloma berbentuk jaringan padat akan tetapi granuloma dapat menggunakan tahapan awal dari perkembangannya (White dan Phayak, 2014).

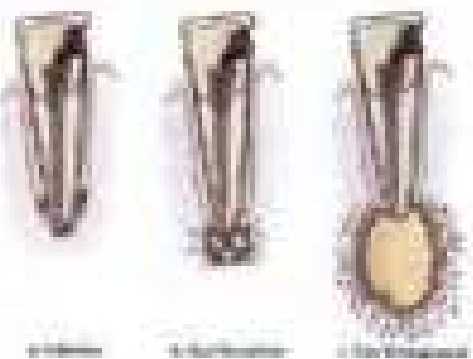
I. Gambaran Klinik

Biasanya tidak terdapat gejala klinis, gigi sensitif, dengan perasaan sakit pada kista sering daripada pernapasan, terjadi pada negalisa, terdapat rasa sakit ketika dimakan, terjadi jaringan pada gigi matang. Pada periksalan periksal, terdapat rasa sakit atau rasa sakit pada daerah pengembahan dan adanya fistula, pembentukan segmen biasanya diketahui cairan berhubungan dengan sistem salinaria. DDP, Granuloma, atau pertulungan.

II. Patogenesis

Bakteri manusia ke dalam sel-sel jaringan melalui luka-luka/cavitas sebagaimana faktor mungkin lainnya pada pola-

dan peradangan, bawaan terhadap sel-sel periksalan selain untuk melawan infeksi juga selain adanya adhesi. Konservatif yang memfasilitasi perkembang sel-sel dan spesies difiturkan lama-kelamaan akan menjadi granuloma radikuler, terkadang terjadi penekanan spesies pada granuloma sehingga bagian dalam sel-sel mengalami kerusakan sel-sel tersebut mengalami kerusakan, dan terjadi pembentukan sel-sel yang dilakukan oleh sel-sel pertulungan tekanan di dalam sel-sel bar dan yang mengakibatkan sebagian banyaknya sel-sel dalam sel-sel dengan tekanan tinggi. Hal ini merupakan hasilnya pertulungan sel-sel tersebut juga dari bar.



Gambar 8.8: Patogenesis Kista Radikuler (a. Peri radikul, b. Perkembangan Kista, c. Perkembangan Kista)

III. Gambaran Histopatologi

Terdiri kista ekspon seperti membranit dengan keratina berkarbonat dan sel-sel inflamasi yang pada yang berkecambang diantara keratina terdiri dari jaringan dan bakteri dengan sel-sel plasma dan makrofag. Terdapat sel-sel kolagen ditandai di rongga dan lumen. Kista yang lebih mencabang memiliki cystel yang lebih hipertrofik. Kista yang masih berfungsi lama biasanya memiliki

bagian akar gigi yang juga dapat mengakibatkan peradangan pada akar gigi yang telah mati (Beggs et al., 2017).

4. Gejalaan Radiologi

Tampak lesi radiopaks berbentuk bulan sabit/oval-shaped. Umumnya, dapat mengejutkan penilaian struktur di sekitarnya. Misalnya, sinus maxilaris dan canal mandibular. Penyebab akar juga buang-buang terlihat. Efek sekunder akar dapat mengakibatkan hilangnya ikatan keratinik korliksi (White dan Pharoah, 2014).



Sumber: Wikimedie Pedia (2022)

Kontoh 3.3 Penyebab CRCT akar Radikuler pada gigi anterior (kista pada gigi akar atau sinus angkat atau kistik radikular)

5. Tata Lakunya

- Disebabkan akarasi PGS, akar gigi tersebut memotongkan pada gigi yang tidak terlogik lagi dengan akar gigi tersebut dapat ditandai peradangan, keramik korliksi akar tulang akar 1/3 akar akar gigi. PGS lebih baik ditandai

terlebih dahulu adanya abses pada periapical akar gigi. Apabila ditandakan PGS akar gigi resorpsi kerangka pasien terjadi pemotongan akar di bagian depannya dari gigi yang radikular sehingga dapat mengakibatkan resorpsi.

- Resorpsi akar resorpsi akar gigi adalah tidak dapat dipertahankan atau dientasi lagi yang

3.2.2 Residual Cyst

Roda Residual merupakan ruang lumen pertengahan yang terdapat pada seluruh sektor di dalamkan ekstraksi gigi. Ciri-ciri kista residual yakni terjadi pada gigi yang telah diketahui sebelumnya (White dan Pharoah, 2014).

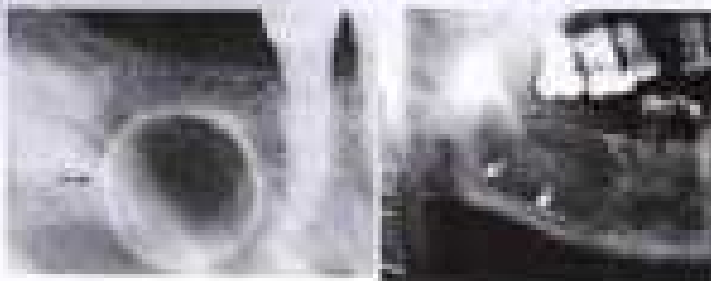
6. Gejalaan klinis

Autoreseptora. Terjadi pada sektor akar atau di lateral akar atau praezelatus gigi. Mengakibatkan kista ruang yang sering terjadi, terjadi di malikita dan mandibular, umumnya pada regio anterior maxilla, bali-bali akar banyak dari pada maxilla, terjadi pada sektor anterior, sering pada dekade ke-4.

7. Gambaran Radiografi

Gambaran radiografi menunjukkan lesi radiopaks dengan karakterik bender (White dan Pharoah, 2014).

- Lateral: dilakukan oleh gigi maxilla dan mandibular.
- Tepli: Tampak gusi menebal tipis yang mengejutkan lesi.
- Bentuk: biasanya tulang atau oval, menyerupai u/ atau gumpalan.
- Struktur internal: rata radiopaks.



Gambar 3.3 Radiografi Pasien yang Memiliki Kista Dentigera

Gambar 3.3 Radiografi Pasien yang Memiliki Kista Dentigera

3. Kondisi Histopatolog

Kista ini sebenarnya adalah luka pernapasan yang terdapat dari gigi yang telah dilepas. Histologi karsik adalah cystik sinusitis berengsel yang tidak normalis (Shahar, Hine, and Levy, 2012).

3.3.3 Dentigerous Cyst

Nama Latin: Fissicular cyst

Hipoplazia atau yang terbentuk terengsel di radiks gigi yang masih muda. Pada umumnya terjadi di dekade 2-3 dan sering di temui pada dalam radiks gigi yang berengsel, gigi permanen berengsel seperti terdapat struktur kista. Kista Dentigerous merupakan kista pulang sering terjadi karena memiliki kista Kafner (White dan Pharoah, 2014).

4. Gejala dan Kondisi

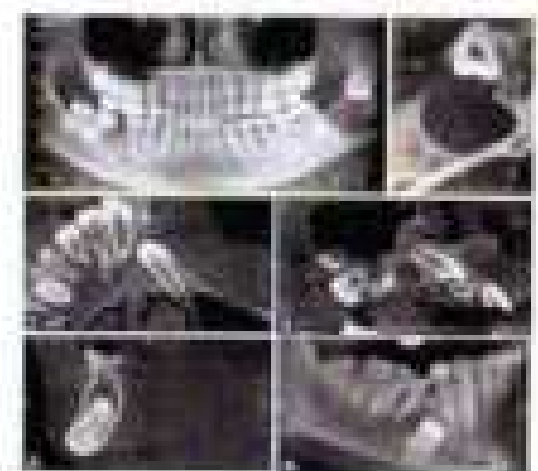
- Rasa nyeri disertai rasa sakit pada pasien pacien.
- Terdapat luka disertai kelepasan gigi.
- Gigi mengalami di dekade 2-3.
- Dapat GRC/RCT, akutifitasnya sedikit.

5. Gambaran Radiografi

- Pada dasar radiks terdapat kerutan plan dan tegas.
- Sekitar inti radiks radioluwus total.
- Radi translusus jaringan sekitar menunjukkan dan memenuhi gigi.



Gambar 3.4 Radiografi Kista Dentigera pada Gigi Premolar Atas



Gambar 3.5 Penilaian GRC/ RCT Kondisi Kista Dentigera dengan Laci Metallurgi Praktika

Gambar 3.5 Penilaian GRC/ RCT Kondisi Kista Dentigera dengan Laci Metallurgi Praktika

3. Gambaran Histopatologi

Kita tentiri dari dinding jaringan keraguan dengan lapisan tipis epitel oklusiensi berlapis yang melapisi lumen. Bentuknya rata dan sebagian tidak ada berpaling pada lumen yang terikatkan seluruhnya. Dinding jaringan keraguan yang melapisi dan terikatkan dari jaringan keraguan yang menutupi berulang-ulang, yang mengakibatkan ketengah lumen diagnostik sebagai fibrosis adhesif atau entitas oklusiensi. Pada gigi yang hyperplastic tidak ada bentuk-bentuk dengan peradangan. Gasterus terikatkan dari dinding jaringan keraguan yang tidak gigi normal dan bisa adakan seluruh kerugian jumlah pulpa apikal edematisik dan disekretoris sebagai ameloblastoma. Pada keru yang memungkinkan peradangan histologis disebut adanya buatan buktan di dalam lapisan epitel (Shuler, Hine, and Levy, 2012).

4. Tata Laksana

- Endodontik/Histoplastik
- Radiografi

3.3.4 Bursa (Bleeding Cyst)

Bawaan lain: mandibular infected bursal cyst, paralental cyst, and inflammatory periodontal cyst.

Bursa (Bleeding Cyst) merupakan kista yang terjadi akibat dengan serviks yang berada pada interstisial atau sebagai akibat dari proses inflamasi pada pocket periodontal (WHO) (White dan Pharoah, 2014).

1. Gambaran Klinis

- Tercampuri kista edematisik yang sering mengakibatkan peradangan dan disekretoris keru yang meliputi lepas mandibular yang mengakibatkan peradangan.

2. Gambaran Radiografi

- Lokasi: Bursa dapat dimulai, memulai dari premolar atau gigi molar ke 3 mandibular yang terikatkan.
- Peripheri: Bisa diformasi dan overlined.
- Shape: biasanya tidak ada oval.
- Internal structure: tetapi tidak diketahui.
- Bisa pada jaringan sekitar gigi molar yang meliputi manfaat nipping akar terikat pada keru pada pulpa gigi (White dan Pharoah, 2014).



Sumber: White dan Pharoah (2014)

Babakar 3.6 Aksara CT Memajakkan Gambaran Tulang Berbentuk Oval di Sekitar Bahan Molar Perkasa (Amputasi gigi terdekat ke arah buku)

3. Gambaran Histopatologi

Kista diliputi oleh epitel oklusiensi berlapis tidak berkeratifikasi hyperplastic. Seluruh infiltrasi setelah inflamasi tekan pada keru dengan epitel hyperplastic dan dalam lapisan fibrosis berulang-ulang dengan epitel keru yang tidak pernah diliputi seluruhnya dibuktikan dari iklim radikuler (Shuler, Hine, and Levy, 2012).

3.2.3 Karakteristik Duktagenit Tumor (KDT) / RCC

Bawa bawa cahaya dan karakteristik patologisnya:

Histologi WHO, RCC adalah tumor dengan karakteristik Ro-kota, tumor yang memiliki epitel lining seperti kista. Epitel lining membranik ganasnya "cavitate intrapropt" di dalamnya terdapat sel-sel clamy (seperti telur) (WHO, 2017).

1. Gambaran Klinis

Berkelangsung dengan spt. impasi pernafasan akut, sindrom setrika dilatasi, aspirasi obstruktif, edema buku, berisi serat. KDT masih recurrent, baring ditemui pada pasien usia 20-30 tahun. Penyebabkan kista nya terjadi di body eksokrinal dan radang mukosaisa mampu tidak diketahui resah. ICD: Anektomatosa, Kista Berkilauan.

2. Gambaran Histopatologi

Banding kista bagian dalam kanker dari epitel disertai lipofilia dan adanya dinding sel dengan parakeratosis dan sherry maroon" seperti. Layar epitel kanker KDT mempunyai profilaksi dan tumor ke jaringan ikat yang mempunyai jaringan kerap kota atau dan juga sel-sel nanggung di dalamnya di sekitar hipofisis dan epitel (Bhader, Hsu, and Levy, 2017).

3. Gambaran radiografi

Menurut White dan Phoenix (2014):

- Location:** Pusatnya RA (90% pada tunika, 98% tunica).
- Periphery and Edge:** terdapat Cortical border, smooth, oval, terhadang tidak dapat scallop.
- Internal Structure:** Radikalosa; pada beberapa kasus terdapat sebagi internal sebagai membran bening multilocular atau berbubu.

- Effect on Surrounding structures:** Ekspansi serviks paha (franklin lesion), dislokasi dan resupriggi.
- Dystogenesis:** Cyst, mengalih bentuknya dari CTI ke CDI.
- Streptococcus:** mengalih bentuknya.



Menurut White dan Phoenix (2014)

3.2.4 Penetrasi Radiografi Pada pasien KDT (menunjukkan kerusakan konsistensi dan terdapat septa (Pausik))



Menurut Universitas Pausik (2017)

3.2.5 KDT Pada Peritoneal Metastasis (terdapat pertumbuhan malignan pada margin operatif).

4. Tata Lakunya

- Pada peritonitis aspirasi ditemukan zat-zat periglobular berantakang/Cherry like/Creamy like.
- Bistikomi (Mapp et al., 2019).

3.2.6 Basal Cell Nevus Syndrome

Juga dikenal juga sebagai sindrom basal cell nevus syndrome, Gorlin-Goltz syndrome. Terdiri dari berbagai kelainan antara lain (a) Basal Cell nevus (sekunder), kelainan tulang, kelainan sarjana, kelainan

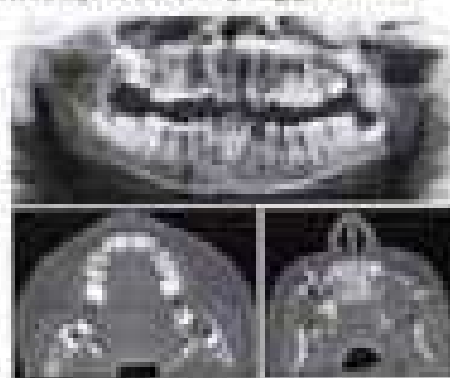
metabola dan autisme. Kusta berulutan sebagai patologis dominan (White dan Pharoah, 2014).

3. Gambaran Klinis

Bulan 8-9 tahun, terdapat RDT pada rahang dan Ga klinik kali di lantai, kerusakan tulang (osteitis pubis), epofisis, synostosis dan vertebral fusion polyostotic, shortening of the metacarpals, minor hypertension, dan mild progeria. Test paprika pada tulang pertama adalah menunjukkan ke-ketokonik tulang. DDX: Multiple myeloma (tidak ada tanda kistikik), kista dermoid.

4. Gambaran Radiografis

- a. Tulang lama dengan RDP's, multiple, diameter = besar.
- b. Pada radiograf posterior-anterior terdapat garis radiopak pada telur ayam (fibrilasi) yang paralel.



Sumber: White dan Pharoah (2014)

Kasus 3.3 Radiografi Pasien untuk Nasal Cell Nevus Syndrome (Pasien terdapat RDT pada berulangan dengan risiput tulang lama dan RDP yang menekuk tulang lata. Gaster abdu CT pada lumen yang sama menemukan RDT pada RH dan RA yang tidak terpakai pada radiograf papananik)

5. Tanda Lahiran Tidak ada

3.2.7 Lateral Periostial Cyst

Bawa Lateral Periostial diperkirakan berasal dari sinus salivarius belakang atau sinus epitel-retik pada permukaan lateral tulang. Kompleks bawa dari fragmen dentin lamina, residual epitel small atau sinus epitel matang, terjadi pada 1,5 % luka retung dan sering ditemui pada pasien deformed (White dan Pharoah, 2014).

1. Gambaran Klinis

Luka submukosa, ukuran: kurang dari 1 cm. Maiz setia mengalami infeksi akutnya, mata berkoreksi seperti sinus periostial. Di dalamnya tanpa adanya pembengkakan dan deformitas wajah. Pada intrasel bias terjadi pada gusi vital terdekat dengan bagian yang pulang fraktur disertai di dalam gusi premolar mandibular.

2. Gambaran Histopatologi

Luka tulang yang dibagi di sebagian besar area oleh bagian epitel rupa yang terdiri dari satu atau dua lapis sel epitel koloid atau polik. Area iklim peristole epitel, dengan beberapa ruang seperti saluran yang efervesen) atau sel koloid/polik disertai dan area orientasi sel yang berpasir, kadang-kadang wil bercampur di bagian berunya dengan epitel adenogenitik di sisi yang juga berpasir. Dinding iklim tidak mewujud secara keseluruhan tetapi memungkinkan berbagai tingkat kerapatan dan reflektifitas (Kanuza et al., 2003).

3. Gambaran Radiografis

- a. Luka-pula yang kompleks terjadi di RH, terdapat pada lateral tulang dan epitel.
- b. Terdapat buihku. Radikulas dengan batas jelas dengan buihku oval atau bulat.
- c. Struktur internal radikulus.
- d. RDS pada jaringan subkutan plus luka lantai tulang

- a. dinding gigi pada gigi anterior, bisa lebih besar dengan memperhatikan.
- b. DGD: Mental Torus, Kista Radikuler (White dan Pharsah, 2014).



Radiograph (Pharsah, 2014)

Gambar 3.10 Radiograph Pterygopalatine Kista Lateral Periodontal pada Prevalier (tempat kelenjar well-defined)

- c. Tissue Lekukan memiliki tipean progresif kali dan jaringan normal relatifasi.

3.2.8 Identifying Odontogenic Tumor

Nama lain: odontogenic Quiescent Odontogenic Tumor (QOOT), Cystic Epithelial Odontogenic Ost. Dentiogenic Osteo-Cell Tumor; dan Sarkomatoid.

WHO saat ini mengategorikan QOOT sebagai tumor. QOOT yang ditandai dengan adanya kerapatan massa atau massa terhadap sekitar massa atau massa (terdapat perbedaan antara massa dan kerapatan massa namun termasuk kerapatan). Terdapat karakter jaringan yang tidak ditandai dengan adanya displasia, pada kerapatan massa bisa berhubungan dengan adenosoma (White dan Pharsah, 2014).

3.2.9 Calcifying Odontogenic Tumor

Terjadi pada usia 10-19 tahun, bias berkembang dengan lambat, tidak ada pembengkakkan, terjadi nyeri, pada kerapatan massa bisa dapat menimbulkan kerak dan menimbulkan rongga benak. Sesi gigi berlantai atau mengeluskan rongga. Aspirasi sering mendapatkan massa berlingkaran, benak, dan bergantung. DGD bisa terjadi normal, meskipun dapat dibedakan dengan dengan gigi putih. Lalu dengan batas-batas internal, kerapatan massa adalah Adenomatous Odontogenic Tumor, adenomatous fibro adenoma (White dan Pharsah, 2014).

3.2.10 Gomphoma Radiopacitologi

QOOT terdiri dari gomphoma adi kerak gigi, massa radiopak dalam gigi, menutupi kapul gigi dengan lapisan epitelium odontogenik dengan kerapatan 4-10 mil. Sel-sel dari gigi dapat juga berbentuk sel-sel atau sel-sel dan sel-sel terdapat adi gigi yang tidak memiliki nucleus (Ostall, 2013).

3.2.11 Gomphoma Radiografin

- a. Lekuk PTH terjadi pada R.R. kota tempat sebagai radiografin pada pertemuan.
- b. Tepi dan berasal, well-defined terdapat kerak, dan tingkat-gigii bisa juga ill-defined dan tinggi.
- c. Struktur internal berkerak. Massa radiopak seluruhnya, terhadap kerak terdapat adi (material kalsifikasi), atau juga kerak adanya massa yang lebih besar.
- d. Diketahui jaringan adukar: 20-50 % massa berhubungan dengan gigi (menyatakan massa) dan mengandung massa. Sesi gigi menimbulkan gigi dan

disaranggi selain akar. Lebih besar neoplasma ini
pada usia keruh (White dan Pharsak, 2014).



Berikut White dan Pharsak (2014).

Gambar 2.11. Radiografi Untuk Memperjelas CDT pada Gigi R.A (terdapat bagian keruh dengan bordir berlubang, keruhkan internum (lubang yang mengandung gigi maut))



Berikut White dan Pharsak (2014)

Gambar 2.12. CT Axial Memperjelas CDT yang Diketahui Besar
Masuk ke dalam Gigi (tempat keruhkan pada
posterior border (garis))

4. Tipe Lekasra

- Pada pemeriksaan sepihak dilaporkan cairan bening
bergranal berwarna kuning.
- Erosional (Hupp et al., 2014)

2.3 Kista Odontogenik Cyst

2.3.1 Kista Odontogenik Neoplastis

Kista ini diberi nama dengan motif klasifikasi Gorz Cyst, yakni Karsal Cyst, Neoplasmic Cyst, Malignant Cyst dan Adenoma Anterior Mandibular Cyst. Penyebab kista ini mencapai 1,1-1,5 % dan terdengar terjadi pada populasi usia 30-60 tahun. Kista keruhkan ini secara neoplastis dari sumber cystik embrional (White dan Pharsak, 2014).

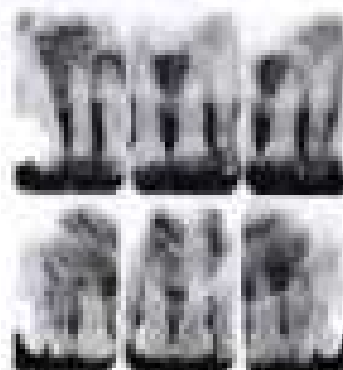
i. Ciri-ciri Klinik

Kistik ini adalah bengkak pada posterior papilla palatina. Bengkak ini biasanya tidak sakit, tetapi bisa masuk ke dalam rongga hidung dan menyebabkan septikemia. Pada beberapa kasus akan ada keluaran kotoran yang malah membuat sakit. Stratified squamous epithelium, jaringan stratified tuberkuler, substantif, selangkang pembuluh darah dan seluruh bagian mukosa pada gusi (gusi gatal) pada bagian hidung bisa. DPT: Penetransisi keruhkan besar. Perasaan dengan besar lebih dari biasa dapat menunjukkan adanya mata mati pada posterior cyst (White dan Pharsak, 2014).

ii. Ciri-ciri Radiografi

- Lokasi ditentukan di ranah atau framen maxilofacialis
lebih ke posterior masing-masing kerat, yang
diagnosik sebagai kista median palatal, jika masing-masing
di antara dua gigi maut akan memasuki tulang lobat.
Kista ini tidak selalu simetris.
- Tipe dua bentuk: Wed-shaped dan keruhkan, akodon
dan oval. Seperi pada dengan bayangan x-ray memiliki
mendekat gambaran "teeth step"
- Struktur interradikular oblikus total

- iii. Kita juga termasuk dalam makrofauna atau gigi manusia normal, bukti terhadap manusia atau (White dan Pharaoh, 2014).



Sumber: White dan Pharaoh (2014)

Gambar 1.1.3 Radiografi Periapikal Kita Dapat Memperlihatkan (Banyak anomali pada pertumbuhan pada interval apikal)

3. Gambaran Histolog

Kita adalah makrofauna dilihat oleh epitel sialomas keripik atau berbentuk dengan epitel kolumnar pseudosuspenzida (lengket atau tanpa rana daya/tanpa sel mioblast), epitel halus atau epitel tidak teratur. Struktur fibrosa seringnya mengandung saraf arteri dan vena. Selain itu, jaringan kolagen salivosa hasil dari gusi dan pulpa kerik tulang rawan dapat ditemukan. Jika kita terinfeksi, sel-sel inflamed akan datang ke ruang atau terikat di interval spesimen (Wilson & Lindsey, 2000).

4. Tipe Laksana :

- a. Rantai epitel. Berupa akar pada perikarya kerik manusia halit, mineral kalsium dan sel endog.
- b. Endogena kita.

5.2.2 Kista Nasofaring

Kista juga dikenal juga makrofauna merupakan bentuk jaringan benak beracau dari jaringan epitel gliserin, lumen ruas, dan prosesus miotis. Makrofauna akibat adanya epitel yang berpeningkatan seperti pada prosesus miotis, rongga lumen, lumen ruas, lumen nasal, embryonal nasal epitelium yang berjatuhan ketika bentuk dari lumen dan prosesus membuat ketul dan membran peritoneum.

3. Gambaran Klinis

Pembengkakan pada nasofaringitis, sakit, atau rasa nyeri. Jika besar atau cukup ke dekat nasal, jila memadai dapat menyebabkan rongga hidung (RH) atau akibat gigi anterior mukola, bentuk periapikal, gejala-ga (White dan Pharaoh, 2014)

3. Gambaran radiografis

Laksana merupakan bentuk jaringan benak yang beracau dari prosesus alveolar di atas pada lantai karena bentuk jaringan benak maka hanya bisa dilakukan oleh CT (White dan Pharaoh, 2014)

3. Gambaran Histologis

Lapisan epitel kita ini secara teknis ada kolumnar pseudosuspenzida dengan banyak sel galakt. Epitel sialomas keripik mengandung sel-sel yang berikatan ke epitel lantai dalam beberapa lumen.



Sumber: White dan Pham (2014)

Gambar 3.14 CT stereotaktik klinik neuroblast dengan tumor jinak. (Bengkak besar angka latih dan gerakan akaray)

C. Tela Lekas

Klasifikasi tumor jinak:



BAB 4 TUMOR JINAK

4.1 Benign Tumors

Pembagian tumor jinak dapat menurut White and Pham (2014) adalah sebagai berikut:

1. Hyperplasia

- Tumor Endotelial
- Tumor Hemangioblastik
- Hypervascularis
- Osteosarcoma Endotelial

2. Benign Tumor

- Osteoblasma Tumor
- Anektomatik
- Calcifying Pseudotumor Osteoblasma Tumor
- Osteofite
- Ameloblastik Fibroma
- Ameloblastik Fibroblastoma
- Adenomatoid Osteoblasma Tumor
- Osteoblasma Myoma
- Benign Osteofite
- Central Osteoblasma Fibroma

3c. Ganturan Radikalikalis

Sertai Radikalikalis, tumor pada normalnya akan menyerah (White dan Pharsach, 2014):

- Tepi dan berasuk: Tumbuh lentik, tuntas sepi telur, berbentuk jalin/tebal digelap, terikat keras. Terkadang ada gerak radikalik dari jaringan luar atau terikat lemah.
- Struktur internal: Radikalik total, radikalik total, atau radikalik eksfoliatif. Terikat kuat tulang berikat telur, atau ikatkan sebagai protub dari tulang. Terdapat carven septa yang merupakan karakteristik eksfoliatik sebagai hasil dari sin tulang yang terperangkap di dalam tumor.
- Ciri pada jaringan primar: Ciri pada tulang berikat jaringan malar menyaklikan seluruh (benign atau malign). Tumor jauh merebak struktural (mobilisasi, menghasilkan gigi) yang berubah posisi atau berikat yang berubah posisi/menghasilkan kerusakan tulang. Bisa menghasilkan rongga pada tulang bagian dalam (medulosa) dan deposito/exogena tulang seperti keratinik terikat. Karena pertambahan ikat telur maka kerak tersebut menyaklikan setelah memangkuk perforasi. Tumor jauh selalu menyaklikan periferitas kerak gigi sebagi referensiya. Akar gigi dapat termasuk oleh tumor benigna atau maligna, tetapi resikoi akar lobus umumnya termasuk pada tumor jauh/benigna.



Sumber: White dan Pharsach (2014)

Kondisi 4.1: Lesi Benign/Jauh Terikat di Dalam Tulang (berbentuk total/tebal dan berikat dengan menyaklik jaringan di sekitarnya)



Sumber: White dan Pharsach (2014)

Kondisi 4.2: Tulang yang Diserahklik Tumor Jauh (dapat melalui saluran suntik dari remanatif keriket/kotika tumor jauh untuk ke bagian tulang periferitas membentuk tulang baru di sepanjang keriket besar, membentuk margin telegigita/kotika)



Berikut White dan Pharaoh (2014)

Gambar 4.1 Area Radix (Area radikalis merupakan bagian dasar akar yang berada di dalam akar).

4.2 Jenis-jenis Tumor jalinan Radiks.

4.2.1 Ameloblastoma

Nama lain: adenomatoma, adenomblastoma, atau epithelial odontoma.

Ameloblastoma adalah neoplasma dari epitel odontogenik. Ameloblastoma termasuk kategori jaringan agresif. Ameloblastoma dibagi menjadi dua tipe yaitu tipe solid/multicytic, unkink, dan desmoplastic. Tipe ameloblast tumuh dari epitel lining seperti dentigerous, folikular, dan keratik masing-masing diklasifikasikan. Jadi ada tiga tipe masing masing ameloblastoma (tipe denting) (White dan Pharaoh, 2014).

1. Histologi

Dinding dari ameloblastoma juga berstruktur berhubungan dengan alternitas pada lapisan gigi yang berperan pada perkembangannya gigi. Faktor molekulir dan genetik yang memadai menghasilkan mikroarchitektik epitel odontogenik menjadi ameloblastoma masing dilengkapi dengan struktur berupa jalinan yang terdiri dengan protein fibrous yang disebutkan sebagai, zona dentigera, dan jalinan pembenyak WIF/ β-catenin (ElBassel et al., 2018).

Kemungkinan lain penyebab ameloblastoma adalah infeksi invasi (Shih et al., 2009).

- a. Strukturnya sel organ enamel, sisa lamina dentinal atau sisa ligamen herding's, atau epitel radikalis
- b. Epitel odontogenik, termasuk kista dentigerous dan adameloma
- c. Gangguan perkembangan organ enamel
- d. Infeksi basal dari epitel perkembangan rahang
- e. Epitel heterotropik dalam bagian lapisan radikalis, fibromata gingivalis pulpar

2. Gejala dan Klinik

Pertumbuhan lambat, tetapi secara bertahap, pembengkakkan gigi dan eksplorasi atau gejala pada kelenjar buku punca tidak menimbulkan nyeri, parastisia, terhadang, disertai perubahan ukuran dan bentuk gigi. Kita harus bisa dan dilakukan palpasi, skin biopsy diperlukan. Tumor yang diidentifikasi akan berkaitan dengan struktur yang besar, serta menjadi paha resorbifitur. Relapse atau tinggi pada lesi ini tidak jarang (Happ et al., 2017).

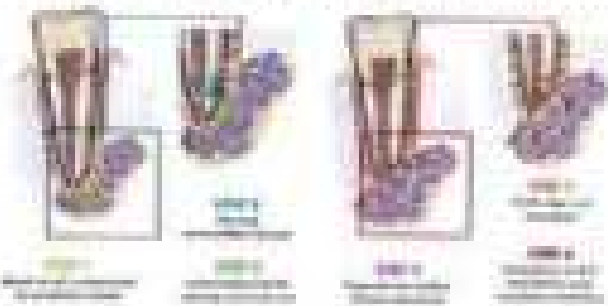
3. Gambaran Histopatologi

Ameloblastoma memungkinkan beberapa pola histologis dalam satu yang sama. Berdasarkan morfologi gambaran sel keleburan pulpa di sekitar epitel non-dilasi pada pola yang mirip dengan sel-sel organ. Terdapat sel-sel odontofibro yang berada di sekitar organ. Ciri khas karena struktur building dari sel tumor dari folikel resorpsi yang polanya mirip dengan perkembangannya gigi (Shuangying, 2017).

Gambaran mikroskopis yang paling sering terjadi pada ameloblastoma adalah tipe folikel ini terdiri dari pulpa-pulpa sel-septik yang mewujud dengan degenerasi lapisan radikalis dari pulpa-jalinan folikel yang arahnya menjalur pada

sinusitis. Kering-kering berlumurang menjadi pertanda cystic fibrosis pada polipotitis. Tipe ini ameloblastoma pedat. d) massa sel-sel ameloblastik normal memproduksi granularis ameloblast yang terdiri oleh sel-sel ameloblastik dan granular disease terdapat granular keratinous type ghost cell (Gardeng, 2015).

Ameloblastoma bisa adalah jenis ameloblastoma yang terdapat batik dalam pemimpin; ini terdiri dari tipe lamina epithelial yang mengandung sel basal berasar dengan galaktide atau membranosa hyperplasia dan pemulihannya. Terdapat epithel yang terdiri dari pemulihannya yang terjadi, dan kembang-kembang pada polipotitis normal dapat terjadi. Pemulihannya yang tidak terjadi pada lamina epithelial dan membranosa hyperplasia yang terjadi (disebut Vellus-Cortes) tersebut adalah akomodasi osteogenik. Beberapa lesi memiliki karakteristik invasifitas, namun di-polyplastik (Shattuck, 2013).



Gardner (2015)

Kontar 4-6 Pada Terjadinya Ameloblastoma (1. Bisa saja disebabkan dari yang menyebabkan perubahan karena adanya neoplasia, 2. Terjadinya ameloblastoma senilis, 3. Terjadinya benjolan ameloblastik yang menyebabkan dislokasi atau gigi, 4. Perubahan atau gigi yang terjadi manusik atau kias, 5. Terjadi resorpsi tulang juga, 6. Terjadi obstrusi akibat H-1 dan EGF oleh mediator hasil neoplasia)

6. Gambaran Radiografi

- a. Lesi 80% ameloblastoma berfungsi pada region molar-canine 80%. Lesi juga terjadi di molar pada area sekitar ketiga molar ke empat molar.
- b. Tipe ini diprediksi dan terdapat bordir border, batangan melengkung. Pada lesi besar sulit dibedakan dari kista.
- c. Struktur internal: Radiopacity total. Biasanya terdapat septa halus, septa lama form atau melengkung yang bersifat dari tulang normal yang terpercangkap di dalam kista. Karena lesi ini memiliki komponen lama maka septa sering berubah menjadi bentuk yang disebut sebagai "butterfly bone" (seperti kaca besar dengan dua berantakan). Untuknya terdapat berdalam tulang besar pada RI posterior dan lemah di anterior.
- d. Pada tipe chameoplastik, struktur internalnya bisa jadi juga tulang sclerotic yang sangat irregular yang menyebutkan bone dysplasia.
- e. Kita lihat juga adanya resorpsi akar, displacement gigi. Ameloblastoma cenderung mengebutkan obang akar pada ruang mandibula.
- f. Ameloblastoma recurrent: ameloblastoma terlepas dikarenakan pta prosesus operan tidak membentuk seluruh massa, karakteristikya adalah penempelan struktural seperti kista berulang kali dengan sertai tulang yang keras.
- g. Adipose/angiomatoid adalah radiografi ameloblastoma disebut dengan istilah Muir-Dowser CT (MDCT) dimana dapat mengidentifikasi pertongan tulang yang tidak dapat digambarkan CTCT, dan biasa mendapat pertanda pada

- berulang dan sering pada pertengahan hingga Pada jantung remaja, MNC memperlihatkan gambaran yang lebih superfisial (di bawah buku).
- Ma. tidaknya internal septa, ameloblastoma tidak dapat dibedakan dari lesi yang memiliki internal septa seperti neoplasma Odontogenik: Keratinyot, Giant Cell Granuloma, Odontogenik Myxoma, dan Osteifying Fibroma.
 - Pertumbuhan dengan OMC adalah OMC condensing berkaitan dengan tulang tanpa menyeberikan eksposur, Sama dengan granuloma tidak granular atau hanya ill defined septa. Odontogenik myxoma juga memiliki septa bagi septumnya sendiri. Septa pada osteifying fibroma biasanya lebih besar, dilakukan lebih baik dan terbatas terhadapnya.
 - Untuk klarifikasi ameloblastoma berulang bukti yang berilah di sekitar makroskopis dari lesi yang belum diagnozis biasanya tidak dapat dibuktikan dari kiasa deskrisif.
 - DD: OMC, Kista Dentigennus (White dan Pharsach, 2014)

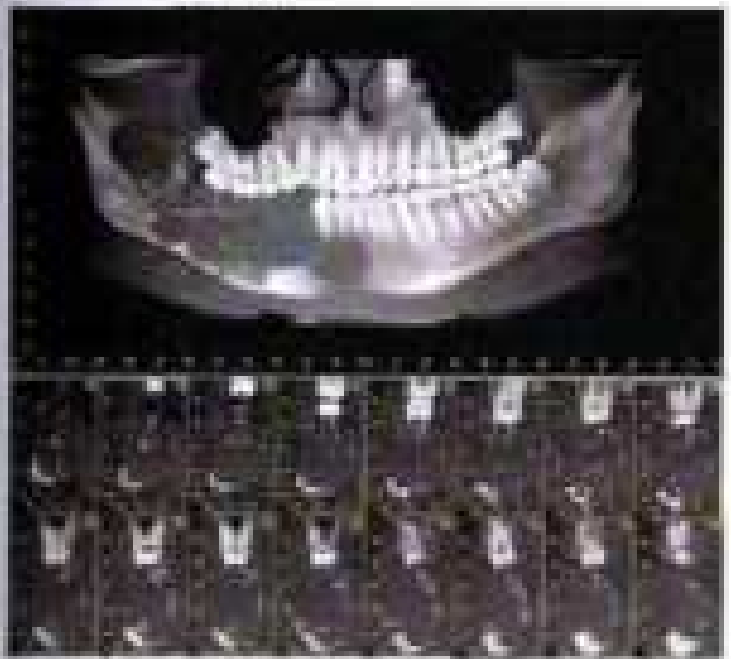
5. Penatalaksanaan

Apartita les berulang bukti ditularkan dengan akut disertai buruan, apabila les unicellular/multicellular ditularkan merupakan dengan follow up bukti bisa juga ditularkan makroskopis dan karena serta hasil operasi (White dan Pharsach, 2014).



Radiografi White dan Pharsach (2014)

Kontrol 8.3: Memperjelas Ameloblastoma Multilocular pada M2 Bawah. Rongga interseptal menyeberikan eksposur multilocular buku (tampak tengah M1 sebagai bukti).



Radiografi Dikembari Pharsach (2014)

Kontrol 8.4: Ameloblastoma Multilocular

4.2.2 Calcifying Fibrohistiocytic Tumor (CFHT)

Nama Latin: Pindborg Tumor; Amorfikisme dengan kalsifikasi pada tulang sumsum.

1. Etiology

CFHT adalah neoplasma yang jarang ditemui (1% dari tumor adenosigenik) tumor ini berkembang di tulang dan memproduksi mineral normal (White dan Pharsak, 2014).

2. Gejala dan Klinis

Tulang laring terjadi pada pasien dengan rata-rata usia pasien dari 6-52 tahun, dengan distribusi rata-rata 43 tahun (usia rata-rata jadi tulang pada pasien dari tulang usia pasien sekitar); CFHT bersifat agresif dibandingkan dengan ameloblastoma. Fisiknya rupa yang merupakan rupa dan mempunyai sel-selnya grisial. Palpasi menunjukkan massa keras. Sering terjadi di ruang premolar mandibular, terutama anterioritas dan terminal dengan jumlah. Tumor ini memproduksi bone matrix tetapi tidak menghasilkan ameloblastoma.

3. Gambaran Histopatologis

CFHT memiliki pola mikroskopis yang baik dengan bukti adanya poligonal besar, terus-menerus sel-sel, meningkatnya mito yang memperkuatkan Keshet atau Osteogenik Tissue (Peter Pindborg), dengan pertumbuhan dan bentuk. Gambaran mikrosi berang dengan simpanan kerahid dan kerokok. Zona basal tanpa membran tanpa lapis. Adalah eksosklerotik yang berasal dari epithel juga bisa dari tumor ini. Persepsi makroskopis antara sel-selnya pasien memperlihatkan bahwa protein kerahid mempunyai komponen penting dari struktur pada tumor ini (Regent et al., 2017).

4. Gambaran Radiografi

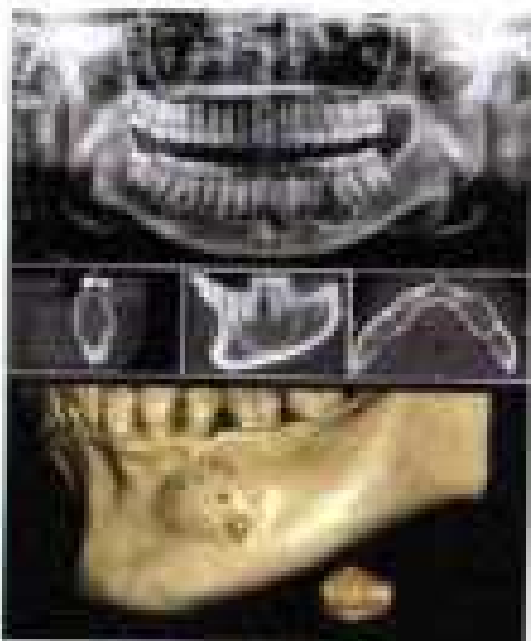
- Lokasi yang paling terjadi di mandibular, daerah premolar-molar, berhubungan L7/L8 dengan gigi (repaid). Bentuknya kerucut atau tulang atau radikalis di sekitar masing gigi yang terpapar.
- Type: Berdasar West-disease dengan ketela seperti kista, pada beberapa kasus dapat irreguler dan diform.
- Bentuknya internal bisa multilokuler-radikal. Dapat mempunyai unilocular atau multilocular dengan adanya dentin, radikalini bisa dengan bentuknya kerucut. Terkadang benteng atau sifon radikalini memperlihatkan gerakan dalam atau saat dengan radiokus di bagiannya. Gerakan radikalini ini dapat dengan makroka gigi yang bertemu, selain itu terkadang terdapat radikalini kerik, tipis, radikalini yang memperlihatkan gerakan radikalini ke berbagai arah.
- Risk pada jaringan tulang: Mendekati gigi yang akan melepas, berhubungan dengan eksposur tulang.
- Oleh: Lari dengan radiokus total pada struktur intervertebra, bisa serta dengan bentuk dentigerous atau ameloblastoma. Lari lari dengan radikalini, misalnya adenomatoid odontogenic tumor, ameloblastik fibro-adenosoma, dan calcifying odontogenic cyst (White dan Pharsak, 2014).



Bukti White dan Pharsal (2014)



Gambar 4.7 Gambaran Pindborg-Tourne Dampak dari mihi Radiopak radikuler yang berkembang dengan gigi yang tidak normal



Bukti Jokinen (2011)

Gambar 4.8 Perektran Pantomik, CBCT dan Periplastik Mammeloklisis Lesi Mihi Radikuler dan radiopak pada Gigi Molar Bahagian Kanan.

6. Periotektomia

Risiko kerusakan sisa gigi dan kerahasiaan.

6.2.2 Ameloblastik Fibroma

Risiko kerusakan sisa gigi dan kerahasiaan, risiko edentogenik besar. Ameloblastik fibroma adalah gangguan sel pembentuk fibroma. Lesi ini merupakan tumor benar, tidak odontogenik (White dan Pharsal, 2014).

7. Histologi

Pertumbuhan epitel odontogenik dan mesenimal. Tissue, dentin, enamel. Gigi berhubungan pada fibroma ini.

8. Gambaran Klinik

Jauh, terjatuh pada usia 3-10 tahun atau ketika usia 14-18 tahun sepanjang periode pertumbuhan gigi. Tidak ada rasa sakit, tambah lambat, mengeluarkan gigi yang berlubang. Perkembangbiakan dan ayru akibat adalah teladan yang umum. Sering terjadi di regi posterior mandibular. Di sini seperti ameloblastoma dan yang membedakannya berjumlah pada perkembangan HPA, pada ameloblastik fibroma ditemukan gambaran jaringan fibrosis (White dan Pharsal, 2014).

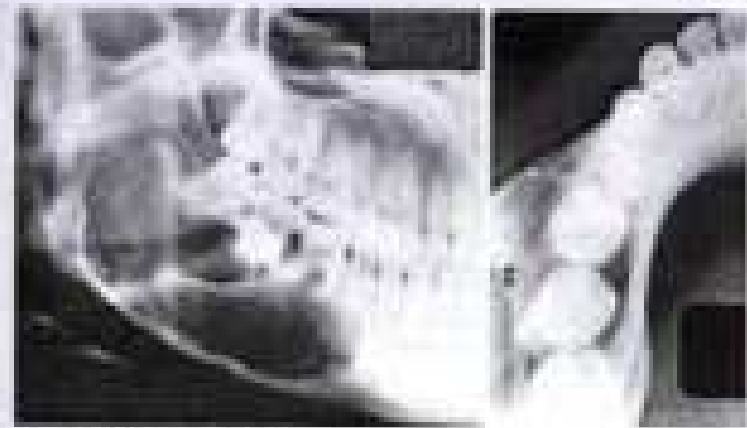
9. Gambaran Histopatologi

Fibroma mesenikal terdiri dari campuran sel-sel epitel odontogenik dan mesenimal. Komponen dominan merupakan populasi gigi dari organ gigi yang sedang berkembang dan dibentuk oleh sel-sel fibroblast yang tidak pengaruh di dalam latar belakang sendi kolagen tulus dan sel-sel seluruh tubuh. Terdapat dalam matik fibromialik ini adalah kabel tipik epitel odontogenik berbagi ganda yang mengandung basina gigi enzimatik. Kuning-kuning, mawar atau pada epitel yang lebih besar

lengket sel hidroksitik pada dasar jaringan sejajar membran pulpa, memungkinkan pada akhirnya terjadi infiltrasi limfositik dan makrofagik yang terjadi di seluruh lapisan epithel, spongia, dan ada pembentukan jaringan kerangka (White dan Pharoah, 2014).

a. Gambaran Radiografi

- a. Lubang Area Periodontal multilocular: lubang ini merupakan ciri khas dari area periodontal multilocular yang berhubungan dengan infeksi gigi yang tidak sempurna (pada akhir gigi). Biasanya juga material pada gigi yang gagal berkembang.
- b. Tegak dan alifined dan vertikaled, menjepit dengan krim.
- c. Struktur internal: Unikuler (radioluwus total) dapat juga multilocular dengan ruang-ruang yang tidak jelas.
- d. RHC pada jaringan sejajar: jika benar dapat mengeluskan strukturnya tidak akan menimbulkan kerusakan tulang, dapat mengambang ruas dan meninggalkan gigi ke arah.
- e. DCR turun ke dalam tulang sama dengan ikatan dentigerum. Marip juga dengan anerolitotoma, namun anerolitotoma fibrosis terjadi pada otak yang tidak, marip pada anerolitotoma lebih jelas. Tumor yang multilocular juga kurang sama dengan girosi dan Granuloma, namun girosi cell granulosa memiliki epitelial lapisan sel-sel pada nalar pertama parion tulang, dan sejauh tidak bergraula dan difokal. Di samping itu marip juga multilocular, meski biasanya, tanpa ruang sejajar yang berkomunikasi (White dan Pharoah, 2014).



Sumber: White dan Pharoah (2014)

Kontoh 4.9 Radiografi dengan Aspirasi: Fibrosis pada Ruang Multilocular dan Radioluwus Multilocular



Sumber: White dan Pharoah (2014)

Kontoh 4.10 Aspirasi dan Fibrosis (dapat menyebabkan radioluwus di area gigi sejajar yang telah erupsi (marip))



Bentuk kerusakan Fleisch (2019)

Gambar 4.11: Gejala Anelastik Fibro-adenoma sebagai Perubahan histologis yang Terjadi di antara Folikel Gigi Molar Pertama dan Folikel yang Impak.

5. Penyakit

Bentuk seperti anelastik fibroma.

6. Perubahan

Apolite ini berukuran besar dikelilingi bagian akar dentin lumen, apolite ini unilateral/multilateral dikaitkan korrespondens dengan folikel yg besar, bisa juga dikaitkan dengan kerusakan serta model segmenal (Hupp et al., 2019).

4.2.4. Anelastik Fibro-adenoma

Anelastik fibro-adenoma adalah satu bentuk dengan sel-sel anelastik fibroma, tetapi dengan gejalaan "cluster of small nodules".

1. Gejala

Bentuk terjadi pada usia 8-12 tahun dengan pertumbuhan akar tidak seproportional. Misalnya seproportional dan

lebih besar atau seproportional dengan gigi berhubungan dengan gigi yang atau impak atau yang gagal muncul. Misalnya misal muncul pada dentin atau berhubungan dengan folikel gigi yang tidak muncul pada waktu yang sama dengan aderma dan anelastik fibroma.

2. Gejala

Bentuk gejalaan folikel-gigii hyperplasia. Fragmen folikel gigi menghilang zig yang tidak strip dan fiber-elasticum anelastik menjadi jaringan yang lebih keras yang menyebabkan kerusakan lumen. Perbedaan antara anelastikfibroma dan anelastik fibro-adenoma dapat dilihat oleh adanya jaringan radikalikular dan dentin serta enamel pada yang terakhir (Chowdhury, 2017).

3. Gejala

a. Lumen: Terjadi pada area posterior mandibular. Epitelis ini terdiri pada dilatasi gigi yang berhubungan.

b. Tipe: Well-defined dan varikated.

Struktur internal: Bisa dengan relogen fiksasi radikalikum. Lewi ketul dapat muncul dan memperlebar folikel. Lewi bujur terdapat hadapan pada struktur internanya, bisa hidrolikus berbentuk bulat dengan gejalaan radikalikus eksapertus namun, memperoleh gejalaan seperti dentin dari haloper tanpa seperti gigi yang mengalami deformitas. Paling sering berhubungan dengan aplasia pulpa.

c. Jika tidak terdapat haloper, maka ini tidak dapat dibedakan dengan anelastik fibroma.

Dengan aderma juga agak sulit dibedakan, namun perbedaanya anelastik fibro-adenoma memiliki komponen jaringan lumen lebih banyak (radikalikum) dibanding aderma. Anelastik fibro-adenoma

Periferik breitkernig zellulär, unregelmäßig zellulär
Kernkörperchen



Buster White der Phasen (2014)

Gambar 4.12 Radicograf Ponsosik Axonotmisis Fibra Defektus
Bentuk pada mikroskop dan under klorin sebenar dan
terdapat bentuk difusi dan radikal (2 bentuk
radikal bentuk yang ditandai parak)



Buster White der Phasen (2014)

Gambar 4.13 Herprojeksiyon Radicograf Ponsosik dimana Terdapat
Lewy Kystikum atau definisi dengan Sekitar Scattered
Radicograf

Pertama Diagnosa les ganglion



Buster White der Phasen (2014)

Gambar 4.14 Radicograf Ponsosik Herprojeksiyon dan tinggi
ganglion Radicograf



Buster White der Phasen (2014)

Gambar 4.15 Radicograf CHCT Herprojeksiyon Ganglion Tercetus dari
Gigj Motor Portasik dan Koda (lunata terdapat
radiograf dengan densitas senar tungku gigi)

4.2.5 Adenomatoid Omentogenik Tumor (AOT)

Nama lain: Adenoproliferasi dan sekretansi adenomatoid tumor

Adenomatoid adalah gejala jaringan fibromatik,
menyerupai tumor nonaggressif dari epitel adenomatous
Wangianan struma jantung. Bisa juga terjadi pada kelenjar

Central Tumor (Bergi terjadi 2 pada jalinan gigi (jaringan berhubungan dengan mukosa dan impak) dan tipe oblong/elliptic (jaringan tanpa pasi impak)). Sedangkan 17% adalah tipe jalinan (White dan Pharoah, 2014).

2. Gambaran Klinis

Terjadi pada rentang usia 5-50 tahun; terjadi pada dekade ke dua, rata-rata 16 tahun dengan prevalensi terhadap terjadinya pada anterior maxilla. Tumor lebih banyak terjadi pada jalinan. Terdiri dari buah lampu, terdapat pembentukan tulang atau non-sari, serta berhubungan dengan gigi hilang. Bisa diakomodasi, menyebabkan ekspansi tulang kortikal sehingga pada polipos terasa berat, dengan/tanpa rasa nyeri. biasanya tidak ada keterikatan gigi tetapi kadang-kadang, dan sering terjadi misi diagnosis dengan lista distigerous (White dan Pharoah, 2014).

3. Gambaran Histopatolog

Proliferasi epitel intraduktal berasal dari sel polihedral tinggi sel spesial. Polipos biasanya lobular, makroskopis kelengkong atau menghitam menunjukkan penutupan synecchia dari sel. Rantai dan kerutan mungkin dilihat dari epitel intraduktal dan makrofikasi lesi bisa mikroskopis yang biasa. Polipos akan peroxidase-Schiff (PAS)-positif terdapat di sekitar lesi. Jelaskan bahwa bisa terdapat dari fosfor-ki67 meningkatkan bagianan lesi normal secara radiografi (Regan et al., 2017).

4. Gambaran Radiografi

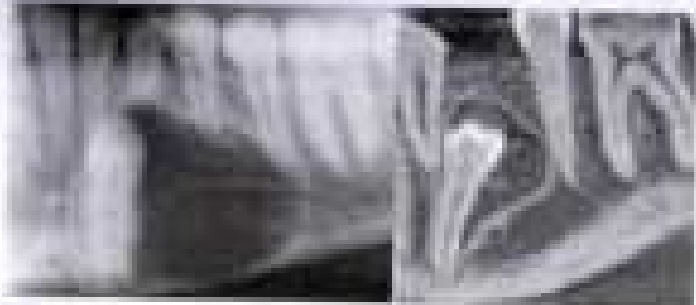
- a. SB: strukturnya sama lith buah lampu pada maxilla. Tumor ini berhubungan dengan folikel gigi yang terplesi. Tidak menempati buaya pada CBCT tapi memungkinkan sebagai buaya gigi, polip terlihat menyediakan Cisticus.

- b. Lekuk: 70% terjadi di maxilla, atau nasal, canthus, premolar RA.
- c. Tipe: Maxi-ellipsoid dengan cortical border.
- d. Serebrum Interna: Tumor memiliki sebatasnya, Terdapat radikalik. Bisa Terdapat glomerulus "a cluster of a small problem"
- e. Bisa pada jaringan sekitar: Peninggaman gigi yang berdebuhan, tanpa terjadi resorpsi, beberapa ekspansi tulang bisa terjadi, tidak berdapat berpasokan sanguine.
- f. DD: jika lesi tanpa cisti dalamnya dan berhubungan dengan gigi terplesi, maka akan sangat dibedakan dengan lesi follicular atau periferical odontogenic keratose. Jika terdapat kisti (kisti-pasta) maka bisa dibandingkan dengan calcifying odontogenic cyst. Ameliomatous fibroblastoma dan GCT, Nasal Ameloblastic fibroblastoma dan GCTG merupakan terjadi pada genetik mendekati (White dan Pharoah, 2014).



Sumber: White dan Pharoah (2014)

Gambar 4.31. Radiografi buku dan menunjukkan ademiasitas adontogenik tumor (tampak sejumlah kisti/kisti, beberapa intraduktal kistik "apple-like shape")



Balooch dan Pashai (2014)

Gambar 4.17 Radiografi menunjukkan ademiasitas osteosarcoma. Tumor di mandibular (dengan tanda khasik pada gigi depan, dan tumor pada molar pertama dengan klasifikasi "posterior like" pada distal premolar).

4.2.6 Osteosarcoma Myxoma

Myxoma epifisis, chondroblastik, dan fibromatosa.

Osteosarcoma Myxoma jarang ditemui, merupakan neoplasma jadi antikanker. Myxoma tidak memiliki kapasit air yang besar berdiferensi ke tulang, tapi tidak hermetik. Di bawah mikroskop, myxoma memiliki karakteristik seperti gelatin, sama seperti jaringan miokita yang terikatnya pada tulang besar (White dan Pharsali, 2014).

5. Gambaran Klinis

Sering terjadi pada usia antara 10-30 tahun, atau seorang, tidak ada rasa sakit, terjadi peradangan akut, raga-kakak-hilang 25%. Tengah kapasitas yang beruk pada tumor, batas tidak jelas, dan pertumbuhan jaringan keras (seperti jelly) ke dalam molekul atau menyebabkan adanya abses atau peritonitis (White dan Pharsali, 2014).

6. Gambaran Radiografis

Teknik gambaran sel-sel keramik aktif (tulang) yang berada dalam bagian tulang yang penuh fibrillar yang berfungsi dalam melindungi pasien tulang dan tulang. Sering untuk misi operasi interagenik yang terjadi, ada perdarahan, dan akhirnya, ada molekul tulang terbentuk. Myxoma interagenik adalah diagnosis definitif (Sugiharto et al., 2014).

Teknik ini terdiri dari serpihan dan representasi yang berada dan relatif analisis. Filteran dan mikrofotografi dengan jalinan tulang yang bervariasi disertai dalam struktur makropoliurik. Pada-pada tulang, memiliki teksura rendah, dan batas disertai kerusakan di sekitarnya. Myxoma makropoliurik memiliki tingkat pertumbuhan rendah. Kelenjar parafolikular yang relatif besar terbentuk, tetapi adenomatus makropoliurik dapat digunakan (White dan Pharsali, 2014).

7. Gambaran Radiografis

- a. Letak: Letak tulang yang terjadi di mandibular dengan kapsul (3/3). Pada mandibular, tulang terjadi pada regio premolar dan molar, tulang pada rumah dan kerahita. Myxoma pada tulang atau membran. Prosesus alveolar diarahkan premolar, tulang, prosesus regresius.
- b. Tipe: Well defined, termasuk jelas-jelas definisi neoplasma dan pada manusia.
- c. Strukturn: Batas. Jika terjadi di peritoneal dan kapasitas, maka ini dapat menyerupai kista, arteri arteri, atau radikal radikal. Tampak nodulus tulang yang terperangkap di dalam tulang membedakan gambaran makropoliurik atau septum. Kompleksitas

seperti ini adalah batu nigris, diketahui juga dengan "benign cartilagous" tumor pada hidungnya, adalah massa eksophitik, berupa pinggang tulang atau pada septa nosebridge/saris, massa dengan penutupan luka atau luka septa lama dapat membentuk mengidentifikasi tumor ini.

- a. Batu pada arteri arteri: jika tumbuh pada arteri gigi, massa dapat menekan gigi namun jaringan menyediakan ruang. Lalu arting massa pada garis "septum" pada arteri gigi sehingga tampak seperti buaya.
- b. Penetrasi Tumor pada CT dan MRI dapat menunjukkan hipointensitas bahan benar.
- c. DOK: Asplenialisme, namun asplenialisme memiliki massa sejuta.



Bentuk White dan Pharsah (2014)

Gambar 4.19: Masyajidah Persepsi Radiografi Pantomik (masa Tulang Septa yang Sudah Dilepaskan dengan Resektasi)



Bentuk White dan Pharsah (2014)

Gambar 4.19 Gembalan Straight Septa pada Osteogenetic Hypoplasia

4. Penatalaksanaan

4.2.1 Operasi

4.2.2 Nonoperasi

Basis Ima: Rekonstruksi

Mengupas tumor yang berasal dari jaringan kartilaginosa, operasi dari Schenck's yang membangun massa tipe (White dan Pharsah, 2014).

5. Gejala Klinik

Tumbuh lambat, pada sekitar satu (bagi pasien yang pertumbuhan selama 2 atau 3) kaliannya pada batas-batas pada jaringan, memilihkan ruang hidung. Gejala yang terjadi meliputi hidung tersumbat, parantena, nyeri (White dan Pharsah, 2014).

6. Gambaran Radiografi

- a. Lobok: Lobok sering pada mandibular, namun heterotopik dapat pada nasal nervus alveolar inferior sebagai titik pusatnya massa.
- b. Tepi: well-defined, cervical.

- Deforasi akibat radikulitis, ketika lesi mengakibatkan radikulitis maka akan menyebabkan ganglion yang tidak lagi multifokal.
- Oblit pada jaringan sejajar pada lesi mencapai kerusakan vertebral dapat menyebabkan patahan kerucut, ketika tidak dapat karena new growing, lesi yang melihatnya menyebabkan rongga yang gagal terisi.
- DD: kerita mengering causa multifokal dan lesi vertebral, maka hasil dilakukan dari bursa gerak atau articularis sindia (White dan Pharoah, 2014).



Sumber: White dan Pharoah (2014)

Gambar 4.20 Radiografi Pemeriksaan Memperlihatkan Destruktivitas yang Memperlihatkan Causa Alleviating dari Manifestasi ke Mental Personas.

4.2.8 Neuritis

Neruosis: Angustation neurologica et traumatica externa

Neuritis buku (neuritis compresse) merupakan komplikasi pertumbuhan berlebih dari jaringan saraf yang terputus, bersifat entik bergerak dan memiliki ciri-ciri jaringan saraf yang melahirkan sel saraf putih. Akutanya saraf berfungsi mempertahankan simpatik saraf yang tidak teratur (disturbans) akhir jaringan saraf periferik, sel Schwann, jaringan saraf/saraf. Komplikasi saraf bisa terjadi karena akibat mekanik (trauma, infeksi, pembentukan angioma), infeksi virus endotelial, infeksi akar gigi (White dan Pharoah, 2014).

4.2.9 Ganglion Kiliaris

New growing, multil, jaringan mesofil besar, jarak antarbuli 1 cm, memperlihatkan kerugian pada kerata apap turut aktif tulang lembut yang menutupi mesofil. Pada saat disekretarisca sebagian, dengan rongga pada mata, ujung dan tepi (White dan Pharoah, 2014).

Ganglion Radiografe

- Lokasi: frontal/superior, anterior/mesial, posterior/inferior
- Type: well-defined, circumscribed borders
- Struktur internal: totally radiolucent
- Oblit pada jaringan sejajar: simpatis causa obliteratio arteriae
- DD: Tumor sarofilia (White dan Pharoah, 2014).

4.2.9 Neurofibromatosis

Histologi: Neurofibroma

Neurofibromatosis adalah benign tumor dengan ketebalan yang tidak, yang dilakukan karena proliferasi sel Schwannia. Neurofibromatosis berkaitan dengan menggunakan proses meningkatkan massa bersama dengan meningkatkan asam (White dan Pharoah, 2014).

4.2.10 Ganglion Kiliaris

Sama dengan lesi yang berfungsi pada sel Schwannian's disease. Neurofibromatosis dapat terjadi pada sel saraf sensorik tetapi bisa menjadi pada sel saraf motorik. Neurofibromatosis yang berfungsi dengan causalis multifokal bisa memperlakukan perluasan dan perluasan karsik, menyebabkan pertumbuhan sarafnya tidak dihalangi (White dan Pharoah, 2014).

3. Gantulan Radiografi

- Lokasi: Cakar mandibular, tulang maxilla, di bawah gerahmas.
- Tipe: anteroposterior/turbinus (biasa, vertikal).
- Interval: Sistemik. Mandibular, maxilla, sebaliknya maksilla dapat menutupi mandibular, bukti radiografi.
- Bisa pada jaringan aktif: Pektoralis cakar mandibular.
- DID: Lasi oral biasa, suster yang membedakan terutama menjelaskan perbedaan suster yang berhubungan dengan laju pertumbuhan dan preferensi sebarluas kawasan dan tingkah laku mereka.



Sumber: White dan Pharoel (2011)

Gambar 4.21 Potongan Radiografi Pekerjaan dari Neuronthrombus (neuronejektan) mandibular difokus pada mandibular superior pada cakar cakar mandibular, terdapat bentukkan radiografi pada tulang yang mengejek pada cakar.

4.2.10 Radiografi mandibula

Nama lain: Van Beekingshausen's disease

1. Klinologi

Hemiparesis bilateral genitofik yang paling umum.

2. Gantulan Klinis

Hemiparesis total monoton yang terdiri dari gantulan "soft as hair" pada kulit, kelembaga tulang dan dan kelembaga ekstremitas pada tulang, saraf, tulang, organ endokrin, dan pembulih darah (White dan Pharoel, 2001-4).

3. Gantulan Radiografi

Pembulih tulang mandibular, di antaranya adalah kerakatan cementum tulang, pertulisan tulang mandibular pada pasang-pasan tulang mandibular, pertulisan tulang mandibular mengalih mandibular dapat meningkat pada dekade ketiga. Pertulisan tulang mandibular biasa pada tulang mandibular dan foramen mental (White dan Pharoel, 201-4).



Sumber: White dan Pharoel (2011)

Gambar 4.22 Radiografi Pekerjaan Memperbaikan Pektoralis Geronai Ambang teluk Kiri, Pektoralis Pektoralis Mandibular, dan Mandibular (cakar Molar Pektoralis dan Rikus).

4.2.1.1 Central Hemangioma

Hemangioma adalah proliferasi pembuluh darah yang menghasilkan massa yang terlihat seperti neoplasma. Hemangioma dapat terjadi di mana saja tapi paling sering terjadi di tulang dan jaringan subkutan. Tipe hemangioma paling sering ditemui pada tulang belakang dan tengkorak, jaringan ditemui di seluruh badan kecuali kerongkongan (White dan Pharsak, 2014).

1. Gejalaan Klinik

Hemangioma paling sering terjadi pada wanita dengan rasio 2:1. Terjadi terjadi pada dekade pertama. Peningkatan lambat, menghasilkan ekspansi langsung tanpa sakit yang berjalan antara beberapa bulan atau tahun. Perkembangan bisa disertai rasa sakit akibat tekanan hidup. Lesi menghasilkan nyeri dan lemah gigi. Nyeri juga terjadi pada gigi, gigi mungkin akan melepas, yaitu berlakukannya kerokan pada akar atau berlakukannya kerontokan akar. Lesi ini mungkin juga menyebabkan infeksi gigi. Dapat Lesi radikuler (White dan Pharsak, 2014).

2. Gejalaan Radiografi

- Lubang Mandibular lebih banyak daripada normal. Pada mandibular sering terjadi pada daerah posterior dan lateral, juga di dalam sinus alveolaris inferior.
- Tipe Wolf-almond dan erositoid. Dapat mengalami difusi pada keratinisasi menjadi tumor paru. Terdapat kerontokan sinus spiralis/buriti gigi apparatus, jika hemangioma merupakan kerita dan membran peritoneum.
- Sinusitis internal jika terdapat sinus tulang yang terjebak di sekitar pembuluh darah, maka akan menghasilkan lesi multikular. Internal trabekula dapat menyebabkan penurunan fungsi tulang (Bis et al,

pada tulang multikular tidak akan terjadi penurunan fungsi tulangnya saat tanggul molar belum mati. Kerontokan memungkinkan infiltrasi jaringan basik, maka akan terjadi pembuluh (pewakilan kanker yang ditemui pada sinus atau pembuluh darah lain).

- Flok pada jaringan sekitar: Akar gigi pada region sel molar dapat terrobock atau berlakuk (White dan Pharsak, 2014).

3. Gejalaan Histopatologi

Hemangioma tulang merupakan proliferasi pembuluh darah. Klasifikasi hemangioma sedang: adalah tipe kavernosa (pembuluh darah besar), dan tipe kapilar (pembuluh darah kecil) berlakuk jaringan terjebak (Bergen et al, 2017).



Sumber: White dan Pharsak (2014)

Kesimpulan: Radiografi dilakukan hemangioma (dengan operasi paru yang dilakukan di pengobatan sarcoma).



Sumber: White dan Pharsal (2014)

Grafik 4.24 Merosotahan Hemangioma pada Anterior Mandibula (dengan pola trabekula ikiruk)



Sumber: White dan Pharsal (2014)

Grafik 4.25 Radiografi Pemeriksaan Palatalus abnormal dari Candi, Alisately, Sorektor, Jaka Tengah, dan juga Pemeriksaan Palatalus Mandibula



Sumber: White dan Pharsal (2014)

Grafik 4.26 Hemangioma ada jaringan keras dengan Adanya Flektoza (Panah)

BAB 5

TUMOR GANAS



5.1 Tumor Ganas

Tumor ganas (malignoma malignus) merupakan pertumbuhan jaringan yang tidak terkontrol. Berbeda dengan neoplasma良性, tumor ganas memiliki sifat singulis metastasis adalah yang lebih besar, dan memiliki kerusakan seluruh kerusakan seluruh organ dan keberadaan gejala bening atau jadi berakibat buruk. Kanker dapat disebabkan oleh virus, papirus radikal yang signifikan, radiasi genetik, atau paparan bahan kimia karsinogenik. Meskipun menggunakan teknologi sangat berkait dengan kerusakan normal.



Sumber: White dan Pharoah (2014)

Gambar 5.1. Radiografi Kel. Gores (Streptococcus Mutans). (A) Rongga yang tidak jelas dari kerusakan dengan destruktif tulang. (B) Destruktif tulang bukti (destruktif sekitar pusat mutasi). (C) Rongga rongga mengering yang periferial menyebabkan pertumbuhan pada kerusakan periodontal. (D) Lekuk bukti bukti pada kerusakan populasi tipi dari akibat pada bukti bukti bukti kerusakan tulang, sebaliknya, endodontic triangle, rongga apposition. (E) Destruktif tulang di sekitar gigi.

Ragutan yang biasanya berjatuhan memangnya rongga atau menjadi rusak kategori: (1) kerusakan (kerusakan dari jaringan organik), (2) kerusakan dari bahan yang takik, (3) kerusakan (kerusakan dari jaringan nonorganik) dan (4) kerusakan dari sistem kerusakan. Dari segi kategori kerusakan selanjutnya yang paling sering ditemui dalam praktik odontologi.

I. Gejala Klinik

Gigi asini, gigi gajang, rasa sakit, lymphadenopathy, weight loss, dysuria, dysphagia, dysphonia, peritonitis, nyeri, periholekrosis yang repeat. Sebagian besar terjadi pada usia lebih dari 50 tahun, namun dapat juga terjadi pada negara-negara dan jenis kelamin.

II. Gejala Radiografi

Radiografi/potret rana diagnostic memiliki dalam penentuan diagnosis dan rasio. Investigasi radiologi yang dapat memberikan akhir bukti atau ahli radiologi mewantah pengetahuan rumit teknis akademis sehingga berjatuhan dalam menentukan rasio/rasanya. Penilaian radiologi dapat memperhatikan adanya kerusakan massa dan formasi jaringan tulang, memperhatikan tempat lokasi yang dapat, dan memperhatikan relasi antara massa dan formasi tulang/gigi secara teknis dan penilaian hasil pengobatan/terapi.

Berbagai modalitas potret rana diagnostic memiliki teknik rendahnya dalam diagnosis. Gambar rancangan membutuhkan teknik gambar teknik dan menggunakan jarak, seperti pelajaran yang tidak berlaku pada membran periodontal. Radiografi pemotretan membutuhkan keseksamaan pada teknik struktural dan dapat menggunakan teknik yang relevan, seperti membran buku batas atau membran. Gigi Buaya Computed Tomographic (CBCT) atau gambar CT multi-slice (MDCT) dapat memperbaiki analisis tiga dimensi yang separasi dari struktur sinus dan lapisan tulang dalam menentukan posisi dan kesehatan. Pemotretan tomografi (PET), imaging adalah teknik yang memperbaiki teknik sinar-X untuk mendekati rasio jalin. MDCT berfungsi untuk menentukan lokasi yang akurat dalam periklanan tempat yang dapat untuk radioterapi. MDCT memperbaiki gambaran tipi dimensi dan jaringan massa dan informasi mengenai periferial, jaringan keras dan kerelabilitan teknologi gerak bering.

Gomphus pulleyi nov. etat White dan Phamah (2014)

a. Lokasi:

Tumor ganas primer dan metastatis dapat terjadi di strukturna di tulang hidung dan maksilarial. Karzinoma lebih banyak terdapat di hidung, clavis nasal, sinus, polosus nasi, atau gengiva. Sarcoma lebih sering terjadi pada maksilarial dan di daerah posterior. Tumor metastatis paling umum di lokasi di maksilarial posterior dan nasala. Perkembangannya melalui pembahaman di antara gigi atau di tulang gigi yang sedang berkembang.

b. Tipe dan bentuk:

Pembesaran khas dari gigi dan (odontoid) lesi biasanya adalah di akar, dengan kerangka berpasangan di titik ada kepadatan (seperti bentuk atau penggarisan radiksional).

Bentuknya berupa bentuk kartu yang berhubungan dengan massa keragaman buah yang berstrukturnya, maka bentuknya bisa adalah buah lempeng, buah buangan, buah buangan tiga buah atau sebagainya. Bentuknya juga bisa pada rongga anatomica tidak teratur/kirugikan.

c. Struktur internal:

Karzin selbagian besar merupakan tidak simetris di tulang hidung dan tidak memungkinkan untuk penentuan tulang apakah internal berfungsi normal. Terhadapnya bisa pada tulang normal, menghasilkan pola patchy destruction dengan beberapa pencampuran struktur osseous internal. Selanjutnya tumor seperti metastasis primitif atau periferia, dapat menyebabkan pembentukan tumor tulang menghasilkan peningkatan tulang sekitarnya

yang akhirnya meningkat yang berakibat membentuk tuberkel, sinusa, meningkatnya tulang sekitarnya dengan peningkatan vaskular.

d. Efek pada struktur terdekat:

Ruangana berakibat merusak dengan cepat. Efek pada struktur terdekat mencakupkan keluar dari ruang ini. Tulang hidung atau kista yang bambuk lembut dapat mempengaruhi atau gigi atau menggerakkan gigi untuk fleksi tulang yang meliputi gigi gengiva. Selanjutnya lesi pada bambuk dapat leci pada osseous menghasilkan tulang sifilis sebagai gigi yang mengalami penghalang.

Karzinoma sering kali menyerang tulang osseous akar (lebih sering terjadi pada maksilar dan maksilar superior), rotula, tulang trabekular internal, tetapi berikut seperti sinus maxilla, maxilla alveolar, dan keratina.

e. Tumor ganas mengalih fungsi tulang dengan reguler dan berakibat melahirkan tulang abnormal, seperti trabekula atau sinusosa, atau melalui membangun pertumbuhan di sekitar gigi, sehingga menyebabkan formasi tulang baru. Lesi juga dapat menyebabkan melahirkan sinusosa inferior, dan menyebabkan peluhutan pada carpal tarsal. Biasanya tidak ada tanda peradangan yang terjadi kecuali tumor tersebut berada di tulang, namun beberapa tumor mungkin menyebabkan peradangan tulang peradangan hidung.

f. Lesi seperti osteosarcoma dan lesi prosstat metastatis dan tumor lain dapat menyebabkan pertumbuhan epifisis tulang yang tipis dan lemah, memberikan peningkatan hair-line dan atau pertumbuhan "maksimal".

Bisa memiliki mitosider pada benj. maka tulang akan memperoleh peningkatan mineral.

- i. Perbedaan Tumor Malignant dan Benign Tumor:
 - * Benign Tumor: tumor ejemknasional, slow growing, jarang terjadi metastasis.
 - * Malignant Tumor:肿瘤: tumor secara cepat dan infiltrative, batu tidak jelas dan sering terjadi metastasis ke organ seperti kelenjar lunak, paru, tulang dan jaringan lain.

3.2 Karsinoma

3.2.1 Squamous Cell Carcinoma Arising In Soft Tissue

Pada Sari: Epithelial Origin.

Karsinoma sel skuamosa adalah neoplasia yang paling umum, dapat dilihat sebagai tumor ganas yang berasal dari epitel. Pada tulang kepala dan mandibula di antaranya adalah memperkuat dan pertumbuhan seluler. Namun Papilloma atau juga sebagai penyebab dari lesi nasal dan tulah (White dan Pharaoh, 2014).

1. Gejalaan Klinik

Karsinoma sel skuamosa normal memiliki mitosider benj. pada osseous (tulang-kadang komposit), terdapat rongga vertebral, dan kervikositas. Gejalaan klinik tulangnya termasuk rasa jenggot benak, peristolea, anestesi, disentri, nyeri benj. pada tulang, friksi, gigi gencang, atau perdarahan. Lesi besar dapat menghalangi jalur napas, pernafasan tulang mandibula (menyebabkan gading-gigai berkarang), atau transfering. Papilloma sering meliparkan pertumbuhan benj. tulang yang signifikan dan mencapai total

total. Tulang-benj. lebih sering terjadi daripada pervertebra, tulang tulang bersifat fatal jika tidak diobati. Sebagian besar sekitar 50% karsinoma sel skuamosa terjadi pada usia lebih dari 50 tahun.

2. Gambaran Histopatologi

Jelurik mikroskopis tertutup sel-sel yang berulir ke dalam jaringan ikat, pertumbuhan sel-selnya ke dalam jaringan ikat yang tidak dalam dan kadang-kadang ke tulang yang berulir. Sel-selnya sel-sel yang jadi, seperti pertumbuhan, dan tulang berulirnya juga yang jadi, seperti pertumbuhan, dan tulang (Kumar dan Fauci, 2012).

3. Gambaran Radiografi

- a. Lesi: Karsinoma sel skuamosa membentuk infiltrasi batu lateral tulah. Lesi pada tulah dan osseous dapat menjangkau ke BM anterior.
- b. Tipe dan Bentuk: Radikulum ill-defined, border semicirkuler. Sekoplik pertumbuhan sampai well-defined. Lesi batu memiliki batu yang tidak jelas dengan zona transisi yang bias dengan gejalaan yang sama seperti tulang di sekitarnya.
- c. Struktur internal: Strukturnya internal berulir atau thalamic-pada tulang adalah tulang-kelihatan ulirulnya strukturnya tulang dapat tulang ulirulnya. Terkadang terdapat ruang atau pulu tulang yang kelihatan dari strukturnya normal.
- d. Gigi pada ekstremitas ulirulnya. Karakter ulirulnya ini ini tulang di sekitarnya gigi molar terjadi perkembangan metastasis pertumbuhan dan tulangnya benak tulang. Gigi dapat terikat fleks/mekayang pada massa radikulum jenggot benak. Tumor dapat membah di seiringannya memiliki pembuluh dan jalinan ikatnya tetangga

- infiltrasi periferikus causa dan klenggut serupa. Tumor juga bisa menghimpulkan dasar tulang dan sinus serebrum, jika tumor meluas maka formasi sinapitik dapat mengalir, dan menjadi struktur patologis.
- a. DD: Karsinoma sel skuamosa dapat diidentifikasi dengan kejadian benjolan pada kulit atau histologi. Terkadang sulit untuk membedakan benjolan segmen sebagian besar dengan karsinoma sel skuamosa, sehingga benjolan tumor telah terinfeksi bakteri. Difungsikan oleh karsinoma sel skuamosa pada-kutan benjolan, meningkatkan pola tulang sekitarnya yang benjolan tersebut agaknya (bukan kerusakan tulang yang memadai atau kerusakan tulang invasi metastasis untuk mengidentifikasi sel-sel kejadian benjolan mutu infeksi turut di dalam tumor. Dimana akhirnya meningkatkan resesi periferik, refleksikus segmen-tumur sel karsinoma tidak. Dalam kasus metastasis sepihak, di mana pola relatif irreguler kejadian sebagiannya tulang periferik tidak ada. Jika terdapat kerusakan sinus, maka difiksikasi pencitraan yang lebih canggih dan dapat [White dan Pharaoh, 2011].



Bukti: White dan Pharaoh (2011).

Catatan 5.2 Radiografi Segmen-tumur Sel Karsinoma yang Mengindikasikan Kerusakan Tulang Segmen (a) gambar radiografi akibat pada dasar sinus maxilla tidak rata. B. tulang periferik yang tidak rata di sekitar gigi tidak simetris)



Bukti: White dan Pharaoh (2011).

Catatan 5.3 Radiografi Pemeriksaan Mengindikasikan Kegagalan Sel Karsinoma yang Mengindikasikan Kerusakan Periferik dan Dasar Jalinan (anggap bahwa jaringan benjolan (ponsab), gigi tulang dan sinus yang mengalami kerusakan)

5.2.2 Sifat-sifat Ciri-Ciri dan Dignitas Tingginya Kanker

Massa kanker bukanlah sel abnormal yang berasal dari sel-sel normal karionik intrinsik primer, teradakoderik carcinoma, primary intraductal apocrine carcinoma, primary epithelial tumor of the jaw, central squamous cell carcinoma, primary adenosquamous carcinoma, mesenchymaloid carcinoma, central mesothelial carcinoma.

Primary carcinoma keratin adalah karsinoma sel abnormal yang tidak datar ukuran yang tidak berhubungan dengan pertumbuhan sel-sel makro seluler. Primary carcinoma ditulsi berasal dari sel-sel intrinsik yang adenosquamous. Karsinoma dari epitel, tidak adenosquamous, atau mesothelial (White dan Pharsah, 2014).

1. Gejala-gejala Klinis

Komplikasi sel yang terjadi, tidak terbatas secara akhir sampai mencapai ukuran besar. Rasa sakit, rasa panas, rasa pusing, dan kelainan oral seperti peradangan telur dan kelenjar getah bening dapat terjadi. Tumor sel tidak sering terjadi pada pria dari pada perempuan wanita (White dan Pharsah, 2014).

2. Gejala-gejala Radiografi

- Lokasi:** Mandibular lebih banyak terdapat daripada maksilla, dengan sebagian besar massa di sisi yang anterior. Lebih jauh pada sebagian anterior mulut. Karena itu berhubungan dengan situs-situs lansung gigi.
- Tipe dan bentuk:** Batas tajam dari sebagian besar benar adalah well-defined, memperlihatkan beberapa bagian dengan tajam yang well-defined. Tapi sering berbentuk bulat atau tidak teratur dan memiliki tajam yang menunjukkan adanya destruksi tulang dan bentuk pertumbuhan yang berbeda-beda pada batas tajamnya. Jika

benar benar dapat menyebabkan fraktur tulang mengakibatkan tulang berlubang dan adanya massa jaringan benak.

- Struktur dentin:** radiokus Total bisa baik, plus halus dan lengkap dapat memperlihatkan bagian yang masih trabekula.
- Batu pada jaringan sekunder:** Lasi memperlihatkan kerusakan pada sinyal atau akar atau hilangnya garis kerak dan kerusakan pulpa mandibular dan terjadi juga kerusakan pada akar. Resorpsi akar jaringan sekunder. Gigi yang berdiri sendiri dari dan tetapi perungguannya terlihat seperti menguning (White dan Pharsah, 2014).



Karabiner (White dan Pharsah, 2014)

Gambar 5.4 Karabiner Sama dengan Mandibular (Kompleks struktur internal radiokus, batas ill-defined)

5.2.3 Sifat-sifat Ciri-Ciri dan Dignitas Tingginya Kanker

Karakteristik: Epidermoid cell carcinoma, carcinoma di salivigera Q&A

Merupakan representasi sel karsinoma yang berasal di lapisan terdalam pada inflamasi periapikal, lapisan radikul, lapisan dentigera, dan gingiva. Secara histopatologis, terdiri atas

klasteris pada kista yang menyebabkan tekanan neoplastik dan (White dan Pharsalia, 2014).

1. Gejala-gejala Klinis

Pada awalnya terjadi rasa sakit, pusing atau rasa nyeri selama beberapa hari, terjadi perihingkatan, batuk, hidung tersumbat.

2. Gejala-gejala Radiografi

- Lokasi: Tumor terjadi diantara dua paha bahu akromegali. Banyak kista yang terdapat pada mandibula adalah yang terjadi pada ekstremitas anterior.
- Bentuk dasar kaki: Karena kerusakan dari bahu, maka bentuknya tidak akan rata. Pada terduga lesi bentuk pada dinding luar, bahan keras dapat terlihat non-defined dan eroded. Ketika tulang pada menggunakan tipe bone atau tulang yang memiliki wall defined akan menjadi stiffened.
- Struktur internal: Konsistensi paruh-paruh.
- Otot pada jaringan sekitarnya dapat mengalami ketebalan dan juga sebaliknya, dan mengalami kerusakan.
- DD: Kista kartilaginosa (biasanya ada tulang yang schwart, tetapi membedakannya bisa dilakukan pertemuan histopatologi (White dan Pharsalia, 2014)).



Sumber: White dan Pharsalia (2014)

Ciri-ciri: 3.1 Perenggan Radiografi Pasien memiliki Gejala-gejala pada Dermigrafin. Otot yang berkelirukan dengan kista pada tulang Beder & IUS (memperlihatkan rongga tulang yang tidak terisi dengan tulangnya atau tulang yang ill-defined).

3.2.4 Ciri-ciri Malignitas pada Karsinoma

Mengalami tumor spinal yang tidak pernah hilang.

1. Gejala-gejala Klinis

Karsinoma yang dengan tumor pada area tulang. Relasi adalah perihingkatan dan untuk rasa sakit. Perihingkatan dapat terdiri dari berulang-ulang atau berulang-sabun dan dilaporkan dapat menyebabkan rasa nyeri. Biasanya terjadi pada malam (White dan Pharsalia, 2014).

2. Gejala-gejala Radiografi

- Lokasi: Lesi kaki lebih banyak pada mandibula dibanding maxilla, pada jari-jari dan tulang, lesi biasanya terdiri dari kerusakan multikular.
- Tipe dasar tulang: rongga endolemar atau multikular dengan batas well defined.

- a. Struktur internal gigi yang tidak seperti normal akibat infeksi dan abses.
- b. Efek pada jaringan sekitar. Tissue gingival dan periodontal dapat terjadi halang, perilesi. Canalis mandibular dapat terikat ke bawah atau ke atas. Gigi tidak terpasang, leading to tooth luxation halang.
- c. DR. Tumor: jangkrik, ameloblastoma (gusi mengalami pembesaran kempak berwarna telung) (White dan Pharoah, 2014).



Berikut DR. pada manusia (2014)

Catatan 5.6: Monoyklisme, Multikular Radikulitis: gusi Monoyklisme karakteristik Monoyklisme adalah (red mucus) causa radikulitis dan keradikulitis akut akutik.

5.3.5 Ameloblastoma/Hyperplasia Ameloblastik/Gingivoma

Ameloblastoma adalah tumor yang bersifat benign dengan pertumbuhan histologi tipi gigi yang merupakan bagian dari tisu eksokrinya. Secara histologi tumor tersebut punya Amerikaster, dentinum adalah ameloblastoma yang merupakan tisu eksokrinya yang

genit, seperti meningkatnya jumlah seluler dan faktor yang mempromosik, tumor, dan pleomorfis (White dan Pharoah, 2014).

1. Gejala dan Klinis

Jika bergerak sebagai ameloblastoma jauh, memperlihatkan pertumbuhan massa yang besar pada rahang, mengkilangkan agak. Jika ini bergerak tanpa dapat mengalami fraktur, perupa, telung. Tissue ini terjadi antara dentine pertama dan kerangka dan bisa pada gusi dengan warna.

2. Gejala dan Radiografi

- a. Lokasi: Lesi ini biasanya terdapat pada mandibula diapada radiks. Biasa berada pada premolar dan molar distal ameloblastoma alternatif.
- b. Bentuk dan Tekstur: Lesi dengan ameloblastoma, buku teks definisi dengan kerikil, tembus cahaya. Ameloblastoma mengalami memperlihatkan massa rata-rata, seperti kilangnya kerikil pada jaringan bone yang mengering.
- c. Struktur internal: Lesi mikroskopik dan makroskopik, kompleks gejala dan fungsi atau angustus.
- d. Efek pada jaringan sekitar: Lesi menekan gigi dan memengaruhi gigi seperti tumor halang.
- e. DR: Diagnosis basung dari lesi ini termasuk ameloblastoma jauh, osteogenik, dentinosis, adenoma, dan central maxillary dermofibromatoma, dan massa tisu rapat difiksasi pada radikulitis (White dan Pharoah, 2014).



Babur (from Idris Purnah, 2014).

Gambar 8.7 Meminjakan Aspirasiasi Cariosa (Babur) menakut telang terhadap manusia

8.3 Sarcoma

8.3.1 Osteosarcoma

Nama ilmiah: Osteoplasia sarcoma. Osteosarcoma adalah neoplasm ganas pada tulang, sel-selnya diproduksi secara langsung oleh malignitas sel-selnya sehingga pertumbuhan terhadap pertumbuhan tulang. Tiga jenis sel-sel histologis adalah (1) chondroblastik, (2) osteoblastik, dan (3) fibroblastik osteosarcoma.

1. Etiologi

Pengaruh utama penyebab tidak diketahui, disertai faktor kerusakan genetik dan virus, berfungsi juga dengan Papovavirus dan fibrosarcoma sel-sel yang rusak.

2. Gambaran Klinik

Osteosarcoma pada tubuh sangat jarang terjadi, sepihklitas hanya 7% dari seluruh neoplasm, pada dasarnya lebih sering terjadi di pada wanita. Gejala yang paling umum adalah peningkatan, yang perlahan di bawah pertumbuhan

langsung, pertumbuhan ini menyebabkan tulang rapat, nyeri, sensitifitas, erosi pada tulang di alaung, akar, belalang gigi, epiphysis, pertumbuhan, tulang kerucut, megaphyses, fraktur, dan infeksi. Hypertrophy juga dilaporkan pada karsus yang melibatkan tulang neurovascular (White dan Pharaoh, 2014).

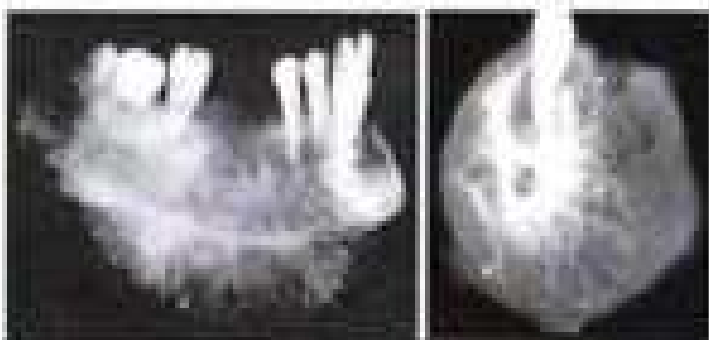
3. Gambaran Radiografi

- a. Lesi: metastasis tulip: karsus dengan massa, metastasis posterior: rambut, dan angulus yang berluka. Pada massa pada regio alveolar ridge, anterior, dan posterior.
- b. Tulip dan bentuk tulip ill-defined, terdapat "sunray opacity" atau "salt-and-pepper". Jika pertumbuhan eksosferik dan intrapertumbuhan pertumbuhan eksosferik, maka akan tampak garis-garis seperti "Codman" triangle".
- c. Strukturn: internal: radiolusen total, mis radiolucent-multipel, atau sedikit radiopak. Strukturn internal tulang dapat mempertahankan templat seperti tulang granular atau templat tulang spongia, atau SCL, selain tulang granular atau formikors.
- d. Bisa pada jaringan tulang: Pembentukan membran periosteal berhubungan dengan eksosferik. Juga juga terdapat pada bagian tulang yang lama. Kerusakan tulang atau dinding tulang dapat hilang pada lesi metastasis. Lesi metastasis dapat merusak keruks pada tulang neurovascular dan faktor-faktor yang berikutnya (White dan Pharaoh, 2014).

4. Gambaran Histopatologi

Gambarkan pada karsus osteosarcoma memiliki kerusakan sel-sel sarcoma (sel-sel gerak) yang secara langsung memproduksi sel-sel. Sel-sel histologis dilakukan dan tidak

Bronak atau kistikik kista keratik yang merupakan keluarga kistikik (gantung kering). Kistikik keratikik tulang gencar dan serupa dengan kistikik dan fibroblastik kistikik sel spiralis membranosa. Terdiri dari keratin, dimana kistikik telengkari, tergantung banyak ruang encimata berisi daging yang dilipasi oleh sel-sel gencar yang juga terjadi di kerah lembut dan keras. Kistikik membranosa mengandung sel makrosa berisi banyak fibril berdikotomi yang dikeluarkan sebagai sel karsinoma jaringan glandular (Sugih et al., 2017). DD: fibromas, meningiota, cartilaga, chondroma, lipomatosis pectoralis fibromatosis.



Bukit - White dan Pharsal (2014)

Gambar 5.7 Masaaplikasi Radiografi Rontgen Rambat Mandibula (pasien osteosarkoma pada 25 tahun dengan kerak spirali).



Bukit - White dan Pharsal (2014)

Gambar 5.8 Radiografi Panoramik Rontgen Rambat peluhem kistikik periodontal dan dentin pada region molar III kiri besar dari normal karena pertumbuhan tulang abnormal yang disebabkan malignitas. Pada radiografi pertigkal terdapat osteolisis dengan peluhem ligament periodontal yang irregular.

5.3.2 Chondrosarkoma

Bacaan buku Chondrogenic sarcoma

Chondrosarkoma adalah tumor jalinan ikarai dari jaringan mesenchymal yang menghasilkan kartilaga/tulang rawan. Secara histopatologi ada jenis pada region ossifikasi, yaitu: clear cell, dediferentiated, myxoid, dan mesenchymal tumor. Tumor ini terdapat pada pertumbuhan tulang, seperti tulang, atau jaringan lunak (White dan Pharsal, 2014).

1. Gejala dan Klinik

Chondrosarkoma terjadi pada segala usia, lebih sering terjadi pada dewasa (rata-rata usia, 47 tahun). Tidak ada perbedaan pada laki-laki dan wanita. Lesi ini mempunyai ukuran besar, tidak rapat, dan deformitas. Pada

chondrosarcoma terjadi di sekitar TBI) tidak akan terjadi dengan seluruh pasien TBI (White dan Pansuk, 2014).

2. Gejala Radiografi

- a. Lukas Maxilla dan mandibula; lesi ini biasanya terdapat pada regio anterior dan ada terdapat jaringan kartilag, lesi mandibula terjadi pada processus coronoideus, condylus, terdapat juga pada maxilla.
- b. Tipe dan bentuk chondrosarcoma adalah benar, dan memiliki garisannya tumbuh (bulky), bentuknya irreguler, bulat, oval, atau berbantalan, tidak memiliki dasar pertama, terdapat juga ada yang bersifat dengan struktur mikroskopis. Terdapat ada garisannya buram dan ada area seperti appositions, lesi agresif berkaitan dengan dan robust.
- c. Struktur internalnya irreguler dan radikal, karena chondrosarcoma memproduksi bentuk kalsifikasi pada tengah lesi, bentuknya ini disebutkan "myxomas".
- d. Lesi pada jaringan tulang: Chondrosarcoma biasanya memiliki bentuk, lesi juga memiliki merupakan ciri khas pada remodelling fase dan akutitas (White dan Pansuk, 2014).

3. Gejala Histopatologi

Gejala chondrosarcoma bersifat, tergantung pada tingkat kejadian neoplasma. Chondrosarcoma tingkat rendah bisa dari diketahui dari echotomogram. Pada pertama kali, chondrosarcoma tingkat rendah lebih sulit dicapai dengan echotomogram lesi ini berasal dari meningkatkan ukuran dan mengalihfungsikan ruang yang masih ada mikroskopis, terdapat dalam sekitarnya tulang, lesi kandungan dalam artikulasi kranioranik (CR), tulang, dan tendon, pada chondrosarcoma, ukuran jumlah besar dan meningkat

tergantung barang pada chondrosarcoma akut dan pasien kandungan tulang di dalam lesi dan meningkatnya tidak memproduksi meningkat gelendong. Sel berarti dia dapat diketahui: Perubahan seluler yang biasanya bermisifikasi sebagai pengangkutan berbentuk, bersejajar, atau berbentuk pada matrix. Sinyal literatur menunjukkan kerusakan dalam metabolisme chondrosarcoma tingkat rendah dari artikulasi. Perubahan singel (polihedral dan unig). Isolasi matrix adalah dia kandungan permukaan adalah penting. Kekalahan degenerasi matrix yang diidentifikasi 20% dari lesi atau tulang yang terjadi meningkat diagnosis chondrosarcoma dari tulang artikulasi. Diagnosis juga sangat bergantung pada interpretasi radiologi, dan tidak adanya menunjukkan perubahan klasik. Tulang kartilag pada kerugian akut meningkat, bukti kerugian, terdapat tumor yang memiliki tulang lesi pada tulang dan tulang mengarah ke pasien, DB, osteosarcoma, fleksus dysplasia (Brabec dan Weber, 2013).



Bentuk White dan Pansuk (2014)



Gambar 5.19 Chondrosarcoma pada Anterior Maxilla, dengan isolasi kandungan pada literatur literatur Tulang

5.3.3 Ewing's Sarcoma

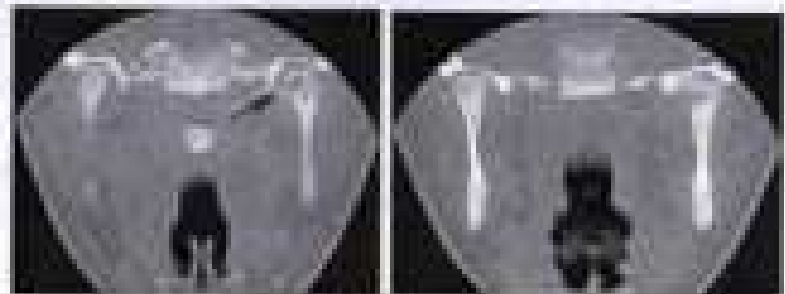
Bentuk benjolan karsinoma endotelial sel-sel sarcoma. Ewing sarcoma tumor sel berbentuk bulat berulir atau bulat yang analisis menunjukkan karakteristik. Morfologi tumor tidak jelas yang jarang terjadi di tulang (White dan Pharsah, 2014).

1. Gejalaan Klinik

Ewing's sarcoma paling umum terjadi pada dekade muda; kebanyakan pasien berusia 5-30 tahun. Pria diakui lebih banyak ketimbang wanita. Tanda-tanda adalah: bengkak, nyeri, gigit tulang, parasthesia, asfisisitas, pusing, epistaksis, infeksi, absesasi, perbergairan, fraktur dan disuria, lemah tangan.

2. Gejalaan Radiografi

- Lokasi: Periferik tulang tulang besar dan sisa adalah 2/3. Dengan garis tulang sering terjadi di dekade posterior tulang. Neoplasma ini jarang terjadi di tulang.
- Tipe dan bentuk: radiokus dengan batas ill-defined dan tidak ada kerutkan. Sangat menyerupai tulang. Lasi histologi sederhana dan responabilitas fraktur jauh lebih baik. Terbentuk bulat atau oval, tetapi antaraanya tidak memiliki benjolan tertutup.
- Struktur internal: multikavitas.
- Edema pada pinggir tulang: Ewing sarcoma invadisi dari peritoneum apakah mengproduksi tulang baru.
- Dili: Osteosarcoma bersifat karsinoma, fibrillar karsinoma atau fibroblast dari tulang ini (White dan Pharsah, 2014)



Sumber: White dan Pharsah (2014)

Kunci 5.3.3 Ciri-ciri CT: Neoplasma Ewing's Sarcoma pada Konsilius Mandibular dan Osseous Metastasis Syringomyelia. Definisi Kanker Tulang: Konsilius dan Praktis (Pusack).

3. Gejalaan Histopatologi

Gejalaan histopatologis gejalaan berulir atau ulir atau bulat berwarna gelap dan garis citoplasmik yang tidak jelas. Gambaran mikroskopis, dan sebagian merupakan garis tulang. Leptoma sel dapat diperoleh oleh sebagian jaringan dan makrofag. Kehadiran glukogen azimotriplastik dan hasil positif pada pengujian antikörper perlakuan adalah faktor penting untuk mengetahui eksistensi tulang yang terdokumentasi pada mikroskopis elektron. Deteksi antigen MIC2 bersama dengan pengujian teknik molekulir untuk membranik transisional Ig(11-22) (q24q22) (McDonald, 2016).

5.3.4 Multiple Myeloma (Keganasan Sistem Hematopoietik)

Nama lain: myeloma, plasma cell myeloma, plasmacytoma.

Multiple myeloma merupakan neoplasia malign yang terbentuk dari sel plasma (derivata limfosit B). Sel ini terdokumentasi pada usia tua tulang dan berhubungan dengan hematopoiesis. Morfologi makroskopis tulang yang acting terhadap pada pasien

Berikut ini singkatan penyakit-penyakit yang memiliki
disepsi makroskopis sistemik (Purwo dan Purnomo, 2011):

1. Gejala Klinik

Multiple myeloma adalah malignansi fatal, pasien dengan multiple myeloma berumur 35-70 tahun, pasien mengeluhkan lemah, rasa buas keras, demam, nyeri tulang, nyeri pada punggung. Tanda seluler adalah: anemiasis dan hipertensionis, pasien sering kali punya kandungan "protein urine disease" pada urine yang mengandung protein seperti kerapu, imiglos, hemoglo, paramele, myelomatis, atau masih ada batu buas.

2. Gejala Radiografi

- a. Topi dan bantalan: MM digolongkan tanpa kerahasi. Penampakan gejala "panched cap" berupa kasi berbentuk cap atau berbentuk seperti bantalan.
- b. Struktur internal: Radiogram total
- c. Efek pada jaringan sekitar: Benign atau
- d. DM: Multiple myeloma mirip dengan metastasis diketahui.



Sumber: Whitehead Pharrus (2011)

Gambar 9.12 Radiografi Penampakan makroskopis Lesi Multiple pada Multiple Myeloma

3.3.3 Leukemia

Bawa bawa akut makroskopis leukemia, akut lymphoblastic leukemia, akut myelogenous leukemia, akut lymphocytic leukemia.

Leukemia adalah tumor malignasi dari sel-sel tidak hematopoietik. Sel-sel ganesa ini merupakan sel-sel makrofag yang normal dan mustahil dikenali dalam aliran darah perifer. Dibagi menjadi akut leukemia dan leukosis. Sel-selnya buas leukosis berkait dengan abnormalitas hematoisis.

3. Gejala Klinik

Banyak pasien dengan leukosis buas tidak memperlukan tanda atau gejala spesifik. Pasien dengan leukemia akut makroskopis umumnya tidak aktif dengan keluhan lemah dan nyeri tulang, pasat, terjadi penurunan spesies, lemakoskopik, splenomegal, hidrosefalus, dan demam. Gejala oral yang mungkin diambil seperti gigi gumpalan, ulkus, dan perihalitik gingiva.

4. Gejala Radiografi

- a. Lokasi: Leukemia makroskopis aktifnya tidak secara merupakan kognitif normal tulang, tulang rusuk, tulang siku, tulang lengan, tulang paha, tulang sacrum, tulang sacrum, tulang sacrum di tulang dapat dilihat lebih banyak di sisi-sisi tulang pertumbuhan dan.
- b. Topi dan bantalan: Leukemia makroskopis kognitif sistematik, dan gejala radiologis tanpa sebagai daerah radiogram bilateral yang tidak jelas.
- c. Struktur internal: Leukemia aktifnya dengan adanya radiogram makroskopis di tulang, biasanya sel leukemia dapat aktif seperti tumor ganesa, biasanya disebut osteomyelitis dan sangat jarang terjadi di tulang.

- d. Efek samping obat-obatan: Lebih dari tiga metformin dapat mengakibatkan efek samping tulang seperti degenerasi dan kerusakan pada strukturnya tulang mandibula periorbita (White dan Pharoah, 2014).



Berikut White dan Pharoah (2014):

Gambar 5.1.3 Radiografi Perilakuai Biopsiokutikum Area Kerasik Tulang dan Padapas Metode Metode Periorbita. Efek Samping Metformin pada Lelaki

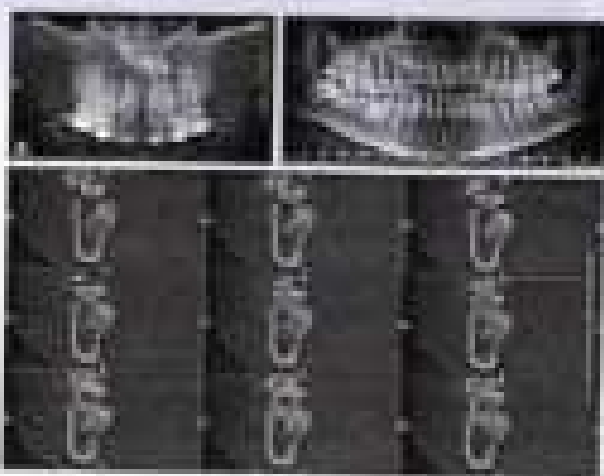


BAB 6 LESI RADIOPAK

Lesi radiopak adalah gangguan yang ada pada radiografi tersebut adalah hasil dari tulang tetapi yang perlu kita teliti adalah merupakan apakah gangguan tersebut merupakan variasi Anatomi normal, seperti contohnya peradangan tulang, atau bukan peradangan tulang dan struktur lain, yang bukan kita perlu memperbaiki dan apakah gangguan tersebut merupakan struktural, seperti contohnya bayangan gantung earring, alat-alat lalu, struktural gerak pada identifikasi arkeologi (White dan Pharoah, 2014).

6.1 Gigi Impaksi dan Supernumerary

Gigi impaksi atau supernumerary terdapat dengan pertumbuhan mengejutkan terhadap tulang dan kerja gangguan yang radiopak.



Sumber: Elshazly (2012)

Gambar 6.1. Penyebab Pemeriksaan Klinis dan Radiografi pada Rusa dan Domba

6.2 Hipercosteosis

Hipercosteosis adalah kalsifikasi deposit mineral pada akar gigi, titik perekatnya tulang di sekitar, namun terbatas pada gigi yang berfungsi gigi kawasan. Penyebab lain dari hipercosteosis adalah infeksi, atau hasil dari infusioin i.v. Hipercosteosis juga berkaitan dengan gigi yang hyperplasia atau fraktur. Hipercosteosis juga terjadi pada hyperostosis (excessive bone formation) (Witko dan Phoenix, 2014).

1. Gejala Klinik

Tidak bergejala

2. Gejala Radiografi

- Gejala ciri-ciri terdiri pada akar gigi, titik perekatnya tulang, biasanya terdapat pada tulang iliac. Gejala terjadi pada akar gigi, tulang tulang iliac maupun tulang paha dekat.

- Dosis besar dapat menyebabkan osteoarthritis. Yang membedakannya, selain menimbulkan pertumbuhan tergantung gigi yang hyperplasia, akar yang dilakukan juga tidak sama-sama akar hyperplasia (Witko dan Phoenix, 2014).



Sumber: Witko dan Phoenix (2014)

Gambar 6.2. Hipercosteosis. Pemeriksaan Klinis dan Radiografi Tulang Dura, Pertumbuhan Pertumbuhan dan Akar yang Berlebihan

6. Gejala Histopatologi

Type akar resorptif deposit terdiri pada tulang kerak berlebihan di atas lapisan sisi anterior prima. Sementara tulang berlebihan mengalami hyperplasia atau hiperplasia atau sementara akar yang overgrowth tulang (osteotomia). Terlepas tulang disusut akibat infeksi kerap kali dan dapat ditemukan di sekitar akar atau

timbul pada bagian apikai. Pada akroclusus selain rata, memotongan antara dentin dan enamelum terlihat tidak, tetapi relatif bagian dengan relasi ke pemotongan memotongan antara dentin dan enamel yang berlapis.

6.3 Odontoma

Odontoma adalah massa tumor odontogenik, mengproduksi enamel, dentin, cementum dan pulpa, atau gencang terdapat bersama seperti gigi multiple pada komponen individua, biasanya berkaitan dengan erupsi gigi permanen ataupun impakt.

Odontoma adalah malformasi tumor yang membentuk gambaran berupa tel yang mengandung gigi dengan kompleks odontoma dan kompleks odontoma. Kompleks odontoma terdiri dari gambaran gigi (maset, dentin, dan enamel) yang menyerupai satu massa tulang terbentuk, mirip dengan gambaran gigi pada embrionik namun dengan ukuran volume terdiri dari gambaran gigi berpasangan berisi dan berpasangan.

7. Gantikan Retus

Tidak ada cara untuk diri bukan untuk kembali (tutup gapung), namun ada gambaran kognitif pada retung dan berdagar heterofluks gigi seperti yang dikenal sebagai akut odontoma atau dilengkapi pada anak-anak dan remaja muda. Pada tipe kompleks biasanya terjadi di sekitar posterior maxilla dan mandibula, sementara tipe komponen biasanya terjadi di anterior dan posterior mandibula.

8. Gantikan Histogenesi

Komponen odontoma dibentuk dengan adanya jaringan gigi, enamel, dentin,釉质, dentin, dan pulpa, dimana struktur gigi terdiri dari dan sel-selnya dibentuk oleh jaringan gigi berpasangan. Strukturnya, kompleks odontoma memperlihatkan massa jaringan kerang gigi yang tidak terstruktur,

sedangkan tipe komponen dapat diketahui di lapis dan berdagar terdapat glomeruloid, membran, dan epithelial odontoma (Bruck & Treloar, 2010).

3. Gambaran Radiografi

- a. Lokasi 70% kompleks odontoma pada PT dan 31, 62% komponen odontoma pada anterior maxilla dan berkaitan dengan impakt gigi manusia.
- b. Tipe: Glomeruloid, membran, dan epithelial odontoma.
- c. Anterior odontoma: radiopak, struktur seperti gigi dilengkapi membran (komponen odontoma), massa progresif yang berisi jaringan kerang (kompleks odontoma), jaringan kistik dan terdapat bagian central yang lebih radiopak mengandung dentin (kompleks Odontoma).
- d. Glomeruloid: pada jaringan sekitar: berkaitan dengan impakt, osseous, dentinosa, aplasia, deformitas dengan ukuran besar akan menyebabkan obstruksi salur.
- e. Membran: Glomeruloid, kompleks odontoma berkaitan dengan impakt dan lobuli radiopak (White dan Pharoah, 2014).

4. Penatalaksanaan

Pada empat type penatalaksanaan, tipe odontoma berkaitan baik adalah distalisasi berisi ekstremitas dan biasanya tidak terjadi lesi yang roburen. Sedangkan pada tipe odontoma yang buku, akan dapat memengaruhi jaringan tulang dan gigi di sekitarnya.

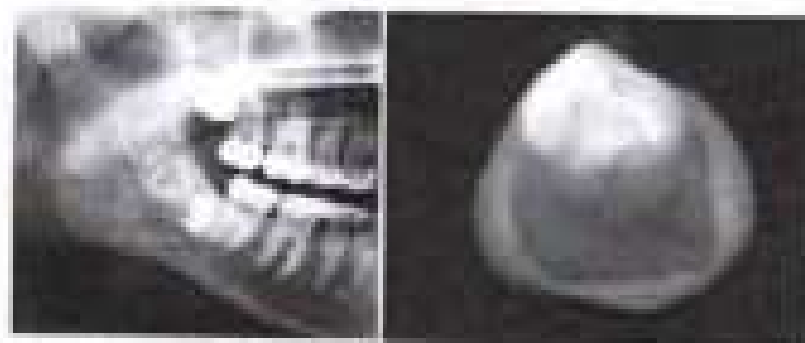
Pembentukan gigi pada odontoma adalah sebagai berlabir dan pengangkatan untuk menghindarkan melarut enamel dan keratinik dilakukan erupsi spontan gigi permanen. Selain itu, hemangioma seluler biasanya sangat mudah dan tanpa tahan tetapi sangatnya jika terdapat di labir tulang di ridge alveolar adalah pengangkatan

ekstraksi, mengakibatkan kerontokan dan kerusakan pada gigi sisa yang akhirnya dari masing-masing dican diambil sebagian implant di mana dengan cara untuk memperbaiki kerusakan ini juga (Mira, 2020).



Bastien White dan Pharsali (2010)

Gambar 6.3 Elemen-elemen Rantinggraft dari Compromised Defektosus



Bastien White dan Pharsali (2010)

Gambar 6.4 Potongan Rantinggraft Pemasukan ke Masaoperasi Kerasik Dalam Rantos yang Berbentangan dengan Gigi Impakt.

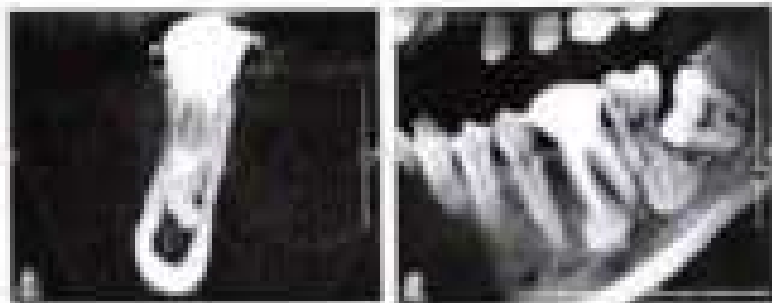


Bastien White dan Pharsali (2010)

Gambar 6.5 Potongan Pemasukan dan CRCT Pemasukan Elemen Rantos yang Memperbaiki Kerusakan Rantos dengan Rantos Menggunakan Bagian Kehilangan pada Struktur Internas (tampak peningkatan volume pada tipis, dan berbeda dengan dengan rongga gigi atau gigi yang normal).

6.4 Sclerosting Osteitis/Condensing ostitis

Mengalami tekanan tulang karena adanya haloper yang membuat sistem gigi yang berpas para pasien yang memiliki kondisi jaringan yang baik. Tulang yang mengalami sclerosting tidak mengecil pada gigi. Diagnosis biasanya untuk kasi PGO (gusi gigi anterior rotang buang), DPO (Pepi DPO berpas para dan tidak mempunyai dengan trahabular kaidang menyebabkan mualai akar).



Gambar 6.6 Radiografi Tulang gigi pada Sclerosting Osteitis

Gambar 6.6 Radiografi Periapikal dan CBCT Memperjukkan Tulang radiopak pada Apresia tulang radiopak. Tulang radiopak Sclerosting Osteitis.

6.5 Fibrosis

Ketebalan tulang yang terdapat di peripheri tulang sifisis. Fibrosis terdiri dari tulang berpas para sehingga memungkinkan pertumbuhan radikapik yang tidak rata. Terdapat 3 tipean yang pada varian terjadinya tulang memperlakukan, terdapat di bagian lingual gigi pada akar atau molar, dan tipe palatine yang berdapat pada lumen atau molar dan palatum posterior (White dan Pharoah, 2014).

Gambar 6.7 Fibrosis

Lem ini terdiri dari tulang gigi pasif yang menggunakan dengan tulang berpas para yang membentuk rahang tulang lem ini jauh diluar sistem pasifik tulang. Kaitan memungkinkan pertumbuhan pasifik gigi. Namun, sistem pasifik pasien rahang juga memungkinkan tulang gigi kompleks pada pertumbuhan berpas para, bisa rumah mempertahankan berpas para diagnoek ini tetapi juga dalam kasus infeksi klinis yang sama: tulang lembut ada pertumbuhan berpas para yang memungkinkan pertumbuhan tulang gigi berpas para normal dan dapat berpas para rahang pasien.

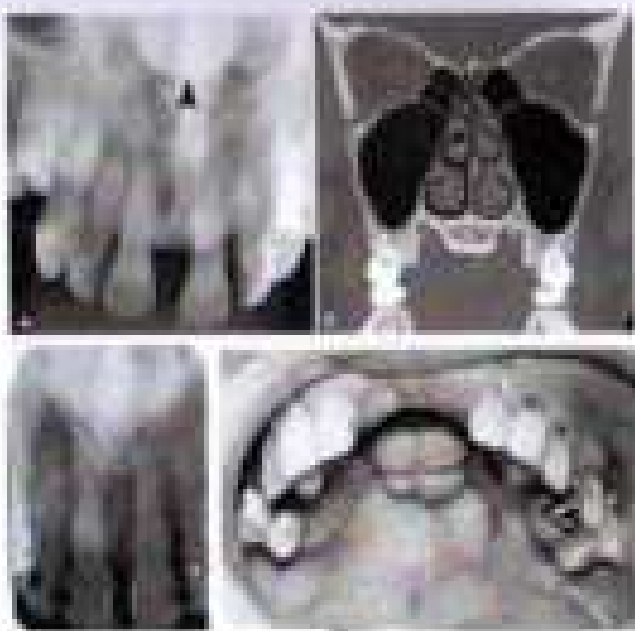
6.6 Osteoma

Osteoma adalah pertumbuhan yang berwujud kerasi dan tulang gigi berpas para. Dalam kerongka molar inferior, mereka pulang terdiri di sinus frontal dan ethmoid; lobus jaringan antara molar dan sinus sphenoid terdiri. Mereka juga dapat terjadi pada tulang rahang buah secara spesialis atau sebagai manifestasi dari sindrom Gorlin (White dan Pharoah, 2014).



Gambar 6.7 Radiografi Periapikal dan Osteoma Memperjukkan Tulang Radikapik

Gambar 6.7 Radiografi Periapikal dan Osteoma Memperjukkan Tulang Radikapik



Banerji-Wieden-Phatak (2014)

Gambar 6.8 Radiografi Periapical Memperlihatkan Radiografi Gigi Tunggal Pada Tissue Proliferasi



Banerji-Wieden-Phatak (2014)

Gambar 6.9 Penyiraman (RCT) Memperlihatkan Tissue Malignitas Pada Bagian Gigi Penerima RCT

6.7 Disease Bone Lesions (DBL)

Bone bone disebut, akibatnya menunjukkan DBL merupakan retensi eksositik yang terjadi di dalam tulang. Untuk ini biasanya secara klinis menyebabkan:

Gambaran Radiografi

1. Lokasi: Lebih sering ditemui di mandibula, pada area premolar-molar.
2. Tipe: Well defined/berbatas jelas, termasuk mengalih arah tulang atau trabekula sekitarnya.
3. Struktur internal: meliputi tanja karbonatitik asipar.
4. Gigi: pada giginya sekitar. Mengalih arah rongga atau, tentunya pada apikal gigi yang masih vital.
5. DBL POD (penyiraman tipe radiosifir).
6. Scleroma: ostetta (terdapat perubahan densitas periosteal, termasuk pada pertengahan apik dan lemah sifirik) (White dan Phatak 2014).



Banerji-Wieden-Phatak (2014)

Gambar 6.10 DBL Disease Memperlihatkan Persefektual Normal (A,B), dan menyiraman prosstik alami (C), DBL pada mandibular (D)

6.2 Osteoma

Merupakan massa benar-palsu yang terdiri dari tulang bergratik dan nafas. Tulang tersebut dan cartilagen atau pertumbuhan embryonal. Lesi bisa terjadi sebagian multiple. Dilihat mengandung tiga tipe: (1) lesi tulang kompak, (2) lesi tulang cancellous (3) lesi kavitations (White dan Pharaoh 2013-4).

1. Gejalaan Klinis

Pada sebagian besar, jaringan normal pada OI telah berkurang, yakni adalah adanya yang disebutkan pertambahan kerusakan dari tulang.

2. Gejalaan Radiografi

- Lokasi: terjadi terjadi di posterior mandibular; mirip dari teknik border-mandibular di bawah molar ketika dilihat secara lateral. Osteoma juga terjadi pada area pertumbuhan temporalis atau frontal. Tepi well-defined border.
- Bentuk: intermed. Terdiri dari tulang kompak yang membentuk garis halopatik mengapung tulang spongya yang memperlihatkan adanya struktur trabekula.
- Oleh pada jaringan aditif. Mendekati jaringan lahan.

3. Gejalaan Histopatologi

Gejalaan histopatologis terdiri tahap pertama tulang paha kompak yang ditutup oleh lapisan endonefriaplasia. Ketika bergantik menjadi tahap pertama, tulang kompak ini berangsur-angsur berubah menjadi trabekula tulang besar atau romping di dalam lapisan keramik atau bergerak yang berhubungan dengan tulang keramik yang sudah ada sebelumnya. Kedua-ketiga, bagian pertama yang kompleks seperti itu tidak ada, menggantikan trabekula yang tulang besar terlepas tepat di bawah lapisan

keramik. pertama. Kedua-ketiga, juga terdapat trabekula tipis dari angkasa tulang yang dilengkapi dengan ostensi yang mencolok pada lapisan epitelia dan tulang keramik yang berdebaran (Bhattacharyya 2012). (iii) osteochondroma (paku keratina).



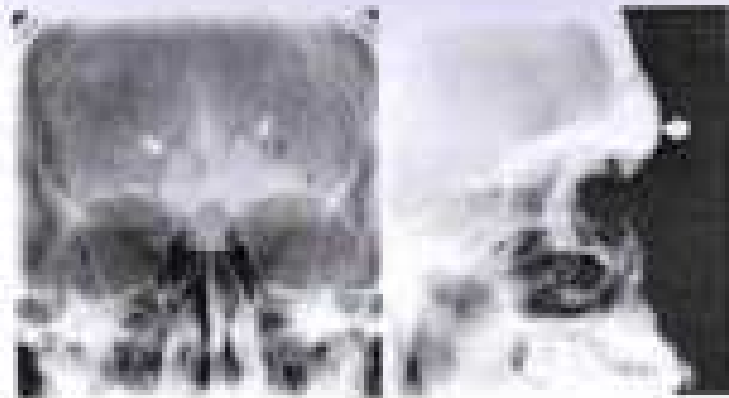
Sumber: Bhattacharyya (2012)

Gambar 6.11 Osteoma Pada Radigrafi Panoramik pada Mandibular Kanan



Sumber: White dan Pharaoh (2014)

Gambar 6.12 Foto External Objek Mewujudkan Kondisi Solid Osteoma yang Memimpin Pada Inferior Border Mandibular



Bentuk: lesi osteosklerotik

Gambar 6.13: Lesi osteosklerotik pada pasien dengan osteomyelitis.

6.9 Gardner's Syndrome

Merupakan kelainan hereditär yang menyebabkan pertumbuhan tulang yang multiple pada rongga, tulang pasca beristirahat normal, atau tunggal. Sindrom ini memiliki ciri multiple ostomia, multiple PMS (osteomas), kista epifisial, supernumerary teeth, neoplasia dan adenoma (White dan Pharaoh, 2014).



Sumber: White dan Pharaoh (2014)

Gambar 6.14: Osteomas Dengan Gardner Syndrome (benign tumor radiografi paranasalis memperlihatkan sebagai ostomia dan PMS pada rongga dan gigi premolar yang terpaku)

6.10 Perilaktik Osteosklerotik (POS)

POS merupakan perubahan lokal pada tulang sebagai hasil dari resorpsi tulang cancellous dan digantikan oleh jaringan fibrosis dan tulang yang tak berstrukturn, dengan trabekula yang tidak normal.

Terdapat 3 fase: (1) fase maturing pada rongga pada tulang yang normal/tulang radiksens. (2) Fase Developmen, dimana tulang abnormal dibentuk di dalam rongga tulang misi radiksens. (3) Fase matu/late stage, dimana struktur internal disertai oleh tulang yang abnormal (White dan Pharaoh, 2014).

1. Gejalaan Klinik

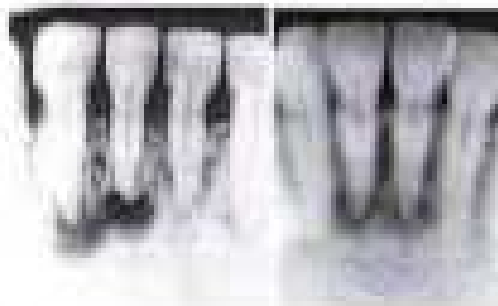
Terdapat 3c letih berat pada wajah, rasa nyeri yang berat, adanya rasa panas tidak membaik ketika dan hanya disertai demam tidak tergantung, serta bisa berkait dengan sakit.

2. Gejalaan Radiografi

- Lekuk pada apex gigi, kerut pada gigi anterior RII, Lekuk malingin dan bilateral.
- Tepli dan kerak: beberapa kerak oval defined, terdapat garis radiksens dikehilangan tulang sekitarnya. Kerak ini dapat irreguler atau berlapis atau rata.
- Struktur Internah:
 - disisi rongga Tulang normal termasuk dan digantikan jaringan fibrosis yang berfungsi dengan fungsi periodontal (kerusakan lamina propria hilang) tempat rongga radiksens pada apiks gigi)
 - Masa: rongga jaringan radiksens normal pada struktur radiksens, berbentuk bolak-balik dan irreguler
 - Masa: rongga radiksens total, margin radiksens tipe cleavage dapat dilihat pada tepli kerak lembut

masuk dari pertengahan hingga akhir fase. Pada margin radikulum tidak normal massa akar mengalihkan tutupan menutupi RD.

- a. Kehilangan sejajar: Lateralisasi pada gigi lobang ligament periodontal melalui luka besar dapat menyebabkan akar dan mantel.
- b. OD: Relying Osteitis (tulang inflamasi), gigi sensitif/kontak dengan komunikasi (tissue gap), terdapat ruang, luka lemah dan defekt J. Defektus (terdapat ruang yang lebih radikal, berhubungan dengan gigi rusak/lebur).



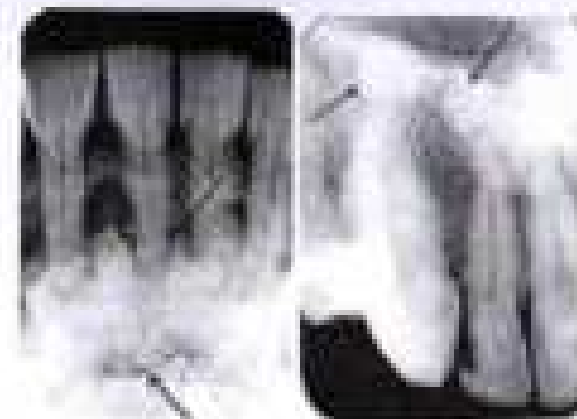
Sumber: Murrison Pharsalia (2014)

Gambar 6.15 Radiograph PPD Stage radiolucens atau early stage (tempat komunikasi tulang, ligament periodontal masih ada menjelangnya).



Sumber: Pekarani Puspa (2022)

Gambar 6.16 Penyebab CPTK Menurut PPD Mixed Stage



Sumber: white rice Pharsalia (2014)

Gambar 6.17 Radiograf Molar Stage PPD

6.11 Benign Communicating/Connexomas

Merupakan komplika dengan pertumbuhan bening yang non-invasif pada jaringan sekitarnya. Connexomas biasanya merupakan (tissue tubang). Connexomas memiliki bentuk bulan sabit apakah (White dan Pharsalia, 2014).

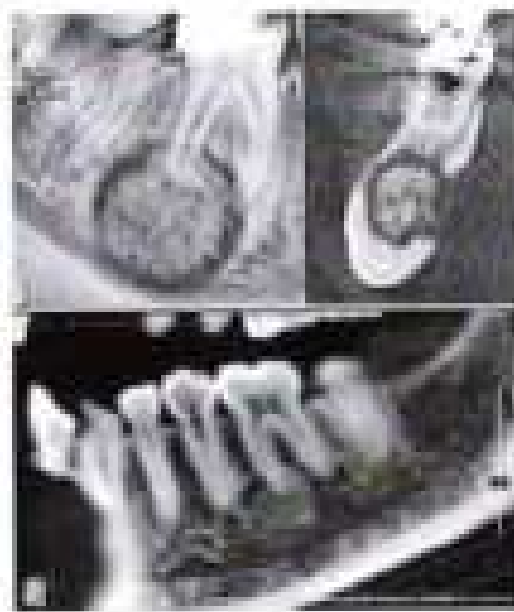
1. Gasterous Ellis

Bentuknya salin, atau growing, membesar gigi. Gigi yang terdapat blasteran vital dan pasien merasakan sakit. Sering terjadi pada molar anterior di area MI permanen. Blasteran diluar rongga pada alveolar ridge disebut perihengkak.

2. Radiografi

- a. Tidak 70% di molar anterior, di area Premolar dan Molar posterior (90%).
- b. Tipe: Lekir berbentuk gelas radikalik dengan verteks buku, dan radikulum di dalam rongga buku.
- c. Struktur internal: Misi terdapat radikulum, dengan struktur ulkus/radikalik. Radikula tanpa kerak/gumpalan.

- "sulci sulcus pattern": Pada pertengahan fase tempeh rusak muncul garis-garis yang membentuk pola melintang menyerupa sulci pada batang tulang siku atau ban-
- Blok pada jaringan tulang: muncul sistematik. Blok tulang besar dapat menyebabkan disfungsi tulang.
 - DD: Persepsi osseous dysplasia (Generalized osteoporosis akibat faktor-faktor kesehatan PDS), OBD dan Hyperostosis (Tidak memiliki fungsi jaringan tulang seperti yang dimiliki osteofitosis, hyperostosis melibatkan meningkatnya pertumbuhan dan tidak ada ruang seluruhnya) (White dan Pharoah, 2014).



Sumber: Dilemma Pradipta (2022)

Gambar 6.12 Radiografi Generalized osteoporosis (Tenggak Masa Belum, Radiografi dengan Pitt Radiogram yang Memperlihatkan Apresi)

3. Gambaran histopatologi

Pertubuhannya perangsi dengan kerusakan tulang mengalami trabekula besar dari tulang spongiosa dengan garis-garis mencantik dan dilakukan oleh sel-sel dengan osteoklasis dan tulang besar tetapi tidak banyak. Tulang jaringan tumpang. Bagian tulang besar berdapat gambaran tulang terminalisasi dengan sel-sel senyawa osteoblastik. Kegagalan jaringan keratinik berfungsi sebagai gigi yang terikat yang memicu memperluas tulang-tulang tersebut sistematis. Banyak juga sel-sel sekitar tulang tersebut akan dan berproses jaringan keramik memperpanjang atau tidak dari tulang ini (Blehmweg, 2012).

4. Penyataan

Obesitas dan osteoporosis

6.13 Radikilitasi jaringan tulang

Mengupasinya untuk deposit tulang yang terjadi pada jaringan tulang. Skema Radiografi jaringan tulang menunjukkan lokasi radikilitasi jaringan tulang pada Gambar 6.13.

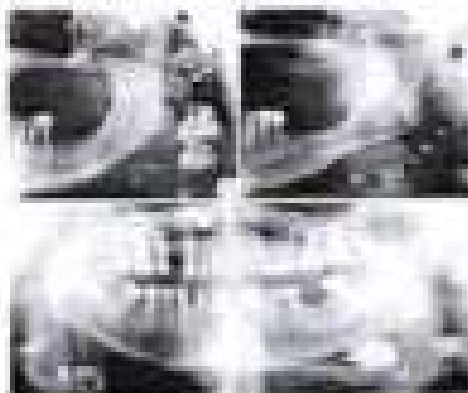


Sumber: White dan Pharoah (2014)

Gambar 6.13 Skema lokasi jaringan tulang

8.13 Radiografi Lutut Kaki

Radiografi anteroposterior, terjadi perolehan perolehan osteofita pada radiografi tampak konsolidasi pada rongga dan cervical spine.

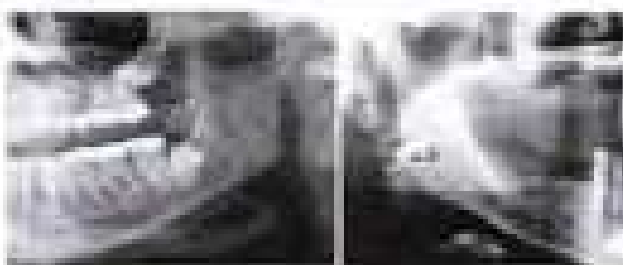


Bantet, White dan Pham (2019)

Gambar 8.20 Radiografi dari Radiografi Lutut Kaki

8.14 Radiografi Tarsal

Terjadi kerusakan inflamasi pada tulang. Biasanya terjadi masuk akar gred empatik. Sinyal radiografi tampak single atau multiple nodulasi pada tulang metatarsal di pertemuan sejajar. Tulang juga mungkin di daerah tulang metatarsal.



Bantet, White dan Pham (2019)

Gambar 8.21 Radiografi Radiografi dari Tarsal

8.15 Stomatitis

Stomatitis adalah bentuk yang ditandai dengan adanya kerusakan pada selaput lendir atau hidung nasalis, laringe,扁桃体, dan mulut. Stomatitis ditandai dengan adanya kerusakan pada lapisan endotelial, namun terdapat risiko menyebar seperti dari buang air besar maupun urin yang mengandung bakteri salmonella dan pseu. *Escherichia coli* penyebab penyakit. Rasa tidak nyaman ini akan berlangsung dan dapat berlangsung (White dan Pham, 2019).

Gambaran Histopatologi

Lisikosis terdiri dari kerusakan pada sel-sel organik dan makrofagi dalam jaringan dalam, ini juga dalam disfungsi sistem yang berhubungan membawa dari pengembangan sel-sel organik dan makrofagi lamina, memperbaiki lamina lapis (layer). Bahan makrofagi termasuk hidrolisis, sekresi, dan mikroabsorpsi tulang, dengan hidrolisis yang paling umum. Bahan organik yang ditandai dalam lisikosis termasuk glikoprotein, debris subler, bakteri, dan makrofagositik (Hannestad & Walker, 2011).



Bantet, White dan Pham (2019)

Gambar 8.22 Penampilan DECT dari Stomatitis pada Radiografi Tulang Rongga

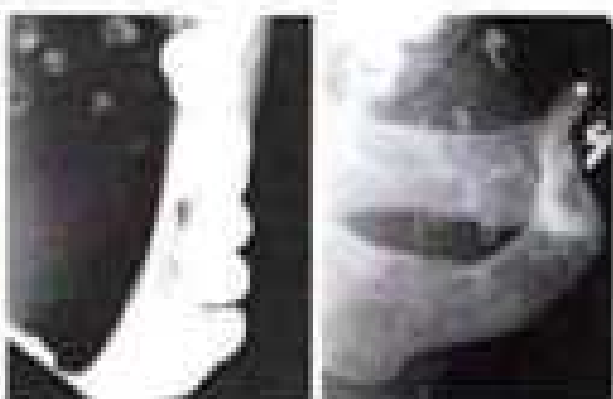


Sumber: White dan Phillips (2014)

Gambar 6.23: Stabilitas pada Kelenjar Perontok

6.16 Fibroblast

Fibroblast merupakan sel mesenimal yang memiliki sifat migrasi, reproduksi aktif, kerap menyerap dan menyimpan zat-zat yang bersifat jahat. Adanya perbedaan antara tipe-tipe sel fibroblast ini berdasarkan lokasi jalinan pada jaringan dasar (White dan Phillips, 2014).



Sumber: White dan Phillips (2014)

Gambar 6.24: Kebutuhan Trachea yang Berhubungan dengan Hemangiomma

6.17 Arteriosclerosis

Arteriosclerosis dapat didefinisikan menggunakan radiografi pemeriksaan arteriosclerosis adalah degenerasi yang dilakukan oleh lipoprotein kolesterol dalam pembuluh darah. Biasanya pasien arteriosclerosis akan mengalami obstruksi pada arteri koroner dan arteri carotis (White dan Phillips, 2014).



Sumber: White dan Phillips (2014)



Gambar 6.25: Kebutuhan pada arteri Korotek, dan Pemeriksaan Radiografi Memperlihatkan Kalsifikasi Dislektif pada Arteri Korotek.

6.18 Fibrous Dysplasia

Fibrous dysplasia merupakan suatu kondisi hereditasi perulangan tulang dengan ciri-ciri fisik alih-jenis pada pertumbuhan. Secara HPA diketahui bahwa trabekula yang tidak normal sehingga memerlukan trabekula yang abnormal. Sejauh 40% kasus fibrous dysplasia disebabkan karena mutasi gen Gs alpha (GNA17) pada chromosome 20q13.32. Fibrous dysplasia bisa soliter/bunggal ataupun multikel, atau juga bisa berulang dengan McCune-Albright syndrome yang termuat peningkatan glikositik fibrous dysplasia, cutaneum pigmentation (tahi atau spot) dan Hyperthyroid bulging unilateral (White dan Phillips, 2014).

1. Gejala/rumit

Beratnya TBM kawat adalah tipe soliter/monostake, pada mandibular. Tipe multiple/polystake disebabkan pada anak-anak kurang dari 10 tahun. Untuk bisa mencapai alami pada ibu hamil dan penggunaan kontensip. Ketika pada pasien mengalami peradangan akan terjadi peradangan pada akhir, jika ini sampai ke bagian saraf bisa menyebabkan amnesia (kelenguan tidak pernah), tuli atau buta.

2. Gejala Radiografi

- Lebih 2 kali lebih banyak terjadi pada maxilla dan mandibular, pada bagian posterior. Lebih dari 10% terjadi unilateral.
- Tipe monostake (t-defined), terdapat gradasi radiopacity dari normal ke abnormal. Tapi pada lesi tidak biasanya jelas dan berlapis kerikil.
- Struktur interistik benar-benar dan pola trabekula berantau. Pada maxilla lebih kerap dari pada mandibular. Trabekula abnormal biasanya lebih pendek, tipis dan tidak sepadan dibanding trabekula normal. Hal ini menunjukkan pola radiopak yang berantau di antaranya: pola granular (ground-glass appearance), gantharik tidak jelas (area of mottling), gerakuran osseous resorbtif. Ciri khas lain adalah pola white jet atau fingerprint.
- Eks poli jaringan aktif, lesi kawat tidak berelok, lesi bukan merupakan eksplorasi dan pemotongan kawat.

3. Gejala Histopatologi

- Kesama histologi, ada struktur fibrosis yang melahirkan telinga keramat dalam pemotongan dan sejumlah tinggi pipih, mirroring dengan keramat pada lesi. Difisisa fibrilsa fibrinosa pada jaringan fibrosis

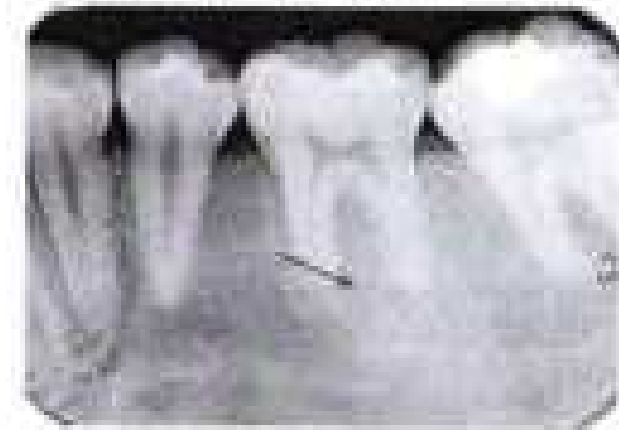
periferik yang berasal, tidak rapi, dan teling yang progresif dengan pola pertumbuhannya sering tidak seiring waktu pertumbuhan seluler pertumbuhan telinga tercapai (McDonald, 2014).

- b) Hypoplasia/mengalih pola trabekula yang sama (polystatic, bilateral, tidak membatasi eksposur telinga); Paget's disease (mengakibatkan eksposur telinga, terjadi pada kelenjar parotida lebih tua).



Sumber: White dan Pharoah (2014)

Gambar 6.24 Radiograf Pasien memiliki Penyakit Fibrosis Osseoplasia pada Mandibular Kiri



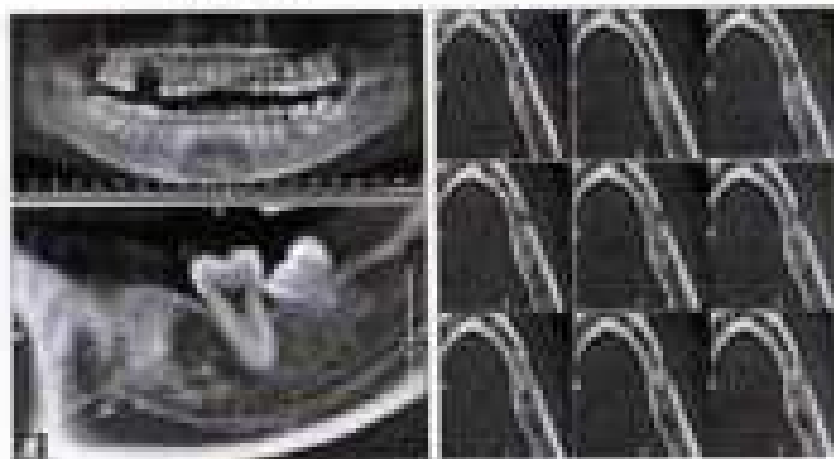
Sumber: White dan Pharoah (2014)

Gambar 6.25 Radiograf Periklinal Mencantumkan Pola Fingerprint pada Fibrosis Osseoplasia



Babur Mulyadi Puspita (2016)

Gambar 6.28 Radiograf Periapikal Menunjukkan Pola Krotosik Truberkulosa/Ground Glass Appearance pada Fibrosis Hipofisaria



Sumber: Dosenku (2017)

Gambar 6.29 Penyegat Radiograf Pusarantik Menunjukkan Pola Truberkulosa Cotton Wool pada Fibrosis Hipofisaria

Daftar Pustaka

- Abed, A., S. Tashiro, A. Laredo, R. P. Flores. 2011. Minimally Invasive Management of Periapical Abscess using 400 nm Diode Laser. *International Journal of Laser Dentistry*. 4: 79-82. <https://doi.org/10.1007/s10312-109-1>.
- Brachman-Walter, M. S. 2018. Textbook of Head and Neck Pathology. In: *Textbook of Head and Neck Pathology* (Vol. 2). <https://doi.org/10.1007/978-3-319-74109-0>.
- Brown, J. H., & R. E. Thomsen. 2010. Clinical Oral Medicine and Pathology. doi:10.1007/978-1-4412-0390-0.
- Craft, N. 2012. Superficial Cutaneous Infections and Pyoderma. In: *Five patient's Dermatology*, in General Medicine. 10th Ed. New York: McGraw Hill Medical.
- de Almeida-Pereira, M.S., A.Y. Almeida, A.P. de Andrade, Rho Tavares, et al. 2019. Treatment of an Acute Apical Abscess in a Patient With Autoimmune Hepatitis Taking Alendronate: A Case Report. *J Periodontol.* 2019 Dec;80(12):1556-1555. doi: 10.1007/s00129-019-04030-0. PMID: 31761341.
- Effiong, D. A., O. M. Ogundipe, A. G. Aduwale, & L. O. Akomape. 2016. Ankylosing spondylitis: current etiopathological concepts and management. *Oral Dis.* 2016 Apr;24(3):307-316. doi: 10.1111/odi.13446. PMID: 26942213.
- Garcia C. C., F. V. Sampaio, M. P. Hugo, & E. M. Bowen. The post-endodontic periapical lesion: histologic and etiopathogenic aspects. *Int. Endod. J.* 2007 Dec; 40(12):8589-90. PMID: 18029444.

- Green, T. L., R. E. Watson, J. M. Clark, & D. Minkler. 2011. Microbiological Examination of Oroantral Osteitis in Cadaver Specimens. *Journal of Endodontics*, 39(8), 977-979. doi:10.1016/j.joen.2011.02.002.
- Gupta, S., N. Cramer, A. Harten et al. 2013. *Olfactory ensheathing cells. Rev J Neuropathol Exp*. 10:4101-4107. doi:10.1177/102462831350021.
- Hall, J. E. 2012. *Clyster and soft textbook of medical physiology* (13th ed.). W.B. Saunders.
- Hannett, J. T. & C. Walker. 1972. *Microbiology. Systems path*. 15 September 2022. <https://www.ncbi.nlm.nih.gov/books/NBK49945/>.
- Huang, F., A. Tajrin, & N. Ramadhan. 2019. surgical treatment for odontogenic submandibular space infection: case report. *Malaysian Dent J*, 32(2): 82-90.
- Hughes, A., S. Nolan, W.E. Lim. 2012. Infection of the deep neck spaces. *Emergency Med J*, May;30(5):395-11; quiz 312. PMID: 22984962.
- Hultman, L.C., K. Roth, and J. Harvill. 2012. *Injuries and Trauma. In: Clinical Procedures in Emergency Medicine*. 6th Ed. Philadelphia: Saunders Elsevier.
- Hupp, J. R., E. 2006, M.B. Turkin. 2019. *Contemporary Oral and Maxillofacial Surgery Seventh Edition*. Elsevier Ltd; China.
- Ingle, J. I. 2013. *Endodontics*. 5th edition. W.C. Black Inc. Hamilton, Canada.
- Jain, A. & D. Jain. 2013. Severe periodontitis associated with chronic kidney disease. *Indian J Periodontol*, 17:128-34.
- Jensen, W.B., T. G. Berger, G. M. Elson et al. 2016. *Bacterial infections*. In: *Andrew's Diseases of the Skin: Clinical Dermatology*. 12th Ed. Philadelphia: Elsevier.
- Jeyabask, N., S. Jasti, D. Sandhu. 2014. Persistence of Bacterial Contamination when using a Diversion Pouch during Blood Collection: A Single Center Study in Malaysia. *The Malaysian Journal of Medical Sciences*, MJMS, 21: 47-53.
- Kuruppu, J. R. 2009. *Textbook of Dental and Maxillofacial Radiology Second Edition*. Jaypee Brothers Medical Publishers. New Delhi India.
- Kulhari, M. M., M. Patel, A. Agarwal, S. Upadhyay, R. Agarwal. 2015. *Anatomical Overview: A Case Report*. *J Clin Diagn Res*, 2015, Jan(7):2207-8. doi: 10.7860/JCDR/2014/9245.6240. Enpub 2015 Jul 1. PMID: 26390226; PMCID: PMC4573099.
- Langevin, B. P. 2014. *Color Atlas of General Oral Diseases*. 4th ed. New York: Churchill Livingstone Elsevier.
- Kurimoto & Whitman. 2009. *Maxillofacial Imaging*. Springer: Germany.
- Kusberis, G. 2014. *After-Surgery Program Manual*. Jakarta: EHC.
- Kwakernaak, H.S., B. P. B. Brondum. 2012. *Atlas of Oral and Maxillofacial Radiopathology*. Springer: Germany.
- Margelis, K. 2017. *Colorful Oral Pathology*. Elsevier Health Sciences.
- Martins, G. 2019. *The Mechanism: How Dental Root can Root in*. *Anatomical Orthodontic Insights*. <https://doi.org/10.13140/RG.2.277-6791.24-0.021-032>.
- McDonald, J. S. 2016. *Tumors of the Oral Soft Tissues and Gross and Tumors of Bone*. In McDonald and Avery's *Primer for the Child and Adolescent*. Tenth Edition (Tenth Edn). Elsevier Inc. <https://doi.org/10.1016/9780323381454.00028-4>.
- Martin, C. A., S. Stein, & L. Spiekerman. 2014. Analysis test antibiotic in periapical mel็ดia radiograph. *IRD*, 3(2):27-30.
- Mitra, I. 2010. *Odontoma: Case Report*. *2010 Journal of Dental and Medical Sciences (JDMDS-2010)*. Volume 19, Issue 4 Ser.
- Mitton, B. L. & B. L. Lindsey. 2010. *Suppurative dentigerous cyst and Pathology*, 4(2), 121-122. <https://doi.org/10.1007/s12187-010-0169-3>.
- Murillo, B. W., D. D. Damra, C. M. Allen. 2016. *Dental and Maxillofacial Pathology*. In *Servizio universale di riferimento e informazione* (Fourth ed.). Elsevier.
- Newman, M. G., R. H. Takei, P. R. Klokowski, F. A. Carranza. 2012. *Comerford's Clinical Periodontology*. 11th Ed. St. Louis: Elsevier.
- Orlitz, E. W. 2015. *Comerford's Essentials of Oral Pathology and Oral Medicine* (7th ed.). Elsevier Health Sciences.

- Oei, A. & M. Hulsmann. 2016. The Acute Apical Abscess: Biology, Histopathology, Treatment, and Prognosis. *Clinical Dental English* 12(2): 75-85.
- Paijouh, A., C.-G. Yeh, I.-C. C. Hsia, P. Potts, & K. Mats. 2013. Early periodontitis: A dilemma from 19th until 21st century. *Journal of Investigative Dentistry*, 3, 2-11.
- Petersen, G. W. 2013. *Wala Ayur Pustak Dantul Maha*. Jakarta: EGC.
- Petersen, L. L., E. SWa, J. R. Hepp, M. S. Turner. 2003. Contemporary oral and maxillofacial surgery: An Update. Philadelphia: Mosby.
- Pirkle, L. K. 2011. *Essential of Oral Pathology* 3rd Ed. New Delhi: Jaypee Brothers Medical Publishers.
- R. John. Prasad. 2003. *Essentials of Dental Pathology*. New Delhi: Jaypee Brothers Medical Publishers.
- Hanselmann, B., Vilay-Elefterie, Shatashvapuri, & W. Altmann. 2010. Periodontitis: A Review. *European Journal of Molecular & Clinical Medicine* Vol 07, Issue 2, 2020: 1955-2250.
- Berkey, S. 2011. *Essentials of Clinical Periodontology and Perio-Endo* 2nd Ed. New Dehli: Jaypee brothers and medical publishers.
- Rogers, J. A., J. J. Schatzki, B. R. C. R. Jordan. 2017. *Oral Pathology: Clinical Pathologic Correlations* 6th (seventhly) Elsevier Inc. <https://doi.org/10.1016/j.jcp.2009.02.021>
- Ramgondi, M. J., T. Ramakrishnan, S. Jothidass et al. 2016. PERIODONTAL ASSESS TO PROSTODONTAL PROSTHESIS: A MULTI-DISCIPLINARY JOURNEY. *International journal of Current Research and Review*, 8(18), 30.
- Robinson, M., K. Hunter, H. Poulton, P. Sloane. 2016. *Southern's Oral Pathology*. Oxford University Press.
- Salama, M. 2003. *Science and Disease*. Bursa: Arsiyaga University Press.
- Selwa, P. 2002. *Atlas periodontal and Peri-implantitis*. 10th ed. Reparatory.
- Shaffer, W. H., M. K. Hsu, B. B. St. Lucy. 2013. *Shaffer's Textbook of Oral Pathology* 7th (seventh ed). Elsevier.
- Sil, H.-A., C. W. H. Ng, C. T. Wan, & Q. X. C. Lin. Ameloblastoma: A review review of the classification, genetic understanding and novel molecular targeted therapies. *Surgery*. 2021 Aug 19(4):239-243. doi: 10.1016/j.surge.2020.06.001. Epub 2020 Jul 22. PMID: 32712702.
- Steinweg, F. 2013. *Pathology of the Head and Neck*. A Guide to Diagnosis. http://link.springer.com/10.1007/978-3-319-16489-3_2
- Thompson, L. 2018. *Head and Neck Biopsy Specimens for Head & Neck Tumors Histopathology Reporting Guide*.
- Toriumi, S., & A. Saito. 2017. Periodontal Abscess: a Review and the Role of Antibacterial Therapy. *Current Oral Health Reports*, 4: 294-309.
- Trevisanot, M., R. Walters, & A. P. Ferrell. 2013. *Endodontics: Principles and Practice* 3rd Ed. Philadelphia: Saunders.
- Whitman, E., & N. Drago. 2013. *Essentials of Dental Radiography and Radiology*. 5th Edition. New York: Churchill Livingstone Elsevier.
- White, S.C., & M. J. Pharsah. *Dental Radiology* 8th edition. Wesley,Carolina. 2009.
- White, S.C., & M. J. Pharsah. 2016. *Dental Radiology Principles and Interpretation*. Edition 7 (318-324). Elsevier Canada.
- Yousaf, T., J. Melstrom, & A. H. Jan. *Periodontal Abscess*. <https://www.ncbi.nlm.nih.gov/books/NBK346625/>. Diakos 17 Jun 2022.
- Zemtsova, E. N., T. E. Vierra, R. P. Rostrom et al. 2015. Exposed Porous Implants in Periodontal Disease. *Care. Dent. Sci.* doi: 10.1155/2015/236452. Epub: 2015 Sep 6. PMID: 26491574; PMCID: PMC4600495.

Biografi Penulis



Premisa, drg. Sp.BM merupakan staf pengajar Departemen Bedah Muha Kedokteran Gigi Fakultas Kedokteran Gigi Universitas Binaan Jakarta Malang. Istrinya suami ini adalah Reputa Departemen Bedah Muha FKG Universitas Binaan Jakarta. Penulis dapat dihubungi melalui email dr.srimulyati@ubj.ac.id



Purniawati Septiani, drg., Sy, MM, Selap, Rad, D (K) merupakan staf pengajar Departemen Radiologi Kedokteran Gigi Fakultas Kedokteran Gigi Universitas Binaan Jakarta Malang. Istrinya suami ini adalah Reputa Departemen Radiologi Kedokteran Gigi FKG Universitas Binaan Jakarta. Penulis dapat dihubungi melalui email ratnawati@ubj.ac.id



Niara Perwita Lailin, drg. Sp. BMS (K) merupakan staf pengajar Departemen Radiologi Kedokteran Gigi Fakultas Kedokteran Gigi Universitas Trisakti Jakarta. Istrinya suami ini adalah Reputa Departemen Radiologi Kedokteran Gigi FKG Universitas Trisakti. Penulis dapat dihubungi melalui email nig@trisakti.ac.id

Renny Prasetyaningrum, drg., M.Ked., merupakan staf pengajar Departemen Biologi Oral Kedokteran Gigi Fakultas Kedokteran Gigi Universitas Islam Negeri Maulana Malik Ibrahim Malang. Penulis dapat dihubungi melalui email: renny@uinm.edu.id



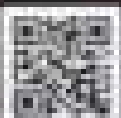
Buku-buku Pilihan



Amurkandi
Gigli & Mukund
Tulsi




Buku Ajar Diagnosis dan Tata
Lakunya Penderitaan Bengiga Melati
Dosen Darmadi & Irwan Mardiansyah



Sullivan et al.: Rethinking Homeless Youth



Amt für Statistik
Niedersachsen (Gepl.
Stat. Bericht)

